

สำนักหอสมุดกลาง พระจอมเกล้าลาดกระบัง

เครื่องควบคุมอุปกรณ์ไฟฟ้าผ่านสายไฟฟ้าบ้านแบบโปรแกรมได้

POWER LINE – PROGRAMMABLE CONTROLLED APPLIANCES



T104354



เลขหมู่.....
เลขทะเบียน..... 104354
วัน,เดือน,ปี..... - 2 พ.ศ. 2552



ปริญญานิพนธ์นี้เป็นส่วนหนึ่งของการศึกษาตามหลักสูตรปริญญาวิศวกรรมศาสตรบัณฑิต

สาขาวิชาวิศวกรรมโทรคมนาคม

คณะวิศวกรรมศาสตร์

สถาบันเทคโนโลยีพระจอมเกล้าเจ้าคุณทหารลาดกระบัง

ปีการศึกษา 2551

ภาควิชา
วิศวกรรมโทรคมนาคม

เอกสารนี้เป็นเอกสารที่สงวนไว้สำหรับการใช้งานเพื่อการศึกษาเท่านั้น ไม่อนุญาตให้ทำเป็นต้นฉบับเพื่อการค้า
ไม่ว่ากรณีใดๆ ทั้งสิ้น อีกทั้งห้ามมิให้ตัดแปลงเนื้อหาและต้องอ้างอิงถึงเจ้าของสิทธิ์ไว้

.....
.....
.....

เครื่องควบคุมอุปกรณ์ไฟฟ้าผ่านสายไฟบ้านแบบโปรแกรมได้
POWER LINE – PROGRAMMABLE CONTROLLED APPLIANCES



ปริญญานิพนธ์นี้เป็นส่วนหนึ่งของการศึกษาตามหลักสูตรปริญญาวิศวกรรมศาสตบัณฑิต
สาขาวิชาวิศวกรรมโทรคมนาคม
คณะวิศวกรรมศาสตร์
สถาบันเทคโนโลยีพระจอมเกล้าเจ้าคุณทหารลาดกระบัง
ปีการศึกษา 2551

เอกสารนี้เป็นเอกสารที่สงวนไว้สำหรับการใช้งานเพื่อการศึกษาเท่านั้น ไม่อนุญาตให้นำไปใช้ประโยชน์ด้านการค้า
ไม่ว่ากรณีใดๆ ทั้งสิ้น อีกทั้งห้ามมิให้ตัดแปลงเนื้อหาและต้องอ้างอิงถึงเจ้าของเอกสารทุกครั้งที่มีการนำไปใช้

ปริญญาโทปีการศึกษา 2551

ภาควิชาวิศวกรรมโทรคมนาคม


คณะวิศวกรรมศาสตร์ สถาบันเทคโนโลยีพระจอมเกล้าเจ้าคุณทหารลาดกระบัง

เรื่อง เครื่องควบคุมอุปกรณ์ไฟฟ้าผ่านสายไฟบ้านแบบโปรแกรมได้

POWER LINE – PROGRAMMABLE CONTROLLED APPLIANCES

ผู้จัดทำ

- | | | |
|----------------|---------------|----------|
| 1.นายกฤษฎา | มุขมณี | 48010025 |
| 2.นายกานต์คณัย | แสนเสนาะพันธ์ | 48010042 |
| 3.นายกิตติคุณ | ฉัตรตระกูล | 48010048 |


(ผศ.ดร. พิพัฒน์ พรหมมี)

อาจารย์ที่ปรึกษา



เอกสารนี้เป็นเอกสารที่สงวนไว้สำหรับการใช้งานเพื่อการศึกษาเท่านั้น ไม่อนุญาตให้นำไปใช้ประโยชน์ด้านการค้า
ไม่ว่ากรณีใดๆ ทั้งสิ้น อีกทั้งห้ามมิให้ตัดแปลงเนื้อหาและต้องอ้างอิงถึงเจ้าของเอกสารทุกครั้งที่มีการนำไปใช้

เครื่องควบคุมอุปกรณ์ไฟฟ้าผ่านสายไฟบ้านแบบโปรแกรมได้
POWER LINE – PROGRAMMABLE CONTROLLED APPLIANCES

โดย นายกฤษฎา มุขมณี 48010025
นายกานต์คนัย แสนเสนาะพันธ์ 48010042
นายกิตติคุณ นัทรตระกูล 48010048

อาจารย์ที่ปรึกษา ผศ.ดร.พิพัฒน์ พรหมมี

บทคัดย่อ

โครงการนี้เป็นการนำเสนอเครื่องควบคุมอุปกรณ์ไฟฟ้าผ่านสายไฟบ้านแบบโปรแกรมได้ เพื่อประโยชน์ในการดูแลและควบคุมจากจุดเดียวกัน ซึ่งสามารถตั้งเวลาเปิด-ปิด และแสดงสถานะของอุปกรณ์ไฟฟ้าจากคอมพิวเตอร์ได้ โดยการทำงานจะส่งสัญญาณผ่านพอร์ตอนุกรม RS-232 ไปยังอุปกรณ์ภาคส่ง และทำการส่งสัญญาณควบคุมผ่านสายไฟบ้านไปยังอุปกรณ์ภาครับ ซึ่งจะทำการควบคุมอุปกรณ์ไฟฟ้าตามคำสั่งที่ได้รับเข้ามาโดยใช้ไมโครคอนโทรลเลอร์

ABSTRACT

This project presents Power line – programmable controlled appliances. Programmable and controlled function are interworked with a computer and a microcontroller. Computer is programmed to on – off timer, send commands and display status of the electricals. The system can be worked by sending / receiving of controller signal through the power – line from the sender to the receiver based on a microcontroller.

สารบัญ

เรื่อง	หน้า
บทที่ 1 บทนำ	
1.1 วัตถุประสงค์ของปริญญานิพนธ์	1
1.2 ขอบเขตของปริญญานิพนธ์	2
1.3 ขั้นตอนการทำงาน	2
1.4 บล็อกไดอะแกรมของปริญญานิพนธ์	3
1.5 โพล์ชาร์ตการทำงานของเครื่องส่ง	4
1.6 โพล์ชาร์ตของ interrupt ที่รับข้อมูลจากโปรแกรมควบคุมอุปกรณ์ไฟฟ้า	6
1.7 โพล์ชาร์ตของ interrupt ที่รับข้อมูลจากเครื่องรับ	7
1.8 โพล์ชาร์ตการทำงานของเครื่องรับ	8
บทที่ 2 ทฤษฎีและหลักการ	
2.1 การสื่อสารแบบอนุกรมมาตรฐาน RS-232	9
2.1.1 อัตราการส่งข้อมูล (Baud rate)	10
2.2 การเชื่อมต่ออุปกรณ์ภายนอกเข้ากับคอมพิวเตอร์ด้วยสาย DB-9	11
2.2.1 การทำงานของขาสัญญาณ DB9	13
2.3 รูปแบบการสื่อสารแบบอนุกรม	13
2.3.1 การสื่อสารแบบซิงโครนัส (Synchronous)	13
2.3.2 การสื่อสารแบบอะซิงโครนัส (Asynchronous)	13
2.4 การส่งผ่านข้อมูลแอนะล็อกและดิจิทัล	14
2.4.1 ข้อมูล(Data)	14
2.4.2 สัญญาณ (Signal)	15
2.4.3 การส่งผ่าน (Transmission)	15
2.5 การมอดูเลตแบบ FSK	16
2.5.1 ตัวกำเนิดสัญญาณ FSK (FSK Generator)	16
2.5.2 FSK Bandwidth	16
2.6 การดีมอดูเลตแบบ FSK	17
2.7 สัญญาณรบกวน (Noise)	17
2.7.1 สัญญาณรบกวนเนื่องจากคลื่นความร้อน	17
2.7.2 สัญญาณรบกวนแบบอินเตอร์มอดูเลชัน	17
2.7.3 สัญญาณรบกวนแบบครอสทอล์ก (Cross talk)	18
2.7.4 สัญญาณรบกวนแบบอิมพัลส์	18

เอกสารนี้เป็นเอกสารที่สงวนไว้สำหรับการใช้งานเพื่อการศึกษาเท่านั้น ไม่อนุญาตให้นำไปใช้ประโยชน์ด้านการค้า
ไม่ว่ากรณีใดๆ ทั้งสิ้น อีกทั้งห้ามมิให้ตัดแปลงเนื้อหาและต้องอ้างอิงถึงเจ้าของเอกสารทุกครั้งที่มีการนำไปใช้

สารบัญ (ต่อ)

เรื่อง	หน้า
2.8 ไอซี MAX-232	18
2.9 ไมโครคอนโทรลเลอร์ AT89C2051	20
2.9.1 คุณสมบัติพื้นฐานของไมโครคอนโทรลเลอร์ AT89C2051	20
2.9.2 หน้าที่แต่ละขาของไอซีไมโครคอนโทรลเลอร์ AT89CX051	20
2.10 ไอซี FSK Generator (XR-2206)	22
2.10.1 การประยุกต์ใช้ไอซี XR-2206	22
2.10.2 คุณสมบัติของไอซี XR-2206	23
2.10.3 โครงสร้างภายในของไอซี XR-2206	23
2.10.4 ฟังก์ชันการประยุกต์ใช้งาน	24
2.11 ไอซี FSK Demodulator/Tone Decoder (XR-2211)	25
2.11.1 การประยุกต์ใช้ไอซี XR-2211	25
2.11.2 คุณสมบัติของไอซี XR-2211	25
2.11.3 โครงสร้างภายในของ XR-2211	26
2.11.4 ฟังก์ชันการประยุกต์ใช้งาน	27
2.12 ไอซี IF Amplifier (MC-1350P)	27
2.14 โปรแกรมเดลฟิ (Delphi)	28
2.14.1 หน้าจอของเดลฟิ แบ่งออกเป็น 4 ส่วนใหญ่ๆคือ	28
2.14.2 หน้าต่างหลัก ประกอบด้วย	29
2.14.3 หน้าต่างฟอร์ม	30
2.14.4 หน้าต่างยูนิท	30
2.14.5 หน้าต่างออบเจกต์อินสเปคเตอร์	31
บทที่ 3 การออกแบบและการสร้าง	32
3.1 ขลือกไดอะแกรมของวงจรที่ใช้ทั้งหมด	32
3.2 การทำงานของ FSK Generator	33
3.2.1 การออกแบบวงจร	34
3.3 การทำงานของ FSK Demodulator	35
3.3.1 การออกแบบวงจร	36
3.4 การพันขดลวด	39
3.5 วงจรเครื่องส่ง	40
3.6 วงจรเครื่องรับ	41

เอกสารนี้เป็นเอกสารที่สงวนไว้สำหรับการใช้งานเพื่อการศึกษาเท่านั้น ไม่อนุญาตให้นำไปใช้ประโยชน์ด้านการค้า
ไม่ว่ากรณีใดๆ ทั้งสิ้น อีกทั้งห้ามมิให้ดัดแปลงเนื้อหาและต้องอ้างอิงถึงเจ้าของเอกสารทุกครั้งที่มีการนำไปใช้

สารบัญ (ต่อ)

เรื่อง	หน้า
3.7 วงจรส่วนรีโมทควบคุมอุปกรณ์ไฟฟ้า	42
3.8 วงจรส่วนRelay ควบคุมอุปกรณ์ไฟฟ้า	42
3.9 วงจรส่วนของแหล่งจ่ายไฟ	43
3.10 วงจรตรวจสอบสถานะของโทรททัศน์	43
3.11 การออกแบบซอฟต์แวร์	43
3.11.1 การออกแบบโปรแกรมควบคุมอุปกรณ์ไฟฟ้า	44
3.11.2 ส่วนประกอบของหน้าจอโปรแกรมหลัก	44
3.11.3 ส่วนของรีโมทแอร์	45
3.11.4 ส่วนของรีโมททีวี	45
3.11.5 ส่วนของอุปกรณ์ไฟฟ้า	46
บทที่ 4 ผลการทดลอง และวิเคราะห์ผลการทดลอง	47
4.1 อุปกรณ์ที่ใช้ในการทดลอง	47
4.2 การทดลองและผลการทดลอง	47
บทที่ 5 สรุปผลและวิจารณ์การทดลอง	54
5.1 บทสรุป	54
5.2 ปัญหาและอุปสรรค	54
5.3 การแก้ไขปัญหา	54
กิตติกรรมประกาศ	
เอกสารอ้างอิง	
ภาคผนวก	
ภาคผนวก ก ไอซี XR 2206	
ภาคผนวก ข ไอซี XR 2211	
ภาคผนวก ค ซอร์สโค้ดไมโครคอนโทรลเลอร์ MCS 51	

เอกสารนี้เป็นเอกสารที่สงวนไว้สำหรับการใช้งานเพื่อการศึกษาเท่านั้น ไม่อนุญาตให้นำไปใช้ประโยชน์ด้านการค้า
ไม่ว่ากรณีใดๆ ทั้งสิ้น อีกทั้งห้ามมิให้ตัดแปลงเนื้อหาและต้องอ้างอิงถึงเจ้าของเอกสารทุกครั้งที่มีการนำไปใช้

สารบัญรูปภาพ

	หน้า
รูปที่ 1.1 บล็อกไดอะแกรมของปริยญาณิพนธ์	3
รูปที่ 1.2 โพล์ชาร์ตการทำงานของเครื่องส่ง (1)	4
รูปที่ 1.3 โพล์ชาร์ตการทำงานของเครื่องส่ง(2)	5
รูปที่ 1.4 โพล์ชาร์ตของ interrupt ที่รับข้อมูลจากโปรแกรมควบคุมอุปกรณ์ไฟฟ้า	6
รูปที่ 1.5 โพล์ชาร์ตของ interrupt ที่รับข้อมูลจากเครื่องรับ	7
รูปที่ 1.6 โพล์ชาร์ตการทำงานของเครื่องรับ	8
รูปที่ 2.1 พอร์ตอนุกรมของคอมพิวเตอร์ DB-9 ตัวผู้ (Male)	11
รูปที่ 2.2 พอร์ตอนุกรมของอุปกรณ์ภายนอก DB-9 ตัวเมีย (Female)	11
รูปที่ 2.3 การเชื่อมต่ออุปกรณ์ภายนอกผ่าน DB9 แบบ Null modem	12
รูปที่ 2.4 การต่ออุปกรณ์ภายนอกผ่าน DB9 แบบ 3 เส้น	12
รูปที่ 2.5 การสื่อสารแบบซิงโครนัส (Synchronous)	13
รูปที่ 2.6 การสื่อสารแบบอะซิงโครนัส (Asynchronous)	14
รูปที่ 2.7 รายละเอียดของขาไอซี MAX-232	19
รูปที่ 2.8 รายละเอียดภายในของไอซี MAX232	19
รูปที่ 2.9 รายละเอียดของแต่ละขาของ AT89C2051	20
รูปที่ 2.10 สถาปัตยกรรมภายในของไมโครคอนโทรลเลอร์เบอร์ AT89C2051	22
รูปที่ 2.11 รายละเอียดขาของไอซี XR-2206	23
รูปที่ 2.12 ส่วนประกอบภายในของ XR-2206	23
รูปที่ 2.13 วงจร Sine Wave Generation without External Adjustment	24
รูปที่ 2.14 วงจร Sine Wave Generation with Minimum Harmonic Distortion	24
รูปที่ 2.15 วงจร FSK Generator	25
รูปที่ 2.16 รายละเอียดของขาไอซี XR-2211	26
รูปที่ 2.17 บล็อกไดอะแกรมของไอซี XR-2211	26
รูปที่ 2.18 วงจร FSK demodulation (FSK Demodulation with Carrier Detect Capability)	27
รูปที่ 2.19 รายละเอียดของขาไอซี MC-1350P	27
รูปที่ 2.20 หน้าจอของแคลิไฟล์โดยรวม	28
รูปที่ 2.21 หน้าต่างหลัก	29
รูปที่ 2.22 หน้าต่างฟอร์ม (Form)	30
รูปที่ 2.23 หน้าต่างยูนิต	30

เอกสารนี้เป็นเอกสารที่สงวนไว้สำหรับการใช้งานเพื่อการศึกษาเท่านั้น ไม่อนุญาตให้นำไปใช้ประโยชน์ด้านการค้า
ไม่ว่ากรณีใดๆ ทั้งสิ้น อีกทั้งห้ามมิให้ตัดแปลงเนื้อหาและต้องอ้างอิงถึงเจ้าของเอกสารทุกครั้งที่มีการนำไปใช้

สารบัญรูปภาพ (ต่อ)

	หน้า
รูปที่ 2.24 หน้าต่างออบเจกต์อินสเปกเตอร์ (Object Inspector)	31
รูปที่ 3.1 บล็อกไดอะแกรมของวงจรทั้งหมด	32
รูปที่ 3.2 วงจร FSK Generator	33
รูปที่ 3.3 วงจร FSK Demodulation with Carrier Detect Capacity	35
รูปที่ 3.4 รายละเอียดตำแหน่งขาของ L2 และ L3	39
รูปที่ 3.5 รายละเอียดการพันขดลวด	39
รูปที่ 3.6 รายละเอียดการพันขดลวด L2	39
รูปที่ 3.7 รายละเอียดการพันขดลวด L3	39
รูปที่ 3.8 วงจรเครื่องส่ง	40
รูปที่ 3.9 วงจรเครื่องรับ	41
รูปที่ 3.10 วงจรส่วนรีโมทคอนโทรล	42
รูปที่ 3.11 วงจรส่วนรีเลย์ควบคุมอุปกรณ์ไฟฟ้า	42
รูปที่ 3.12 วงจรแหล่งจ่ายไฟ	43
รูปที่ 3.13 วงจรตรวจสอบสถานะของทรานซิสต์	43
รูปที่ 3.14 โปรแกรมควบคุมอุปกรณ์ไฟฟ้า	44
รูปที่ 3.15 โปรแกรมส่วนควบคุมรีโมทแอร์	45
รูปที่ 3.16 โปรแกรมส่วนควบคุมรีโมททีวี	45
รูปที่ 3.17 โปรแกรมส่วนควบคุมอุปกรณ์ไฟฟ้า	46
รูปที่ 4.1 สัญญาณคลื่นพาห์ที่ความถี่ 350 กิโลเฮิรตซ์ จากวงจร FSK Generator	47
รูปที่ 4.2 สัญญาณคลื่นพาห์ที่ถูกขยายจากทรานซิสเตอร์ 2N3904 ที่มีความถี่ 350 กิโลเฮิรตซ์	48
รูปที่ 4.3 สัญญาณคลื่นพาห์ที่ถูกขยายจากทรานซิสเตอร์ TIP41C แล้วผ่านขา 3 ของขดลวด L2	48
รูปที่ 4.4 แชนแนล 1 เป็นสัญญาณจากไอซี MAX-232 ที่ขา 9 เปรียบเทียบกับแชนแนล 2 เป็นสัญญาณจากวงจร FSK Generator	49
รูปที่ 4.5 แชนแนล 1 เป็นสัญญาณจากวงจร FSK Generator เปรียบเทียบกับแชนแนล 2 เป็นสัญญาณที่ออกจากวงจร FSK demodulation	49
รูปที่ 4.6 แชนแนล 1 เป็นสัญญาณที่ออกจากวงจร FSK demodulation เปรียบเทียบกับแชนแนล 2 เป็นสัญญาณที่ออกจากไมโครคอนโทรลเลอร์ MCS-51 ฝั่งรับ ที่ส่งเป็นสัญญาณรีโมทแอร์	50
รูปที่ 4.7 แชนแนล 1 เป็นสัญญาณที่ออกจากวงจร FSK demodulation เปรียบเทียบกับแชนแนล 2 เป็นสัญญาณที่ออกจากไมโครคอนโทรลเลอร์ MCS-51 ฝั่งรับ ที่ส่งเป็นสัญญาณรีโมททีวี	50
รูปที่ 4.8 สัญญาณคลื่นพาห์แบบพัลส์ 38 กิโลเฮิรตซ์ ของการส่งอินฟราเรด	51

เอกสารนี้เป็นเอกสารที่สงวนไว้สำหรับการใช้งานเพื่อการศึกษาเท่านั้น ไม่อนุญาตให้นำไปใช้ประโยชน์ด้านการค้า
ไม่ว่ากรณีใดๆ ทั้งสิ้น อีกทั้งห้ามมิให้ดัดแปลงเนื้อหาและต้องอ้างอิงถึงเจ้าของเอกสารทุกครั้งที่มีการนำไปใช้

สารบัญรูปภาพ (ต่อ)

	หน้า
รูปที่ 4.9 แชนแนล 1 เป็นสัญญาณควบคุมรีโมทแอร์จากไมโครคอนโทรลเลอร์ MCS-51 เปรียบเทียบกับแชนแนล 2 เป็นสัญญาณที่ทำการรวมโดยไอซี HD74LS08 กับ คลื่นพาห์แบบพัลส์ 38 กิโลเฮิร์ตซ์	51
รูปที่ 4.10 แชนแนล1 เป็นสัญญาณควบคุมรีโมททีวีจากไมโครคอนโทรลเลอร์ MCS-51 เปรียบเทียบกับแชนแนล 2 เป็นสัญญาณที่ทำการรวมโดยไอซี HD74LS08 กับคลื่นพาห์ แบบพัลส์ 38 กิโลเฮิร์ตซ์	52
รูปที่ 4.11 สัญญาณค่าอุณหภูมิจาก DS1820	52
รูปที่ 4.12 สัญญาณจากไมโครคอนโทรลเลอร์ MCS-51 ของเครื่องรับ ซึ่งเป็นสัญญาณที่ถูกส่งกลับไปยังโปรแกรมควบคุมอุปกรณ์ไฟฟ้า	53
รูปที่ 4.13 สัญญาณอินฟราเรดของเครื่องรับที่ส่งไปยังโทรทัศน์ที่มีตัวตรวจสอบ สถานะติดอยู่เปรียบเทียบกับสัญญาณอินฟราเรดของตัวตรวจสอบสถานะ ที่ส่งกลับมายังไมโครคอนโทรลเลอร์ MCS-51	53

สารบัญตาราง

	หน้า
ตารางที่ 2.1 คุณสมบัติของ RS-232	10
ตารางที่ 2.2 การจัดขา ของคอนเน็คเตอร์ อนุกรมแบบ DB-9 และหน้าที่การใช้งานต่างๆ	12



เอกสารนี้เป็นเอกสารที่สงวนไว้สำหรับการใช้งานเพื่อการศึกษาเท่านั้น ไม่อนุญาตให้นำไปใช้ประโยชน์ด้านการค้า
ไม่ว่ากรณีใดๆ ทั้งสิ้น อีกทั้งห้ามมิให้ดัดแปลงเนื้อหาและต้องอ้างอิงถึงเจ้าของเอกสารทุกครั้งที่มีการนำไปใช้

บทที่ 1

บทนำ

การใช้งานอุปกรณ์ไฟฟ้าภายในบ้านปกติ จะใช้การควบคุมกำลังงานที่ป้อนให้กับอุปกรณ์ด้วย สวิตช์ตัดต่อและสายไฟฟ้าซึ่งการใช้งานจะต้องทำการควบคุมที่ตัวสวิตช์ซึ่งอยู่กับที่โดยตรง ดังนั้นจึงไม่สะดวกถ้าต้องการควบคุมอุปกรณ์ในขณะที่อยู่ห่างจากสวิตช์ เช่นในกรณีที่ต้องการควบคุมหลอดไฟชั้นล่าง ในขณะที่อยู่ที่ชั้น 3 หรือต้องการเปิดแอร์ในห้องนอนไว้รอขณะที่ดูทีวีอยู่ชั้นล่าง เป็นต้น

ในปัจจุบันการส่งข้อมูลสามารถทำได้หลายลักษณะ เช่น ผ่านสายเคเบิล สายโทรศัพท์หรือแบบไร้สาย โดยการส่งข้อมูลผ่านสายสัญญาณตั้งที่ยกตัวอย่างนั้นจะต้องมีการเดินสายจากที่หนึ่งไปยังอีกที่หนึ่ง ซึ่งอาจสิ้นเปลืองและเกิดปัญหาได้ แต่การส่งข้อมูลโดยผ่านสายไฟฟ้า ไม่จำเป็นต้องเดินสายใหม่ เพราะแต่ละบ้านก็มีสายการเดินสายไฟอยู่แล้วทำให้สามารถลดต้นทุนได้อย่างมาก

การนำอุปกรณ์ที่ใช้ช่วยอำนวยความสะดวกในการดำเนินชีวิตประจำวันนั้นจะสามารถพบเห็นได้มากมาย ซึ่งส่วนมากจะเป็นการควบคุมอุปกรณ์ต่างๆ ในลักษณะกึ่งอัตโนมัติ อันได้แก่ การควบคุมการทำงานของระบบต่างๆ ของอาคารให้มีประสิทธิภาพ โดยนำเอาระบบคอมพิวเตอร์มาประยุกต์ใช้ร่วมกับระบบต่างๆ ของอาคาร เช่น ระบบไฟฟ้า ระบบปรับอากาศ ระบบแจ้งเตือนเพลิงไหม้ ระบบลิฟต์และบันไดเลื่อน ระบบแสงสว่าง และระบบเสริมอื่นๆ แล้วทำการตรวจสอบสถานะหรือสภาวะการทำงานของอุปกรณ์ต่างๆ ในระบบนั้น ซึ่งติดตั้งไว้เพื่ออำนวยความสะดวกหรือให้บริการแก่ผู้ใช้ โดยใช้คอมพิวเตอร์ควบคุมหรือเปิด-ปิดอุปกรณ์ต่างๆ ให้ทำงาน

ลักษณะของปริญญานิพนธ์นี้จะประกอบไปด้วยชุดควบคุม 2 ชุด โดยชุดแรกทำหน้าที่เป็นเครื่องส่งโดยข้อมูลที่ได้เป็นการส่งงานจากโปรแกรมควบคุมอุปกรณ์ไฟฟ้าผ่านพอร์ตอนุกรมของคอมพิวเตอร์แบบมาตรฐาน RS -232 แล้วนำข้อมูลที่ได้ไปมอดูเลตกับสัญญาณคลื่นพาที่มีความถี่เฉพาะตัวเพื่อไม่ให้เกิดการรบกวนสัญญาณภายในสายไฟฟ้าบ้าน แล้วส่งสัญญาณที่มอดูเลตแล้วไปตามสายไฟฟ้าไปยังชุดที่ 2 คือ เครื่องรับ ซึ่งเครื่องรับก็จะทำการถอดรหัสข้อมูลที่ได้แล้วทำการควบคุมอุปกรณ์ไฟฟ้าและตรวจสอบสถานะการทำงานของอุปกรณ์ไฟฟ้า แล้วจึงนำผลที่ได้ส่งกลับมายังเครื่องส่งเพื่อนำมาแสดงผลทางหน้าจอโปรแกรมควบคุมอุปกรณ์ไฟฟ้า

1.1 วัตถุประสงค์ของปริญญานิพนธ์

- 1.1.1 ทำการศึกษาการทำงานพื้นฐานของอุปกรณ์รับ-ส่งสัญญาณและนำความรู้ที่ได้นำมาประยุกต์ใช้
- 1.1.2 สร้างอุปกรณ์ควบคุมการทำงานระยะไกลของอุปกรณ์ไฟฟ้าผ่านสายไฟฟ้าบ้านได้
- 1.1.3 เพื่อเพิ่มเติมความรู้แก่ผู้จัดทำในการออกแบบ โปรแกรมควบคุมอุปกรณ์ไฟฟ้า โดยผ่านการควบคุมจากไมโครคอนโทรลเลอร์
- 1.1.4 สร้างวงจรสำหรับส่งข้อมูลและรับข้อมูลผ่านสายไฟฟ้าบ้าน
- 1.1.5 ออกแบบและเขียน โปรแกรมโดยใช้โปรแกรม Delphi

เอกสารนี้เป็นเอกสารที่สงวนไว้สำหรับการใช้งานเพื่อการศึกษาเท่านั้น ไม่อนุญาตให้นำไปใช้ประโยชน์ด้านการค้าไม่ว่ากรณีใดๆ ทั้งสิ้น อีกทั้งห้ามมิให้ตัดแปลงเนื้อหาและต้องอ้างอิงถึงเจ้าของเอกสารทุกครั้งที่มีการนำไปใช้

1.1.6 ออกแบบวงจรสำหรับส่งข้อมูลและรับข้อมูลผ่านพอร์ตอนุกรมมาตรฐาน RS-232

1.2 ขอบเขตของปริญญาานิพนธ์

ปริญญาานิพนธ์นี้เป็นการออกแบบและสร้างอุปกรณ์ควบคุมอุปกรณ์ไฟฟ้าผ่านสายไฟบ้านแบบโปรแกรมได้ โดยจะแบ่งเป็นชุดเครื่องส่งและชุดเครื่องรับ โดยชุดเครื่องส่งจะรับคำสั่งจากโปรแกรมคอมพิวเตอร์ผ่านพอร์ตอนุกรมของคอมพิวเตอร์ จากนั้นจะทำการมอดูเลตข้อมูลไปกับคลื่นพาห์ผ่านสายไฟบ้านไปยังชุดเครื่องรับ ชุดเครื่องรับก็จะทำการดีมอดูเลตและนำข้อมูลที่ได้ประมวลผลผ่านไมโครคอนโทรลเลอร์ ทำการควบคุมอุปกรณ์ไฟฟ้า และส่งผลการตรวจสอบสถานะของอุปกรณ์ไฟฟ้ากลับไปยังเครื่องส่งเพื่อแสดงผลออกทางหน้าจอโปรแกรมควบคุมอุปกรณ์ไฟฟ้า

1.3 ขั้นตอนการทำงาน

1.3.2 ศึกษาหลักการการทำงานและทฤษฎีที่ใช้ในการรับ-ส่งสัญญาณ

1.3.2 ค้นคว้าหาข้อมูลเกี่ยวกับรูปแบบและการทำงานของวงจรต่างๆที่ต้องใช้ในการทำ

1.3.3 ค้นคว้าหาข้อมูลเกี่ยวกับรูปแบบและวิธีการเขียน โปรแกรมที่ต้องใช้ในการทำ

1.3.4 นำข้อมูลที่ศึกษาและค้นคว้ามาได้นำมาแบ่งเป็น 2 ส่วนคือ

- เครื่องส่ง เป็นตัวที่ทำหน้าที่รับข้อมูลจาก โปรแกรมควบคุมอุปกรณ์ไฟฟ้าผ่านพอร์ตอนุกรมคอมพิวเตอร์แล้วทำการมอดูเลตข้อมูลกับคลื่นพาห์ที่มีความถี่เฉพาะค่าหนึ่งเพื่อไม่ให้ไปรบกวนสัญญาณที่อยู่ในสายไฟฟ้าภายในบ้าน ทำการขยายสัญญาณแล้วทำการส่งผ่านวงจรภาคส่งไปตามสายไฟบ้านไปยังเครื่องรับและวงจรภาครับของชุดเครื่องส่งจะทำหน้าที่รับข้อมูลสถานะการทำงานของอุปกรณ์ไฟฟ้ามาจากเครื่องรับแล้วทำการแสดงผลทางโปรแกรมควบคุมอุปกรณ์ไฟฟ้า

- เครื่องรับ ทำหน้าที่รับสัญญาณที่ส่งผ่านมาทางสายไฟบ้านมาทางวงจรภาครับโดยการนำสัญญาณที่ได้นำไปดีมอดูเลตซึ่งจะได้ข้อมูลออกมา และถูกส่งไปประมวลผลผ่านไมโครคอนโทรลเลอร์เพื่อทำการควบคุมอุปกรณ์ไฟฟ้าและตรวจสอบสถานะอุปกรณ์ไฟฟ้า จากนั้นวงจรภาคส่งของเครื่องรับก็จะทำการส่งข้อมูลสถานะของอุปกรณ์ไฟฟ้ากลับมายังเครื่องส่งเพื่อทำการแสดงผลทางโปรแกรมควบคุมอุปกรณ์ไฟฟ้า

1.3.5 นำวงจรที่ได้ทำการออกแบบได้นำมาทดลองบนโปรโตบอร์ด ทำการตัดแปลงแก้ไขอุปกรณ์และปรับค่าต่างๆจนได้ผลตามที่ต้องการ

1.3.6 นำวงจรที่ได้ไปทำการออกแบบลายวงจร โดยใช้โปรแกรมออกแบบวงจร แล้วทำการสร้างแผ่นวงจรตามลายวงจรที่ได้

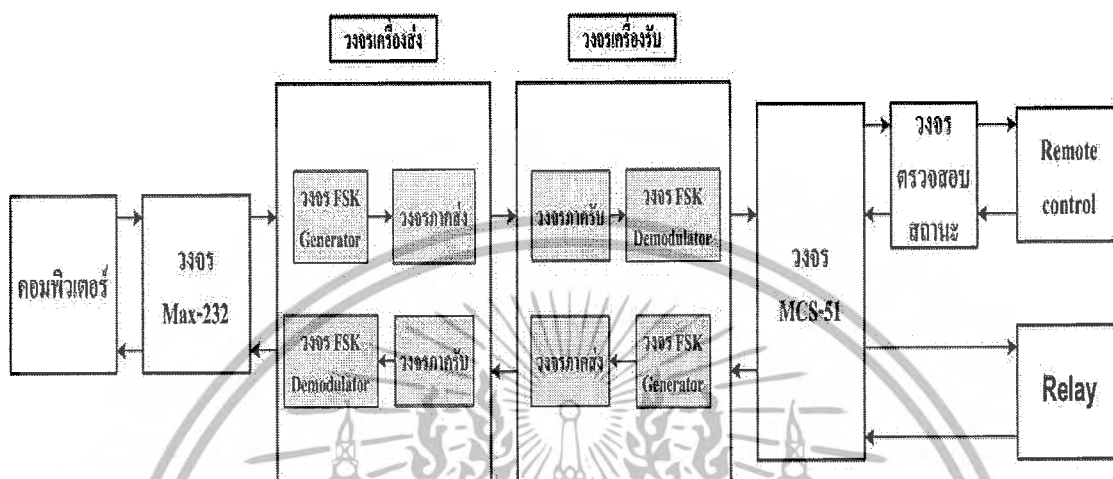
1.3.7 นำอุปกรณ์ต่างๆประกอบลงบนแผ่นวงจรและลงกล่องอุปกรณ์ให้เรียบร้อย

1.3.8 เก็บผลและวิเคราะห์ผลการทดลอง

เอกสารนี้เป็นเอกสารที่สงวนไว้สำหรับการใช้งานเพื่อการศึกษาเท่านั้น ไม่อนุญาตให้นำไปใช้ประโยชน์ด้านการค้าไม่ว่ากรณีใดๆ ทั้งสิ้น อีกทั้งห้ามมิให้ดัดแปลงเนื้อหาและต้องอ้างอิงถึงเจ้าของเอกสารทุกครั้งที่มีการนำไปใช้

1.4 บล็อกไดอะแกรมของปริญญาณิพนธ์

ปริญญาณิพนธ์นี้มีบล็อกไดอะแกรมแสดงได้ดังรูปที่ 1.1

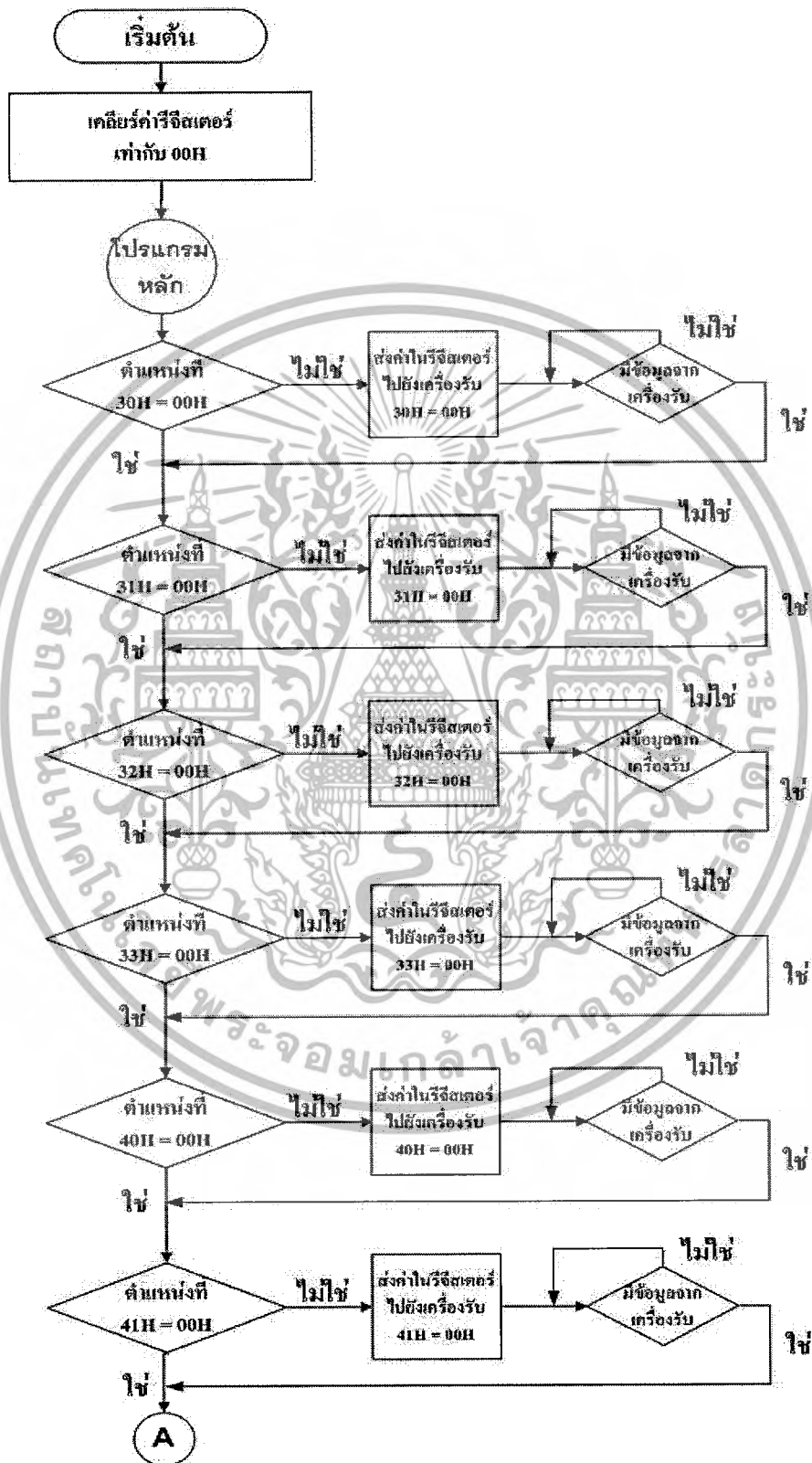


รูปที่ 1.1 บล็อกไดอะแกรมของปริญญาณิพนธ์

เอกสารนี้เป็นเอกสารที่สงวนไว้สำหรับการใช้งานเพื่อการศึกษาเท่านั้น ไม่อนุญาตให้นำไปใช้ประโยชน์ด้านการค้าไม่ว่ากรณีใดๆ ทั้งสิ้น อีกทั้งห้ามมิให้ตัดแปลงเนื้อหาและต้องอ้างอิงถึงเจ้าของเอกสารทุกครั้งที่มีการนำไปใช้

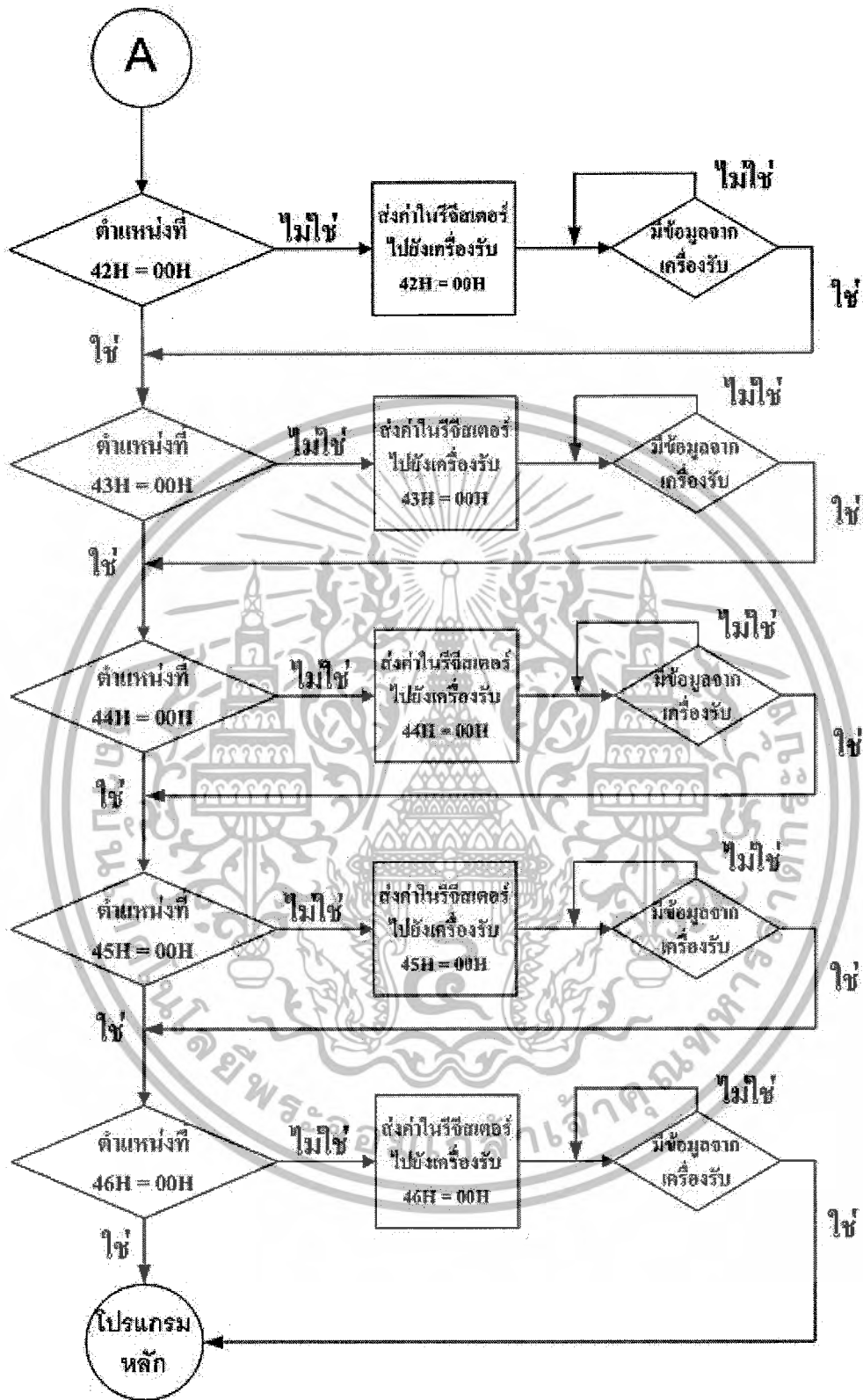
1.5 โฟลว์ชาร์ตการทำงานของเครื่องส่ง

ปัญญานิพนธ์นี้มีโฟลว์ชาร์ตการทำงานของเครื่องส่งแสดงได้ดังรูปที่ 1.2 และรูปที่ 1.3



รูปที่ 1.2 โฟลว์ชาร์ตการทำงานของเครื่องส่ง (1)

เอกสารนี้เป็นเอกสารที่สงวนไว้สำหรับการใช้งานเพื่อการศึกษาเท่านั้น ไม่อนุญาตให้นำไปใช้ประโยชน์ด้านการค้า ไม่ว่าจะกรณีใดๆ ทั้งสิ้น อีกทั้งห้ามมิให้ดัดแปลงเนื้อหาและต้องอ้างอิงถึงเจ้าของเอกสารทุกครั้งที่มีการนำไปใช้

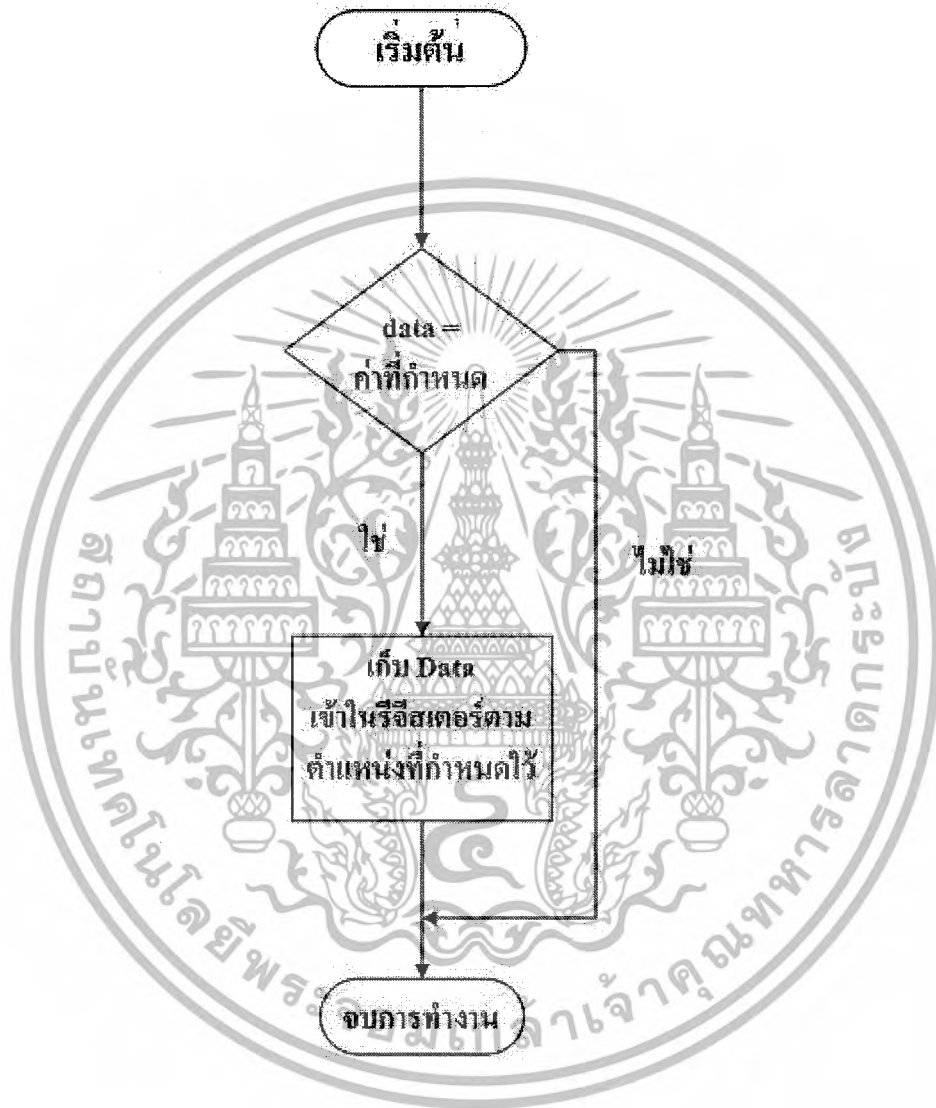


รูปที่ 1.3 โฟลว์ชาร์ตการทำงานของเครื่องส่ง(2)

เอกสารนี้เป็นเอกสารที่สงวนไว้สำหรับการใช้งานเพื่อการศึกษาเท่านั้น ไม่อนุญาตให้นำไปใช้ประโยชน์ด้านการค้า ไม่ว่ากรณีใดๆ ทั้งสิ้น อีกทั้งห้ามมิให้ดัดแปลงเนื้อหาและต้องอ้างอิงถึงเจ้าของเอกสารทุกครั้งที่มีการนำไปใช้

1.6 โฟลว์ชาร์ตของ interrupt ที่รับข้อมูลจากโปรแกรมควบคุมอุปกรณ์ไฟฟ้า

ปัญญานิพนธ์นี้มีโฟลว์ชาร์ตของ interrupt ที่รับข้อมูลจากโปรแกรมแสดงได้ดังรูปที่ 1.4
 เมื่อมีข้อมูลมาจากโปรแกรมควบคุมอุปกรณ์ไฟฟ้า จะทำการเก็บข้อมูลไว้ในตัวแปร data



รูปที่ 1.4 โฟลว์ชาร์ตของ interrupt ที่รับข้อมูลจากโปรแกรมควบคุมอุปกรณ์ไฟฟ้า

เอกสารนี้เป็นเอกสารที่สงวนไว้สำหรับการใช้งานเพื่อการศึกษาเท่านั้น ไม่อนุญาตให้นำไปใช้ประโยชน์ด้านการค้า
 ไม่ว่ากรณีใดๆ ทั้งสิ้น อีกทั้งห้ามมิให้ตัดแปลงเนื้อหาและต้องอ้างอิงถึงเจ้าของเอกสารทุกครั้งที่มีการนำไปใช้

1.7 โฟลว์ชาร์ตของ interrupt ที่รับข้อมูลจากเครื่องรับ

ปรวิญญาณิพนธ์นี้มีโฟลว์ชาร์ตของ interrupt ที่รับข้อมูลจากเครื่องรับแสดงได้ดังรูปที่ 1.5

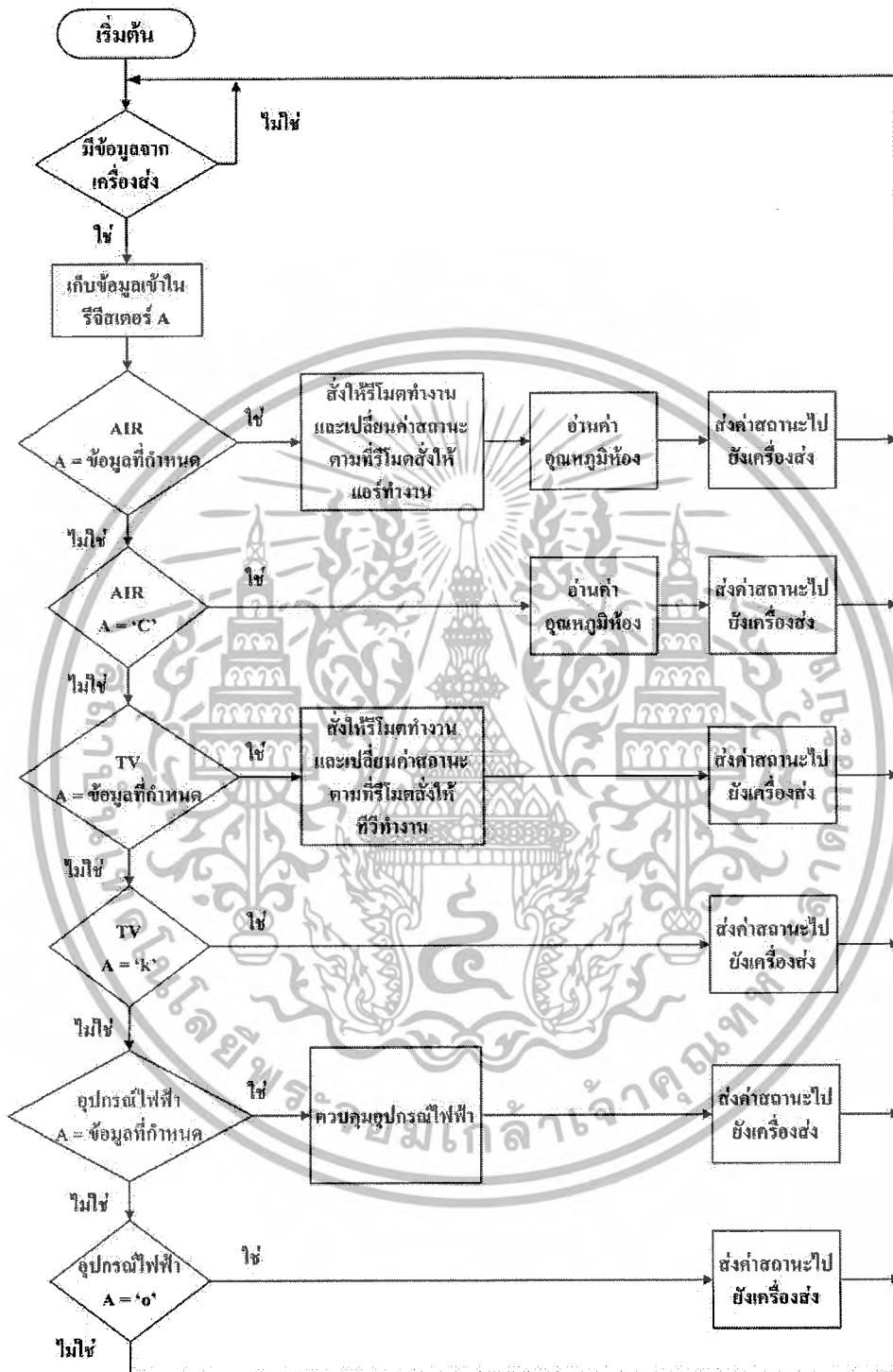


รูปที่ 1.5 โฟลว์ชาร์ตของ interrupt ที่รับข้อมูลจากเครื่องรับ

เอกสารนี้เป็นเอกสารที่สงวนไว้สำหรับการใช้งานเพื่อการศึกษาเท่านั้น ไม่อนุญาตให้นำไปใช้ประโยชน์ด้านการค้าไม่ว่ากรณีใดๆ ทั้งสิ้น อีกทั้งห้ามมิให้ดัดแปลงเนื้อหาและต้องอ้างอิงถึงเจ้าของเอกสารทุกครั้งที่มีการนำไปใช้

1.8 โฟลว์ชาร์ตการทำงานของเครื่องรับ

ปริญญานิพนธ์นี้มีโฟลว์ชาร์ตการทำงานของเครื่องรับแสดงได้ดังรูปที่ 1.6



รูปที่ 1.6 โฟลว์ชาร์ตการทำงานของเครื่องรับ

เอกสารนี้เป็นเอกสารที่สงวนไว้สำหรับการใช้งานเพื่อการศึกษาเท่านั้น ไม่อนุญาตให้นำไปใช้ประโยชน์ด้านการค้าไม่ว่ากรณีใดๆ ทั้งสิ้น อีกทั้งห้ามมิให้ตัดแปลงเนื้อหาและต้องอ้างอิงถึงเจ้าของเอกสารทุกครั้งที่มีการนำไปใช้

บทที่ 2

ทฤษฎีและหลักการ

2.1 การสื่อสารแบบอนุกรมมาตรฐาน RS-232

การรับส่งข้อมูลแบบอนุกรมที่มีการใช้งานอยู่ในปัจจุบัน ได้มีการกำหนดมาตรฐานในการรับส่งข้อมูลไว้หลายแบบด้วยกันเพื่อที่จะทำให้อุปกรณ์ที่ผลิตจากผู้ผลิตที่แตกต่างกันสามารถทำงานร่วมกันได้ มาตรฐานการรับ-ส่งข้อมูลที่ได้รับความนิยมอย่างมากคือ การรับส่งข้อมูลแบบอนุกรมมาตรฐาน RS-232 ซึ่งมาตรฐานนี้เป็นมาตรฐานที่ใช้ในการเชื่อมต่อกับโมเด็ม ซึ่งเป็นอุปกรณ์ที่ใช้ในการสื่อสารระหว่างคอมพิวเตอร์ผ่านสายโทรศัพท์ และอัตราการรับส่งข้อมูลค่อนข้างต่ำ

มาตรฐาน RS-232 นี้ได้มีการออกแบบให้มีโครงสร้างในการรับส่งข้อมูลแบบจุดต่อจุดเท่านั้น คุณลักษณะของสัญญาณทางไฟฟ้าที่ใช้งานมีอยู่ 2 ลักษณะคือ เลขไบนารี 0 และเลขไบนารี 1 แรงดันไฟฟ้าบวกอยู่ระหว่าง +5 ถึง +15 โวลต์ สำหรับเอาต์พุตและระหว่าง +3 ถึง +15 โวลต์ สำหรับอินพุต ซึ่งความแตกต่างนี้มีไว้เพื่อกรณีที่แรงดันไฟฟ้าสูญหายเนื่องจากความยาวของสายสัญญาณ ในทำนองเดียวกัน แรงดันไฟฟ้าลบ ถูกกำหนดไว้ระหว่าง -5 ถึง -15 โวลต์ สำหรับเอาต์พุตและ -3 ถึง -15 โวลต์สำหรับอินพุต

สังเกตว่าถ้าให้สายสัญญาณยาวเกินไป ระดับไฟฟ้าจะตกลงเกินขอบเขตที่รับได้ นอกจากนี้ประจุไฟฟ้าที่เกิดขึ้นจะมีผลต่อคุณภาพของสัญญาณ โดยการเปลี่ยนสถานะจากแรงดันไฟฟ้าบวกกลับไม่ชัดเจน ซึ่ง RS-232 ไม่ได้มุ่งหมายให้นำไปใช้กับระยะทางไกลและโดยทั่วไป 50 ฟุตเป็นระยะทางไกลที่สุดในการใช้สายปกติที่อัตราการส่งข้อมูลปกติ ถ้าหากอุปกรณ์อยู่ห่างกันมากอาจจะต้องใช้โมเด็ม หรือใช้มาตรฐานอื่นเข้ามาช่วย

โดยปกติเครื่องไมโครคอมพิวเตอร์จะมีพอร์ตที่เป็นอนุกรมชื่อว่า RS-232 อยู่ในตัวมันเองอยู่แล้ว ซึ่งพอร์ต RS-232 นี้ทำหน้าที่รับและส่งข้อมูลในแบบอนุกรมเรียกว่า Universal Asynchronous Adapter เหตุที่มีชื่อเรียกว่า RS-232 ก็เนื่องมาจาก สมาคมผู้ผลิตอุปกรณ์อิเล็กทรอนิกส์ ของอเมริกา หรือ EIA (RS-232 : Recommended Standard Number 232, EIA: Electronic Industry Association) ได้กำหนดมาตรฐานของอุปกรณ์สื่อสารแบบอนุกรมเอาไว้ภายใต้ชื่อว่า RS-232

การสื่อสารแบบอนุกรม นับว่ามีความสำคัญต่อการใช้งานไมโครคอนโทรลเลอร์มากเพราะสามารถใช้เป็นพินท์ และจอภาพของ คอมพิวเตอร์ เป็น อินพุต และ เอาต์พุต ในการติดต่อหรือควบคุมไมโครคอนโทรลเลอร์ ด้วยสัญญาณอย่างน้อย เพียง 3 เส้นเท่านั้น คือ

- สายส่งสัญญาณ TX
- สายรับสัญญาณ RX
- สาย GND

เอกสารนี้เป็นเอกสารที่สงวนไว้สำหรับการใช้งานเพื่อการศึกษาเท่านั้น ไม่อนุญาตให้นำไปใช้ประโยชน์ด้านการค้าไม่ว่ากรณีใดๆ ทั้งสิ้น อีกทั้งห้ามมิให้ดัดแปลงเนื้อหาและต้องอ้างอิงถึงเจ้าของเอกสารทุกครั้งที่มีการนำไปใช้

2.1.1 อัตราการส่งข้อมูล (Baud rate)

- คือความเร็วของการรับ-ส่งข้อมูล เป็นจำนวนบิตต่อวินาทีเช่น 300 , 1,200 , 2,400 , 4,800 , 9,600 , 14,400 , 19,200 , 38,400 , 56,000 เป็นต้น
- การเลือกอัตราการส่งข้อมูลขึ้นอยู่กับ ชนิดของสายสัญญาณ, ระยะทาง, และปริมาณสัญญาณรบกวน

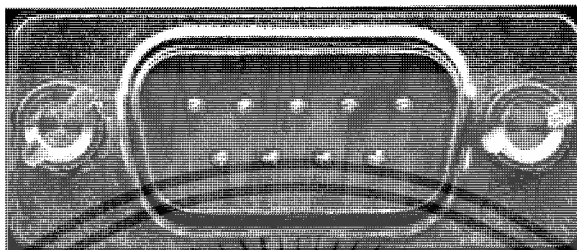
ตารางที่ 2.1 คุณสมบัติของ RS-232

พารามิเตอร์	RS-232
โหนดการทำงาน	Single-ended
จำนวนตัวรับและตัวส่ง	1 ตัวรับ 1 ตัวส่ง
ความยาวของคู่สายสัญญาณ	50 ฟุต
อัตราการส่งข้อมูล	20 กิโลบิตต่อวินาที
Maximum common Mode voltage	$\pm 25V$
Driver output	$\pm 5V$ ต่ำสุด $\pm 15V$ สูงสุด
Driver load Ω	3K ถึง 7K
Driver slew rate	30V/ μ S
กระแสลิมิตเมื่อเอาท์พุตลัดวงจร	500 mA ลัดกับ Vcc กับ GND
ค่าความต้านทานเอาท์พุตของตัวส่ง Ω	NA (Power ON) 300 (Power OFF)
ค่าความต้านทานอินพุตตัวรับ Ω	3K ถึง 7K
ความไวตัวรับ	$\pm 3V$

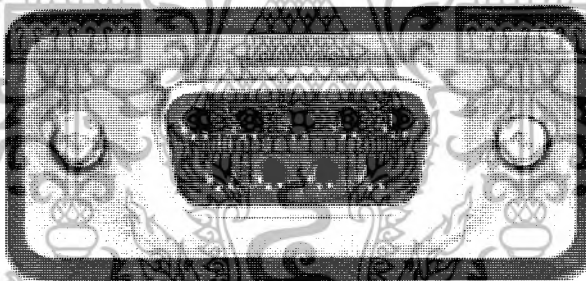
เอกสารนี้เป็นเอกสารที่สงวนไว้สำหรับการใช้งานเพื่อการศึกษาเท่านั้น ไม่อนุญาตให้นำไปใช้ประโยชน์ด้านการค้าไม่ว่ากรณีใดๆ ทั้งสิ้น อีกทั้งห้ามมิให้ตัดแปลงเนื้อหาและต้องอ้างอิงถึงเจ้าของเอกสารทุกครั้งที่มีการนำไปใช้

2.2 การเชื่อมต่ออุปกรณ์ภายนอกเข้ากับคอมพิวเตอร์ด้วยสาย DB-9

- พอร์ตอนุกรมของ คอมพิวเตอร์ จะเป็นคอนเน็คเตอร์แบบ DB-9 ตัวผู้ (Male) ดังรูปที่ 2.1
- พอร์ตอนุกรมของอุปกรณ์ภายนอก จะเป็นคอนเน็คเตอร์แบบ DB-9 ตัวเมีย (FeMale) ดังรูปที่ 2.2



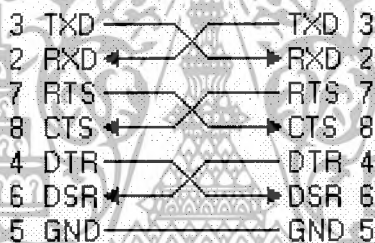
รูปที่ 2.1 พอร์ตอนุกรมของคอมพิวเตอร์ DB-9 ตัวผู้ (Male)



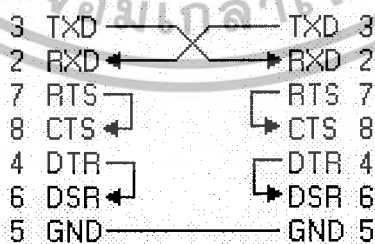
รูปที่ 2.2 พอร์ตอนุกรมของอุปกรณ์ภายนอก DB-9 ตัวเมีย (Female)

ตารางที่ 2.2 การจัดขา ของคอนเน็คเตอร์ อนุกรมแบบ DB-9 และหน้าที่การใช้งานต่างๆ

ขา DB-9	สัญญาณ
1	CD(Carrier Detect)
2	RD(Receive Data)
3	TD(Transmitted Data)
6	DSR(Data Set Ready)
7	RTS(Request To Send)
8	CTS(Clear To Send)
9	RI(Ring Indicator)



รูปที่ 2.3 การเชื่อมต่ออุปกรณ์ภายนอกผ่าน DB9 แบบ Null โมเด็ม



รูปที่ 2.4 การต่ออุปกรณ์ภายนอกผ่าน DB9 แบบ 3 เส้น

เอกสารนี้เป็นเอกสารที่สงวนไว้สำหรับการใช้งานเพื่อการศึกษาเท่านั้น ไม่อนุญาตให้นำไปใช้ประโยชน์ด้านการค้า ไม่ว่าจะกรณีใดๆ ทั้งสิ้น อีกทั้งห้ามมิให้ตัดแปลงเนื้อหาและต้องอ้างอิงถึงเจ้าของเอกสารทุกครั้งที่มีการนำไปใช้

2.2.1 การทำงานของขาสัญญาณ DB9

TXD เป็นขาที่ใช้ส่งข้อมูล

RXD เป็นขาที่ใช้รับข้อมูล

DTR แสดงสถานะพอร์ตว่าเปิดใช้งาน **DSR** ตรวจสอบว่าพอร์ตที่ติดต่อด้วยเปิดอยู่หรือไม่

- เมื่อเปิดพอร์ตอนุกรม ขา DTR จะ ON เพื่อให้อุปกรณ์ได้รับทราบว่าการติดต่อด้วย

- ในขณะเดียวกันก็จะตรวจสอบขา DSR ว่าอุปกรณ์พร้อมหรือไม่

RTS แสดงสถานะพอร์ตที่ต้องการส่งข้อมูล

CTS ตรวจสอบว่าพอร์ตที่ติดต่อด้วย ต้องการส่งข้อมูลหรือไม่

- เมื่อต้องการส่งข้อมูลขา RTS จะ ON และจะส่งข้อมูลออกที่ขา TXD เมื่อส่งเสร็จก็จะ OFF

- ในขณะเดียวกันก็จะตรวจสอบขา CTS ว่าอุปกรณ์ที่ต้องการที่จะส่งข้อมูลหรือไม่

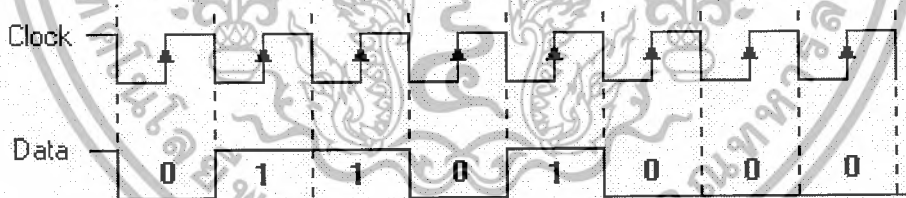
GND ขากราวด์

2.3 รูปแบบการสื่อสารแบบอนุกรม

มีด้วยกันอยู่ 2 แบบ คือแบบซิงโครนัส (Synchronous) และแบบอะซิงโครนัส (Asynchronous)

2.3.2 การสื่อสารแบบซิงโครนัส (Synchronous)

การรับส่งข้อมูลจะมีสัญญาณนาฬิกา ซึ่งเป็นตัวกำหนด จังหวะเวลา การส่งข้อมูล รวมอยู่ด้วยอีกเส้นหนึ่งใช้คู่กับสัญญาณข้อมูล ดังรูปที่ 2.5 ตัวอย่างเช่น การส่งสัญญาณจากคีย์บอร์ด เป็นต้น



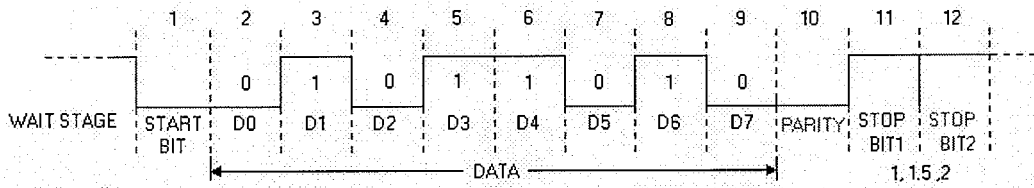
รูปที่ 2.5 การสื่อสารแบบซิงโครนัส (Synchronous)

2.3.2 การสื่อสารแบบอะซิงโครนัส (Asynchronous)

การรับส่งข้อมูลโดยที่ไม่จำเป็นต้องมีสัญญาณนาฬิกาพร้อมด้วยแต่จะใช้ให้ตัวส่งและตัวรับมีอัตราส่งข้อมูลที่เท่ากัน รูปแบบข้อมูลแบบอะซิงโครนัส ดังรูปที่ 2.6 ประกอบด้วย 4 ส่วนคือ

1. บิตเริ่มต้น (Start bit) มีขนาด 1 บิต
2. บิตข้อมูล (Data) มีขนาด 5, 6, 7 หรือ 8 บิต
3. บิตตรวจสอบพาริตี (Parity bit) มีขนาด 1 บิตหรือไม่มี
4. บิตหยุด (Stop bit) มีขนาด 1, 1.5, 2 บิต

เอกสารนี้เป็นเอกสารที่สงวนไว้สำหรับการใช้งานเพื่อการศึกษาเท่านั้น ไม่อนุญาตให้นำไปใช้ประโยชน์ด้านการค้า ไม่ว่าจะกรณีใดๆ ทั้งสิ้น อีกทั้งห้ามมิให้ดัดแปลงเนื้อหาและต้องอ้างอิงถึงเจ้าของเอกสารทุกครั้งที่มีการนำไปใช้



รูปที่ 2.6 การสื่อสารแบบอะซิงโครนัส (Asynchronous)

- เมื่อไม่มีการส่งข้อมูล data จะมีสถานะเป็นลอจิก "1" หรือสถานะหยุดรอ (Waiting stage)
- เมื่อเริ่มต้นส่งข้อมูลจะให้ data เป็นลอจิก "0" เป็นจำนวน 1 บิตเรียกว่าบิตเริ่มต้น (Start bit)
- จากนั้นก็จะเริ่มต้นส่งข้อมูล โดยส่งบิตต่ำไปก่อน (LSB)
- แล้วตามด้วยพริตบิต (จะมีหรือไม่มีก็ได้ ขึ้นอยู่กับการติดตั้งค่าของทั้งสองฝ่าย)
- สุดท้ายตามด้วยลอจิก "1" อย่างน้อย 1 บิต (มีขนาด 1, 1.5, หรือ 2 บิต) เพื่อแสดงว่าสิ้นสุดข้อมูล

การรับและส่งข้อมูลแบบอนุกรมยังแบ่งออกเป็นลักษณะการใช้งานได้ 3 แบบคือ

- 1) แบบซิมเพลกซ์ (Simplex) เป็นการส่ง หรือรับข้อมูล แบบทิศทางเดียวเท่านั้น
- 2) แบบฮาล์ฟดูเพลกซ์ (Half Duplex) เป็นการส่งและรับข้อมูลแบบสลับกัน คือเมื่อด้านหนึ่งส่ง อีกด้านหนึ่ง เป็นฝ่ายรับสลับกันไม่สามารถรับ-ส่งในเวลาเดียวกันได้
- 3) แบบฟูลดูเพลกซ์ (Full Duplex) สามารถรับ-ส่งข้อมูลในเวลาเดียวกันได้

2.4 การส่งผ่านข้อมูลแอนะล็อกและดิจิตอล

ปริมาณแอนะล็อกและดิจิตอลเป็นปริมาณที่สอดคล้องกับปริมาณที่มีค่าแบบต่อเนื่อง และไม่ต่อเนื่องตามลำดับ ศัพท์ 2 คำนี้มักจะถูกนำมาใช้เสมอในการสื่อสารข้อมูล อย่างเช่นในเรื่องต่อไปนี้

- ข้อมูล(Data)
- สัญญาณ (Signal)
- การส่งผ่าน (Transmission)

2.4.1 ข้อมูล(Data)

ข้อมูลแอนะล็อกนั้นเป็นข้อมูลที่เกิดขึ้นแล้วมีค่าที่ต่อเนื่องในช่วงเวลาที่พิจารณา เป็นต้นว่าเสียงหรือภาพ ตัวอย่างที่เป็นที่รู้จักกันแพร่หลายมากที่สุด สำหรับข้อมูลแอนะล็อกก็คือ ข้อมูลเสียงซึ่งข้อมูลในระบบการสื่อสารบางระบบจะถูกออกแบบไว้สำหรับข้อมูลเลขฐานสอง ซึ่งจำนวนของรหัสที่แทนตัวอักษรจะใช้ลำดับของบิต ตัวอย่างของรหัสที่เก่าแก่มากอันหนึ่งก็คือรหัสของมอส ในปัจจุบันรหัสที่ใช้กันอย่างมากที่สุดคือ รหัส แอสกี (ASCII) (American Standard Code for Information Interchanger) และนอกจากจะได้รับความนิยมในอเมริกาแล้วยังได้รับความนิยมจากภายนอกด้วย ข้อมูลในการสื่อสารในบางระบบจะถูกออกแบบไว้สำหรับเลขฐานสอง ซึ่งจำนวนของรหัสที่แทนตัวอักษรจะใช้ลำดับของบิต ตัวอักษรแต่ละตัวของรหัสนี้แทนได้ด้วยเลขฐานสอง 7 หลัก ซึ่งเลขฐานสอง 7 หลักสามารถแทนอักษรที่

เอกสารนี้เป็นเอกสารที่สงวนไว้สำหรับการใช้งานเพื่อการศึกษาเท่านั้น ไม่อนุญาตให้นำไปใช้ประโยชน์ด้านการค้าไม่ว่ากรณีใดๆ ทั้งสิ้น อีกทั้งห้ามมิให้ดัดแปลงเนื้อหาและต้องอ้างอิงถึงเจ้าของเอกสารทุกครั้งที่มีการนำไปใช้

ไม่ซ้ำกัน ได้ทั้งหมดถึง 128 ตัว ซึ่งมีจำนวนเกินอักขระที่ใช้กันอยู่ ดังนั้นรหัสเลขฐานสองบางตัวจึงถูกมาแทนตัวอักขระสำหรับการควบคุม โดยทั่วไปแล้วในการเข้ารหัสในการเก็บและส่งผ่านข้อมูลที่ใช้จำนวนเลขไบนารี 8 บิตต่อ 1 ตัวอักษรโดยบิตที่ 8 ก็คือพาร์ริตี้บิตที่ใช้สำหรับการตรวจสอบความผิดพลาดที่ 8 นี้จะถูกกำหนดขึ้นเพื่อที่จะให้จำนวนของบิต 1 มีค่าเป็นจำนวนคู่เมื่อใช้พาร์ริตี้แบบคู่ และให้จำนวนของบิต 1 มีค่าเป็นจำนวนคี่เมื่อใช้การตรวจพาร์ริตี้แบบบิตคี่

2.4.2 สัญญาณ (Signal)

ในระบบของการสื่อสาร ข้อมูลจะเคลื่อนที่จากจุดหนึ่งไปยังอีกจุดหนึ่งในรูปของสัญญาณไฟฟ้า ซึ่งสัญญาณแอนะล็อกก็คือ คลื่นแม่เหล็กไฟฟ้าที่มีการเปลี่ยนแปลงอย่างต่อเนื่องและสัญญาณดังกล่าวนี้เองที่จะถูกส่งผ่านไปยังตัวกลางชนิดต่างๆ ทั้งนี้ขึ้นอยู่กับสเปกตรัมของสัญญาณ โดยตัวกลางอาจเป็นสาย เช่น สายโคแอกเชียล สายใยแก้วนำแสง หรืออาจจะเป็นตัวกลางแบบไร้สายเช่น ชั้นบรรยากาศหรือสุญญากาศ ส่วนสัญญาณดิจิทัลนั้นอาจเป็นขบวนของพัลส์ โวลต์ชัดเจน ที่ใช้ระดับของพัลส์ที่ส่งไปเป็นตัวแทนข้อมูล เช่น ใช้ระดับโวลต์เตจคงที่ค่าบวก แทนไบนารี 1 และระดับโวลต์เตจลบแทนค่าไบนารี 0

2.4.3 การส่งผ่าน (Transmission)

การส่งผ่านข้อมูลแอนะล็อก (Analog transmission)

การส่งผ่านในรูปแบบแอนะล็อกเป็นวิธีการส่งผ่านสัญญาณแอนะล็อกไป โดยไม่มีการเปลี่ยนแปลงสาระข้อมูล ไม่ว่าจะเป็อุปกรณใดๆสัญญาณแอนะล็อกจะเกิดการลดทอนหลังจากที่เดินผ่านเข้าไปในตัวกลาง ดังนั้นเพื่อให้สัญญาณสามารถเดินทางไปถึงปลายทางได้ระยะทางไกลๆ ระบบการส่งผ่านแบบแอนะล็อกก็จะมีตัวเพิ่มความแรงของสัญญาณเพื่อเพิ่มพลังงานให้แก่สัญญาณ แล้วยังเพิ่มพลังงานให้กับสัญญาณรบกวนอีกด้วยและยังมีการต่อใช้ตัวขยายหลายๆตัวแบบอนุกรมเพื่อให้ได้ระบบในการส่งสัญญาณได้ไกลๆ ยิ่งทำให้สัญญาณผิดเพี้ยนไปยิ่งขึ้น สำหรับข้อมูลแบบแอนะล็อก เช่น เสียงผิดเพี้ยนเพียงบางส่วนเล็กน้อยสามารถยอมให้เกิดขึ้นได้เพราะข้อมูลยังสามารถเข้าใจได้ แต่สำหรับข้อมูลดิจิทัลการที่ต่อตัวขยายแบบอนุกรมก็จะทำให้เกิดความผิดพลาด

การส่งผ่านข้อมูลดิจิทัล (Digital Transmission)

การส่งผ่านข้อมูลโดยวิธีการนี้ จะเกี่ยวข้องกับเนื้อหาของสัญญาณดิจิทัลจะถูกส่งไปได้ใน ระยะทางที่จำกัดก่อนที่การลดทอนจะทำอันตรายต่อองค์ประกอบข้อมูล ดังนั้นเพื่อให้ได้ทำการส่งเป็นระยะทางไกลๆเราจึงใช้ตัวทวนสัญญาณ เพื่อผู้สัญญาณดั้งเดิมกลับคืนมา โดยที่ตัวทวนสัญญาณเมื่อได้รับสัญญาณดิจิทัลมาแล้วก็จะทำการกู้รูปแบบของ 1 และ 0 กลับคืนมาอีกครั้งและส่งต่อออกไปใหม่ ซึ่งทำให้สามารถเอาชนะการลดทอนลงไปได้

ในปัจจุบันมีแนวโน้มที่จะหันมาใช้การสื่อสารระบบดิจิทัลที่ได้แทนระบบแอนะล็อก เหตุผลที่สำคัญคือ

- ดิจิตอลเทคโนโลยี การพัฒนาเทคโนโลยีของวงจรดิจิทัล ทำให้ราคาและขนาดของวงจรลดลง ใน ขณะที่เครื่องมือแอนะล็อกไม่ได้ลดลง

- อิทธิพลของสัญญาณรบกวนไม่ถูกระงับ ทำให้เราสามารถส่งข้อมูลไปได้ระยะทางไกลๆแม้ว่าคุณภาพของสายจะไม่ดีก็ตาม

เอกสารนี้เป็นเอกสารที่สงวนไว้สำหรับการใช้งานเพื่อการศึกษาเท่านั้น ไม่อนุญาตให้นำไปใช้ประโยชน์ด้านการค้า ไม่ว่าจะกรณีใดๆ ทั้งสิ้น อีกทั้งห้ามมิให้ดัดแปลงเนื้อหาและต้องอ้างอิงถึงเจ้าของเอกสารทุกครั้งที่มีการนำไปใช้

- ความจุของการใช้งานมีมาก ซึ่งเป็นเรื่องที่ยากในการที่เราจะต้องสร้างทางเดินส่งผ่านข้อมูลที่มีแบนด์วิดท์กว้างๆ เช่น ช่องสัญญาณดาวเทียมและเส้นใยนำแสง ดังนั้นการนำเอาขบวนการในการมัลติเพล็กซ์มาใช้งานจะเป็นประโยชน์อย่างมากในเรื่องของความจุ ซึ่งขบวนการมัลติเพล็กซ์ทางด้านเวลานั้นจะเป็นวิธีที่ง่ายและราคาถูกกว่าการมัลติเพล็กซ์ทางด้านความถี่

2.5 การมอดูเลตแบบ FSK

2.5.1 ตัวกำเนิดสัญญาณ FSK (FSK Generator)

มีหลักการที่ว่าเมื่อข้อมูลที่เป็นสัญญาณดิจิทัลที่มีลักษณะข้อมูลเป็นข้อมูลไบนารี จะทำให้ความถี่เลื่อนหรือเบี่ยงเบนไปตามการเปลี่ยนแปลงของข้อมูลไบนารีที่เข้ามา ดังนั้นสัญญาณทางเอาต์พุตของตัวกำเนิด FSK จะอยู่ในรูปของความถี่ที่มีการเปลี่ยนแปลงอย่างต่อเนื่อง (Frequency Continuous) เมื่อข้อมูลอินพุตเป็นสถานะลอจิก 1 ความถี่ของสัญญาณเอาต์พุต FSK จะเป็นค่าความถี่ค่าหนึ่งแต่ถ้าเป็นลอจิก 0 สัญญาณเอาต์พุตจาก FSK ก็จะเป็นค่าความถี่ค่าหนึ่งที่ต่างจากลอจิก 1 ดังนั้นการเปลี่ยนแปลงของความถี่แต่ละครั้งจะเกิดขึ้นเมื่อสถานะของลอจิกด้านอินพุตเปลี่ยนแปลงนั่นคือ อัตราการเปลี่ยนแปลงของสัญญาณเอาต์พุตจะเท่ากับกับอัตราการเปลี่ยนแปลงของสัญญาณอินพุต ซึ่งอัตราการเปลี่ยนแปลงของสัญญาณด้านอินพุตของ FSK Generator จะเรียกว่า อัตราบิต (Bit rate) มีหน่วยเป็นบิตต่อวินาที (bps) ส่วนอัตราการเปลี่ยนแปลงของสัญญาณด้านเอาต์พุตของ FSK Generator เรียกว่า อัตราบอด หรือ Baud rate

2.5.2 FSK Bandwidth

ในระบบการสื่อสารข้อมูลด้วยสัญญาณแอนะล็อกหรือสัญญาณความถี่นั้น แบนด์วิดท์เป็นสิ่งที่ต้องพิจารณาเป็นอันดับแรก เนื่องจากวิธีการของ FSK อยู่พื้นฐานเดียวกับ FM ดังนั้นการอธิบายถึงสูตรต่างๆก็ใช้หลักการของ FM ทุกอย่าง

FSK มอดูเลเตอร์ใช้หลักการเดียวกับ FM มอดูเลเตอร์ก็คือ ใช้หลักการของ VCO (Voltage Control Oscillator) จะเห็นว่าอัตราการเปลี่ยนแปลงเร็วที่สุดของสัญญาณอินพุตจะเกิดขึ้นเมื่อข้อมูลไบนารีมีลักษณะเป็น 1 และ 0 สลับกัน หรือก็คือสัญญาณสี่เหลี่ยม (Square Wave) นั่นเอง เป็นสัญญาณในช่วงที่คาบเวลาของความถี่หลักของคลื่นสี่เหลี่ยมจะมีค่าเท่ากับครึ่งหนึ่งของอัตราการส่งข้อมูล

ดังนั้นถ้าพิจารณาเฉพาะหลักความถี่เพียงอย่างเดียวแล้ว ความถี่สูงสุดของสัญญาณดิจิทัลที่ต้องการนำมามอดูเลตแบบ FSK จะเท่ากับครึ่งหนึ่งของ อัตราการส่งข้อมูลคือ

$$F_{\max} = \frac{\text{Bitrate}}{2}$$

เมื่อ F_{\max} = ความถี่สูงสุดของสัญญาณดิจิทัลที่จะนำมามอดูเลต

2.6 การดีมอดูเลตแบบ FSK

FSK Demodulator คือตัวรับสัญญาณ FSK (FSK Receiver) จะเป็นตัวแยกสัญญาณ ใบนารีออกจากสัญญาณ FSK โดยส่วนมากจะใช้วงจร PLL (Phase lock loop)

PLL ใน FSK Demodulator มีหลักการการทำงานเหมือนกับ PLL ใน FM Detector ทุกอย่างคือจะมีความถี่ฟรีรันนิ่งเท่ากับ Center Frequency (f_0) และในขณะที่มีความถี่อินพุตของ PLL เลื่อนไปมาระหว่าง f_m กับ f_s จะทำให้เกิดแรงดันคลาดเคลื่อนไฟตรง (DC Error Voltage) ซึ่งผลมาจากการเปรียบเทียบเฟส (Phase Comparator) ของสัญญาณอินพุต เนื่องจากความถี่อินพุตที่เข้าทาง PLL มีเพียง 2 ความถี่คือ f_m และ f_s ดังนั้น ค่าแรงดันดังกล่าว จึงมีเพียง 2 ระดับเท่านั้น ซึ่งสามารถแทนด้วยลอจิก 1 และลอจิก 0 เมื่อความถี่ทางอินพุตเป็น f_m และ f_s ตามลำดับ เราจึงได้สัญญาณเอาต์พุตจาก PLL กลับมาเป็นข้อมูลใบนารีเหมือนกับตอนแรกที่เราส่งมาทุกประการ

2.7 สัญญาณรบกวน (Noise)

สำหรับในขบวนการส่งข้อมูลใดๆสัญญาณที่ได้รับจะประกอบไปด้วยสัญญาณที่ส่งมาจากเครื่องส่งที่มีการเปลี่ยนแปลงไปโดยมีความเพี้ยนของสัญญาณเกิดขึ้น จากคุณสมบัติของระบบส่งผ่านความคิดเพี้ยนที่เพิ่มเข้ามาเพราะมีสัญญาณที่เราไม่ต้องการเกิดขึ้นในระหว่างการส่งและการรับสิ่งที่จะได้กล่าวต่อไปนี้จะเกี่ยวกับสัญญาณที่ไม่เป็นที่ต้องการ ที่เรียกว่าสัญญาณรบกวน ซึ่งสัญญาณดังกล่าวเป็นองค์ประกอบที่สำคัญที่จำกัดการทำงานของระบบการสื่อสาร

สัญญาณรบกวนอาจแบ่งได้เป็น 4 ชนิดดังนี้คือ

1. สัญญาณรบกวนเนื่องจากคลื่นความร้อน (Thermal noise)
2. สัญญาณรบกวนเนื่องจากอินเตอร์มอดูเลชัน (Intermodulation noise)
3. ครอสstalk (Crosstalk)
4. สัญญาณรบกวนแบบอิมพัลส์ (Impulse noise)

2.7.1 สัญญาณรบกวนเนื่องจากคลื่นความร้อน

เกิดขึ้นจากการสั่นของอิเล็กตรอนในตัวนำเนื่องจากความร้อน โดยจะเกิดขึ้นกับอุปกรณ์ทั้งหมดทางอิเล็กทรอนิกส์และตัวกลาง เป็นฟังก์ชันของอุณหภูมิ สัญญาณรบกวนเนื่องจากความร้อนจะมีการกระจายสเปกตรัมที่สม่ำเสมอเท่ากันในช่วงความถี่ทั่วไป สัญญาณรบกวนนี้ไม่สามารถกำจัดได้ ดังนั้นจึงเป็นตัวจำกัดขอบเขตในการทำงานของระบบการสื่อสาร

2.7.2 สัญญาณรบกวนแบบอินเตอร์มอดูเลชัน

จะเกิดขึ้นเมื่อมีความไม่เป็นเชิงเส้นในการประมวลผลสัญญาณในตัวส่ง ตัวรับ หรือในระบบการส่งผ่าน โดยปกติอุปกรณ์ส่งผ่านเหล่านี้จะถูกสร้างขึ้นโดยมีพฤติกรรมเป็นระบบเชิงเส้นนั่นคือค่าเอาต์พุตจะแปรผันตามค่าของอินพุต ในระบบที่ไม่เป็นเชิงเส้นค่าเอาต์พุตจะเป็นฟังก์ชันเชิงซ้อนของอินพุต ซึ่งความไม่เป็นเชิงเส้นของระบบ มักจะเกิดการบิดเบือนของสัญญาณหรือใช้สัญญาณแรงเกินไป

เอกสารนี้เป็นเอกสารที่สงวนไว้สำหรับการใช้งานเพื่อการศึกษาเท่านั้น ไม่อนุญาตให้นำไปใช้ประโยชน์ด้านการค้าไม่ว่ากรณีใดๆ ทั้งสิ้น อีกทั้งห้ามมิให้ตัดแปลงเนื้อหาและต้องอ้างอิงถึงเจ้าของเอกสารทุกครั้งที่มีการนำไปใช้

2.7.3 สัญญาณรบกวนแบบครอสทอล์ก (Cross talk)

ในขณะที่มีการใช้โทรศัพท์ เราอาจจะได้ยินเสียงของผู้อื่นที่ไม่ใช่คู่สนทนาของเราสอดแทรกเข้ามาในสาย ซึ่งเป็นสัญญาณที่เราไม่ต้องการ ซึ่งมักจะเกิดขึ้นในการเหนี่ยวนำทางไฟฟ้าของสัญญาณระหว่างคู่สายที่อยู่ใกล้ๆกัน สัญญาณรบกวนที่เกิดขึ้นกับสายหรือช่องส่งสัญญาณนี้มีชื่อว่า ครอสทอล์ก นอกจากนี้ครอสทอล์กยังสามารถเกิดขึ้นได้โดยสาเหตุอื่น เช่น สัญญาณที่เราไม่ต้องการ อาจถูกรับมาได้โดยสายอากาศไมโครเวฟ แม้ว่าทิศทางของงานสายอากาศจะอยู่ในตำแหน่งที่รับสัญญาณได้แรงที่สุดแล้วก็ตาม แต่พลังงานของคลื่นไมโครเวฟก็ยังคงกระจายไปในระหว่างการเดินทาง สัญญาณรบกวนแบบครอสทอล์กในระบบต่างๆนั้นควรมีขนาดน้อยกว่าสัญญาณรบกวนจากอุณหภูมิ

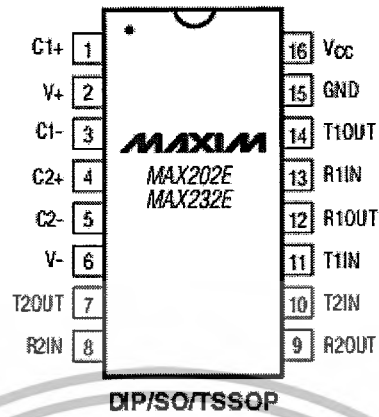
สัญญาณรบกวนทั้งหมดที่ได้กล่าวมานี้ เราสามารถคาดผลที่จะเกิดขึ้นได้ วิศวกรก็จะสามารถออกแบบระบบให้มีความมั่นคงพอที่จะรับสัญญาณรบกวนเหล่านี้ได้ แต่อย่างไรก็ตามยังมีสัญญาณรบกวนอีกชนิดหนึ่ง คือ สัญญาณรบกวนแบบอิมพัลส์ ที่เกิดขึ้นอย่างไม่ต่อเนื่องประกอบไปด้วยพัลส์ที่ผิดปกติ หรือสัญญาณรบกวนแบบกระชากในช่วงเวลาสั้นๆ และขนาดความแรงของสัญญาณสูงสัญญาณรบกวนดังกล่าวนี้เกิดมาจากหลายสาเหตุ รวมทั้งการรบกวนของสนามแม่เหล็ก

2.7.4 สัญญาณรบกวนแบบอิมพัลส์

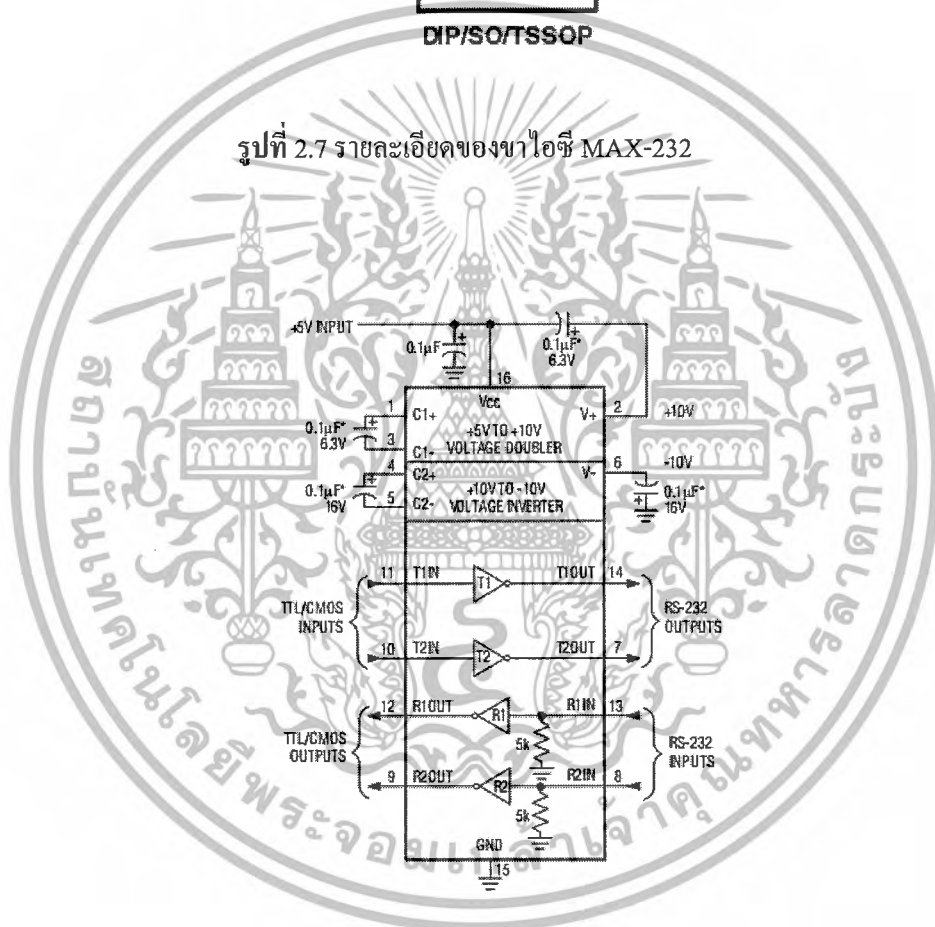
โดยทั่วไปแล้วจะรบกวนข้อมูลแอนะล็อกตัวอย่างเช่นการส่งผ่านเสียงอาจจะถูกทำลายโดยสัญญาณกริกเกรกทำให้ไม่สามารถเข้าใจเสียงได้ แต่อย่างไรก็ตามสัญญาณรบกวนแบบอิมพัลส์ก็เป็นแหล่งกำเนิดเบื้องต้นของความผิดพลาดสำหรับการสื่อสารข้อมูลดิจิทัล ตัวอย่างเช่น สัญญาณกระชากที่เปลี่ยนแปลงพลังงานอย่างรวดเร็วภายในเวลา 0.01 วินาทีอาจจะไม่สามารถทำลายข้อมูลเสียงได้ แต่จะทำลายบิตของข้อมูลดิจิทัลที่ผ่านด้วยความเร็ว 4800 บิตต่อวินาที ไปถึง 50 บิตได้

2.8 ไอซี MAX-232

ไอซี MAX-232 เป็นไอซีที่แปลงระดับสัญญาณจากระดับ TTL ไปเป็นระดับของ RS-232 และในทำนองเดียวกันก็รับระดับสัญญาณจาก RS-232 เพื่อแปลงเป็นระดับสัญญาณจากระดับ TTL ให้กับไมโครคอนโทรลเลอร์ได้ ซึ่งแสดงรายละเอียดของขาไอซี MAX-232 ดังรูปที่ 2.7 และแสดงรายละเอียดภายในไอซี MAX-232 ดังรูปที่ 2.8



รูปที่ 2.7 รายละเอียดของขาไอซี MAX-232



รูปที่ 2.8 รายละเอียดภายในของไอซี MAX232


เอกสารนี้เป็นเอกสารที่สงวนไว้สำหรับการใช้งานเพื่อการศึกษาเท่านั้น ไม่อนุญาตให้นำไปใช้ประโยชน์ด้านการค้า ไม่ว่าจะกรณีใดๆ ทั้งสิ้น อีกทั้งห้ามมิให้ตัดแปลงเนื้อหาและต้องอ้างอิงถึงเจ้าของเอกสารทุกครั้งที่มีการนำไปใช้

2.9 ไมโครคอนโทรลเลอร์ AT89C2051

โครงสร้างพื้นฐานของไมโครคอนโทรลเลอร์ AT89C2051 มีขาสัญญาณจำนวน 20 ขา สามารถแสดงรายละเอียดของแต่ละขาได้ดังรูปที่ 2.9 มีหน่วยความจำโปรแกรมภายในแบบแฟลชขนาด 2 กิโลไบต์ เป็นไมโครคอนโทรลเลอร์ขนาด 8 บิตสามารถต่ออินพุตและเอาต์พุตได้ 15 บิต และมีสถาปัตยกรรมภายในของไมโครคอนโทรลเลอร์เบอร์ AT89C2051 ดังรูปที่ 2.10

2.9.1 คุณสมบัติพื้นฐานของไมโครคอนโทรลเลอร์ AT89C2051

1. สามารถทำงานร่วมกันได้กับไมโครคอนโทรลเลอร์ในตระกูล MCS-51
2. มีหน่วยความจำแบบแฟลช 2 กิโลไบต์ สามารถลบและเขียนได้ถึง 1000 ครั้ง
3. ทำงานในช่วงแรงดันไฟฟ้า 2.7-6 โวลต์
4. มีหน่วยความจำข้อมูลภายในขนาด 128 ไบต์
5. มีอินพุตและเอาต์พุตพอร์ตขนาด 15 บิต
6. มีวงจรมับและจับเวลาขนาด 16 บิตจำนวน 2 วงจร
7. สามารถอินเทอร์รัปต์ได้จาก 6 แหล่ง
8. สามารถโปรแกรมการทำงานได้โดยผ่านพอร์ตอนุกรม
9. มีวงจรถ่ายเทียบแรงดันภายในตัวไมโครคอนโทรลเลอร์



RST/WP	1	20	VCC
(RXD) P3.0	2	19	P1.7
(TXD) P3.1	3	18	P1.6
XTAL2	4	17	P1.5
XTAL1	5	16	P1.4
(INT0) P3.2	6	15	P1.3
(INT1) P3.3	7	14	P1.2
(T0) P3.4	8	13	P1.1 (AIN1)
(T1) P3.5	9	12	P1.0 (AIN0)
GND	10	11	P3.7

รูปที่ 2.9 รายละเอียดของแต่ละขาของ AT89C2051

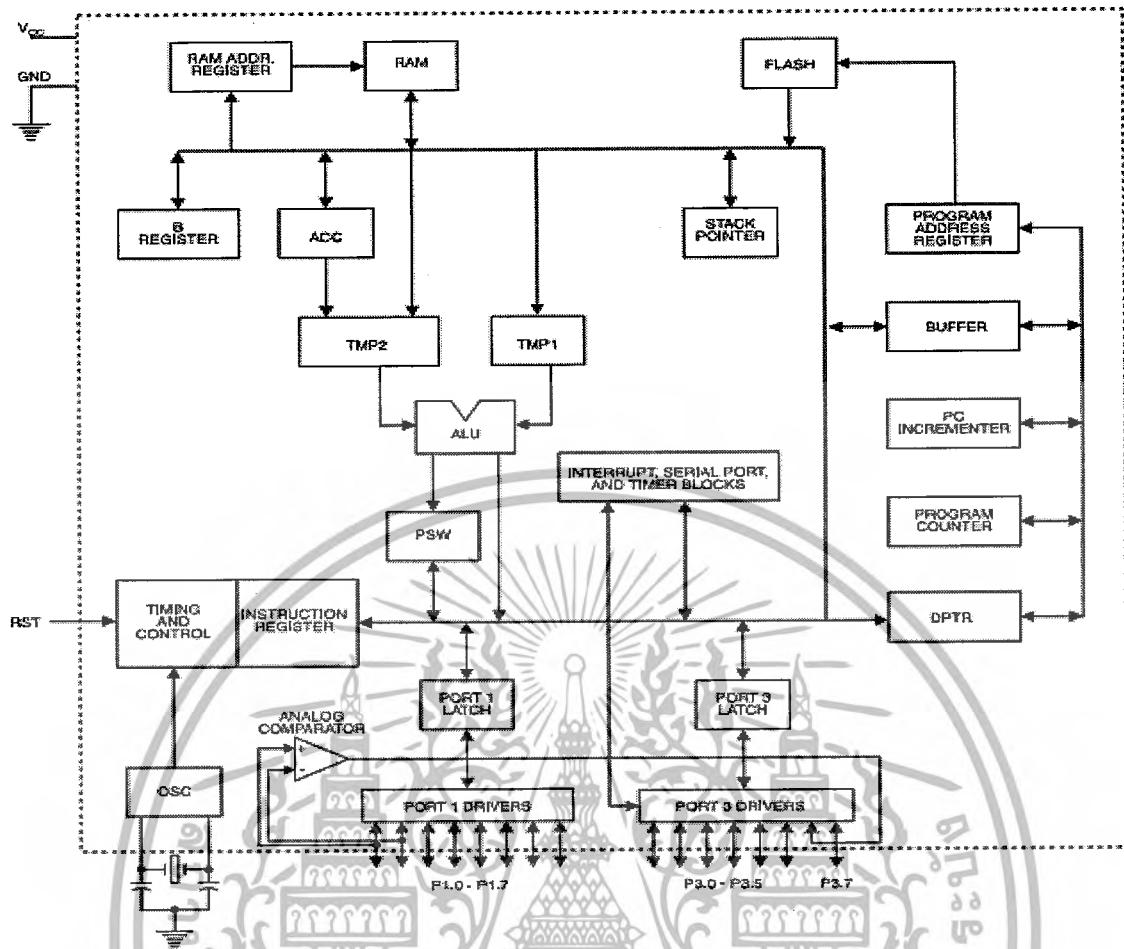
2.9.2 หน้าที่แต่ละขาของไอซีไมโครคอนโทรลเลอร์ AT89C2051

- VCC. เป็นขาที่ใช้สำหรับต่อไฟเพื่อเลี้ยงไอซี +5VDC
- GND เป็นขากาวนด์สำหรับต่อกับกราวนด์ของระบบ
- พอร์ต 1 (P1.0-P1.7) มีจำนวน 8 ขา แต่ละขาเรียกได้เป็น 1 บิต สามารถที่จะกำหนดให้เป็นได้ทั้ง พอร์ตอินพุตและ พอร์ตเอาต์พุตสำหรับใช้งานทั่วไป ถ้าต้องการให้ขาพอร์ตใดเป็นอินพุตก็สามารถทำได้โดยการเขียนข้อมูล ลอจิก "1" ไปยังแต่ละบิตของพอร์ตที่ต้องการติดต่อ

เอกสารนี้เป็นเอกสารที่สงวนไว้สำหรับการใช้งานเพื่อการศึกษาเท่านั้น ไม่อนุญาตให้นำไปใช้ประโยชน์ด้านการค้า ไม่ว่าจะกรณีใดๆ ทั้งสิ้น อีกทั้งห้ามมิให้ตัดแปลงเนื้อหาและต้องอ้างอิงถึงเจ้าของเอกสารทุกครั้งที่มีการนำไปใช้

- พอร์ต 3 (P3.0-P3.7) มีจำนวน 7 ขาแต่ละขาเรียกได้เป็น 1 บิต แต่ในส่วนของวงจรภายในไอซี จะมีขาของ พอร์ต 3 อยู่ทั้งหมด 8 ขา เพียงแต่ขา P3.6 จะไม่ได้ต่อออกมาใช้งานภายนอกของตัวไอซี แต่ใช้เป็นขาจับสถานะ ของผลการเปรียบเทียบสัญญาณ Analog Comparator Input ระหว่างพอร์ต P1.0 และ P1.1 จากภายนอก ดังนั้นขาทั้ง 7 ขาที่ต่อใช้งานภายนอกของไอซี สามารถที่จะกำหนดให้เป็นได้ทั้งพอร์ต อินพุต และพอร์ตเอาต์พุต สำหรับใช้งานทั่วไป ถ้าหากต้องการกำหนดให้ขาพอร์ตใดเป็นอินพุต สามารถที่จะทำได้โดยการเขียนข้อมูลให้เป็น ลอจิก "1" ไปยังแต่ละบิตของพอร์ตที่ต้องการจะติดต่อกับ นอกจากนั้นขาของ พอร์ต 3 จะยังเป็นขาที่มีหน้าที่การใช้งานพิเศษ ซึ่งจะมีรายละเอียดดังต่อไปนี้

- P3.0 ใช้เป็นขาอินพุตสำหรับรับข้อมูลจากการสื่อสารแบบอนุกรม หรือขา RxD
- P3.2 ใช้เป็นขาอินพุตสำหรับส่งข้อมูลจากการสื่อสารแบบอนุกรม หรือขา TxD
- P3.2 ใช้เป็นขาอินพุตรับสัญญาณอินเทอร์รัพท์จากภายนอกช่อง 0 หรือขา INTO
- P3.3 ใช้เป็นขาอินพุตรับสัญญาณอินเทอร์รัพท์จากภายนอกช่อง 1 หรือขา INT1
- P3.4 ใช้เป็นขาอินพุตสำหรับรับสัญญาณ ไทมเมอร์จากภายนอกช่อง 0 หรือขา T0
- P3.5 ใช้เป็นขาอินพุตสำหรับรับสัญญาณ ไทมเมอร์จากภายนอกช่อง 1 หรือขา T1
- P3.6 อยู่ภายใน ไอซีไม่ได้ต่อออกมา ภายนอก แต่ใช้เป็นขาจับสถานะของการเปรียบเทียบสัญญาณ Analog Comparator Input ระหว่างพอร์ต P1.0 และ P1.1 จากภายนอก
- P3.7 ใช้เป็นขาอินพุตและเอาต์พุตสำหรับใช้งานทั่วไป
- รีเซต (Reset) เป็นขาที่ใช้รับสัญญาณในการรีเซต โดยจะรีเซตระบบการทำงานของ ไมโครคอนโทรลเลอร์ ในการป้อนสัญญาณนั้นจะต้องทำให้สถานะที่ขานี้อยู่ในระดับลอจิก "1" (high) อย่างน้อย 2 แมกซ์ซีไซเคิล โดยที่วงจรกำเนิดสัญญาณนาฬิกายังคงทำงานต่อเนื่องไปอย่างเป็นปกติ
- XTAL 1 และ XTAL 2 เป็นขาที่ใช้สำหรับต่อกับตัวคริสตอล เพื่อสร้างสัญญาณนาฬิกาในการ กำหนดจังหวะ การทำงานของไมโครคอนโทรลเลอร์



รูปที่ 2.10 สถาปัตยกรรมภายในของไมโครคอนโทรลเลอร์เบอร์ AT89C2051

2.10 ไอซี FSK Generator (XR-2206)

เป็นไอซีชนิด monolithic function generator สามารถผลิตสัญญาณได้หลายประเภท เช่น สี่เหลี่ยม สามเหลี่ยม พัลส์ โดยเอาท์พุทที่ออกมาจะมีทั้งแอมพลิจูดและความถี่ โดยความถี่ที่ผลิตได้จะมีค่าอยู่ในช่วง 0.01 เฮิรตซ์ จนถึง 1 เมกะเฮิรตซ์ ซึ่งสามารถใช้ได้กับอินพุทที่เป็น TTL หรือ CMOS ก็ได้ สามารถที่จะให้ค่ารูปคลื่นชานน์เอาท์พุทได้ประมาณ 3 Vp-p และค่าความผิดเพี้ยนของสัญญาณที่เกิดขึ้นจะอยู่ระหว่าง 0.5% ถึง 2.5%

2.10.1 การประยุกต์ใช้ไอซี XR-2206

- Waveform Generation
- Sweep Generation
- AM/FM Generation
- FSK Generation
- Phase-Locked Loop (VCO)

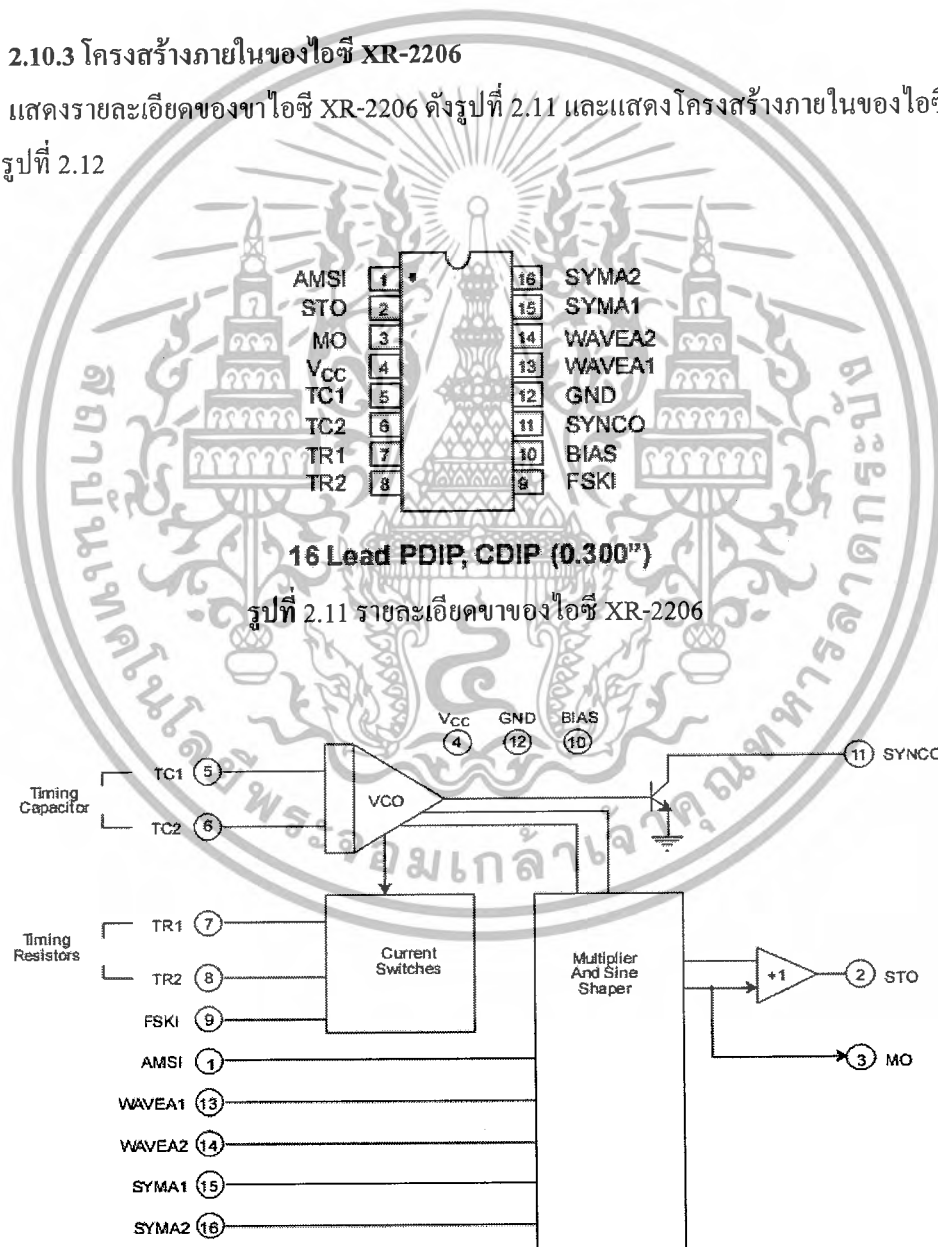
เอกสารนี้เป็นเอกสารที่สงวนไว้สำหรับการใช้งานเพื่อการศึกษาเท่านั้น ไม่อนุญาตให้นำไปใช้ประโยชน์ด้านการค้า ไม่ว่าจะกรณีใดๆ ทั้งสิ้น อีกทั้งห้ามมิให้ดัดแปลงเนื้อหาและต้องอ้างอิงถึงเจ้าของเอกสารทุกครั้งที่มีการนำไปใช้

2.10.2 คุณสมบัติของไอซี XR-2206

- Monolithic Function Generator
- มีช่วงไฟเลี้ยงกว้าง 10 โวลต์ - 26 โวลต์
- มีค่า Duty Cycle 1% จนถึง 99%
- ทนอุณหภูมิได้ถึง 20 ppm/C°
- Linear Amplitude Modulation
- Low-Supply Sensitivity ,0.01%V
- Low-sine Wave Distortion,0.5%

2.10.3 โครงสร้างภายในของไอซี XR-2206

แสดงรายละเอียดของขาไอซี XR-2206 ดังรูปที่ 2.11 และแสดงโครงสร้างภายในของไอซี XR-2206 ดังรูปที่ 2.12

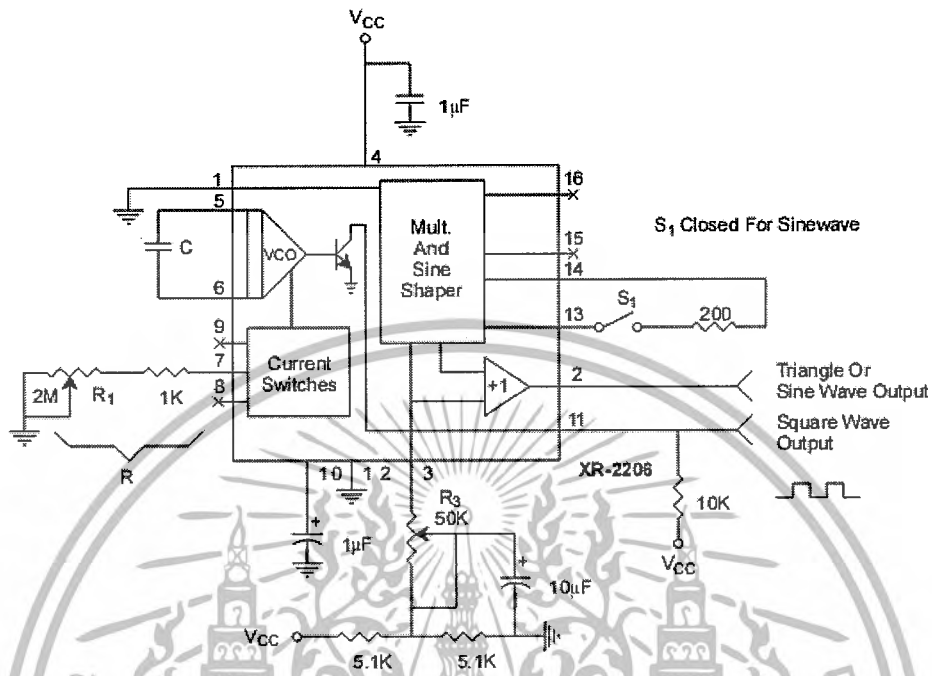


รูปที่ 2.12 ส่วนประกอบภายในของ XR-2206

เอกสารนี้เป็นเอกสารที่สงวนไว้สำหรับการใช้งานเพื่อการศึกษาเท่านั้น ไม่อนุญาตให้นำไปใช้ประโยชน์ด้านการค้า ไม่ว่าจะกรณีใดๆ ทั้งสิ้น อีกทั้งห้ามมิให้ดัดแปลงเนื้อหาและต้องอ้างอิงถึงเจ้าของเอกสารทุกครั้งที่มีการนำไปใช้

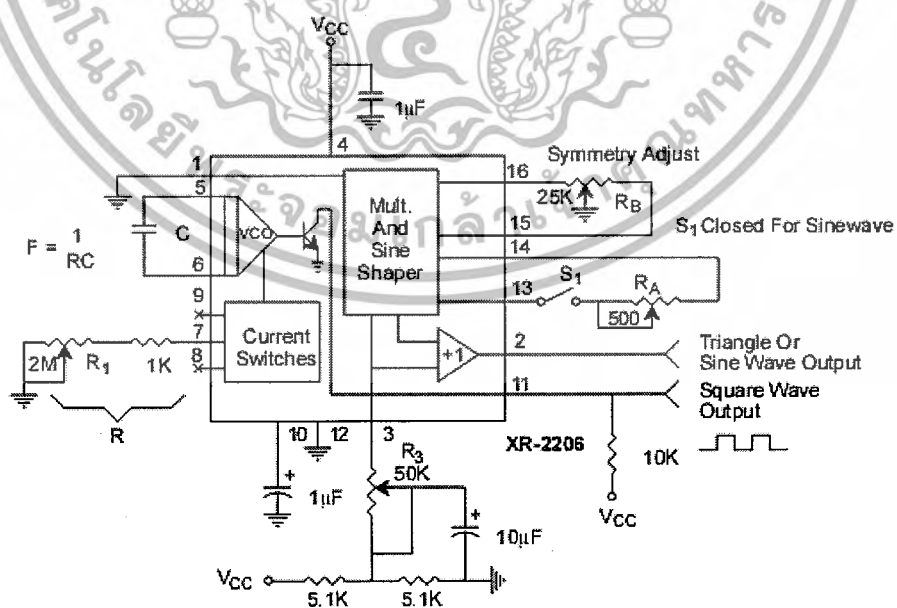
2.10.4 ฟังก์ชันการประยุกต์ใช้งาน

- ภาคว่าเน็ดสัญญาณซายน์ (Sine Wave Generation without External Adjustment) ดังรูปที่ 2.13



รูปที่ 2.13 วงจร Sine Wave Generation without External Adjustment

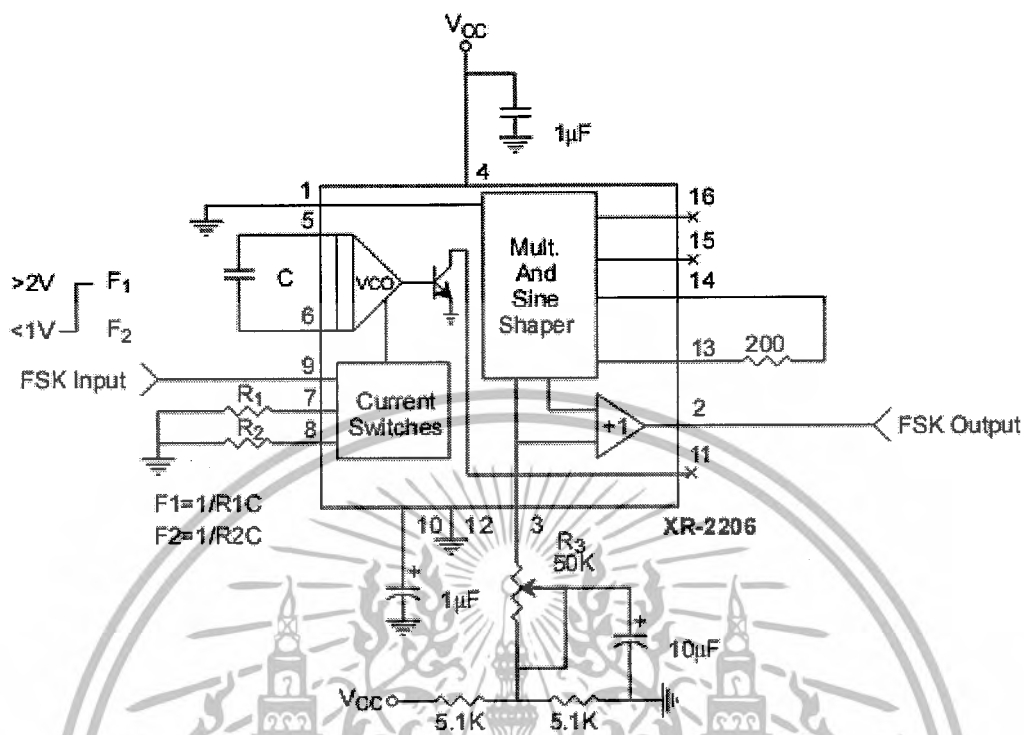
- ภาคว่าเน็ดสัญญาณซายน์ (Sine Wave Generation with Minimum Harmonic Distortion) ดังรูปที่ 2.14



รูปที่ 2.14 วงจร Sine Wave Generation with Minimum Harmonic Distortion

เอกสารนี้เป็นเอกสารที่สงวนไว้สำหรับการใช้งานเพื่อการศึกษาเท่านั้น ไม่อนุญาตให้นำไปใช้ประโยชน์ด้านการค้า ไม่ว่าจะกรณีใดๆ ทั้งสิ้น อีกทั้งห้ามมิให้ตัดแปลงเนื้อหาและต้องอ้างอิงถึงเจ้าของเอกสารทุกครั้งที่มีการนำไปใช้

- ภาคกำเนิดสัญญาณ FSK (FSK Generator) ดังรูปที่ 2.15



รูปที่ 2.15 วงจร FSK Generator

2.11 ไอซี FSK Demodulator/Tone Decoder (XR-2211)

XR 2211 มีลักษณะทั่วไปก็คือเป็นวงจรเฟสล็อกแบบโมโนลิทิก ทำงานในช่วงกว้างของไฟเลี้ยง 4.5 โวลต์ ถึง 20 โวลต์ และมีช่วงความถี่กว้างโดยอยู่ในช่วง 0.01 เฮิรตซ์ – 300 กิโลเฮิรตซ์ สามารถใช้สัญญาณแอนะล็อกได้ในช่วง 2 มิลลิโวลต์ – 3 โวลต์ อีกทั้งยังสามารถอินเทอร์เฟสได้กับวงจรลอจิกตระกูลซีทีแอล, ทีทีแอล และอีซีแอล

2.11.1 การประยุกต์ใช้ไอซี XR-2211

- Caller Identification Delivery
- FSK Demodulation
- Data Synchronization
- Tone Decoding
- FM Detection
- Carrier Detection

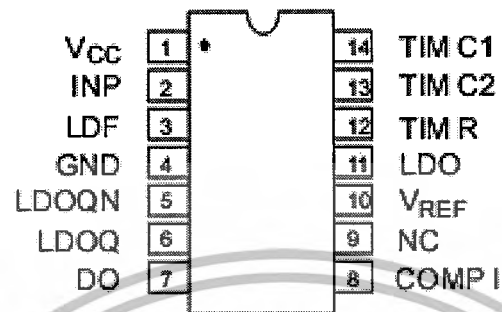
2.11.2 คุณสมบัติของไอซี XR-2211

- สามารถทนอุณหภูมิได้ -50 ถึง +50 ppm/C°
- มีช่วงไฟเลี้ยงกว้าง 4.5 โวลต์ ถึง 20 โวลต์
- HCMOS/TTI/Logic Compayibility

เอกสารนี้เป็นเอกสารที่สงวนไว้สำหรับการใช้งานเพื่อการศึกษาเท่านั้น ไม่อนุญาตให้นำไปใช้ประโยชน์ด้านการค้าไม่ว่ากรณีใดๆ ทั้งสิ้น อีกทั้งห้ามมิให้ดัดแปลงเนื้อหาและต้องอ้างอิงถึงเจ้าของเอกสารทุกครั้งที่มีการนำไปใช้

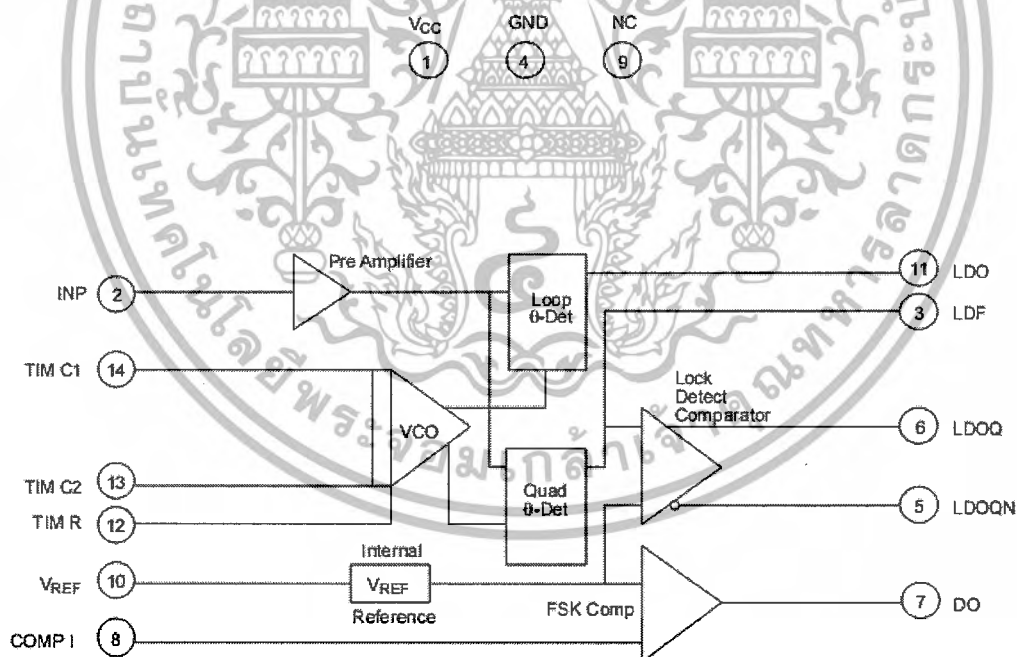
2.11.3 โครงสร้างภายในของ XR-2211

แสดงรายละเอียดของขาไอซี XR-2211 ดังรูปที่ 2.16 และแสดงโครงสร้างภายในของไอซี XR-2211 ดังรูปที่ 2.17



14 Lead CDIP, PDIP (0.300")

รูปที่ 2.16 รายละเอียดของขาไอซี XR-2211

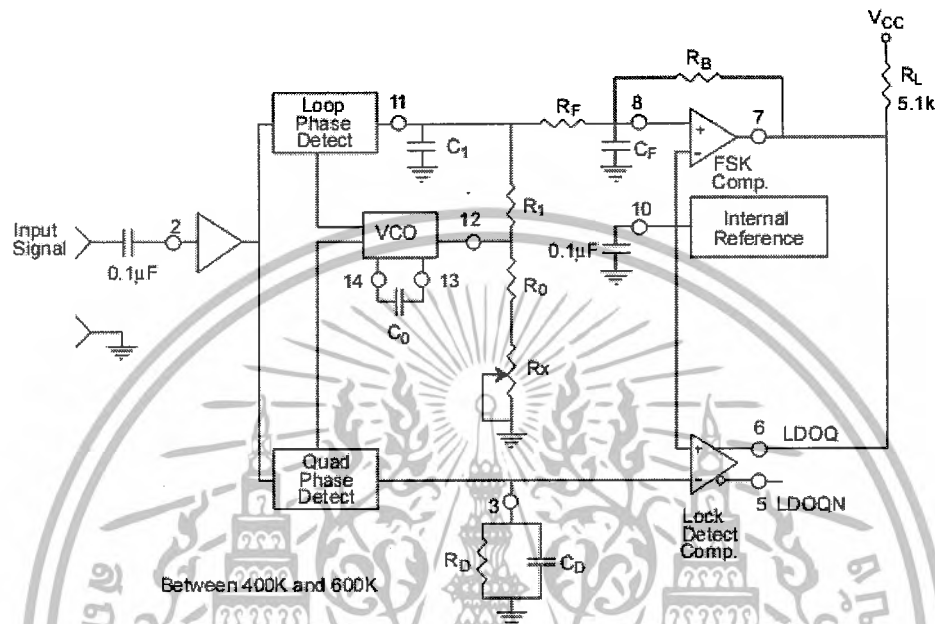


รูปที่ 2.17 บล็อกไดอะแกรมของไอซี XR-2211

เอกสารนี้เป็นเอกสารที่สงวนไว้สำหรับการใช้งานเพื่อการศึกษาเท่านั้น ไม่อนุญาตให้นำไปใช้ประโยชน์ด้านการค้า ไม่ว่าจะกรณีใดๆ ทั้งสิ้น อีกทั้งห้ามมิให้ตัดแปลงเนื้อหาและต้องอ้างอิงถึงเจ้าของเอกสารทุกครั้งที่มีการนำไปใช้

2.11.4 ฟังก์ชันการประยุกต์ใช้งาน

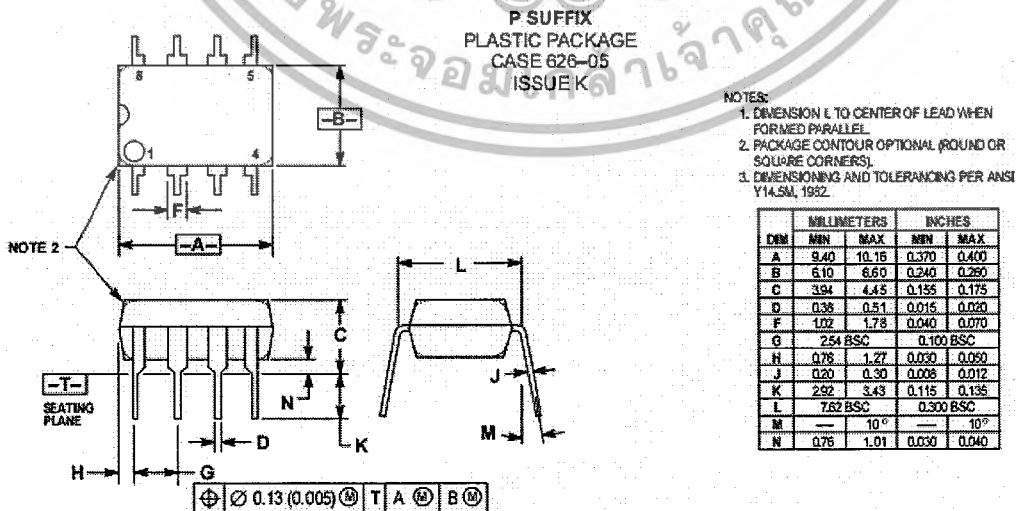
- วงจร FSK demodulation (FSK Demodulation with Carrier Detect Capability) ดังรูปที่ 2.18 และยังสามารถประยุกต์ใช้งาน ได้เป็นวงจรตรวจจับสัญญาณเสียง (Tone Detection) และวงจรตรวจจับสัญญาณ FM (Linear FM Detector) เป็นต้น



รูปที่ 2.18 วงจร FSK demodulation (FSK Demodulation with Carrier Detect Capability)

2.12 ไอซี IF Amplifier (MC-1350P)

เป็นไอซีชนิดไอเอฟ (IF Amplifier) ในระบบวิทยุและทีวี สามารถทนอุณหภูมิได้ 0°C ถึง 75°C ภายในไอซีมีวงจร AGC เอาไว้ปรับอัตราขยายอัตโนมัติ ซึ่งจะทำหน้าที่ควบคุมสัญญาณเอาต์พุตคงที่ในขณะที่สัญญาณที่ได้มีความแรงแตกต่างกัน สามารถแสดงรายละเอียดของขาไอซี MC-1350P ดังรูปที่ 2.19



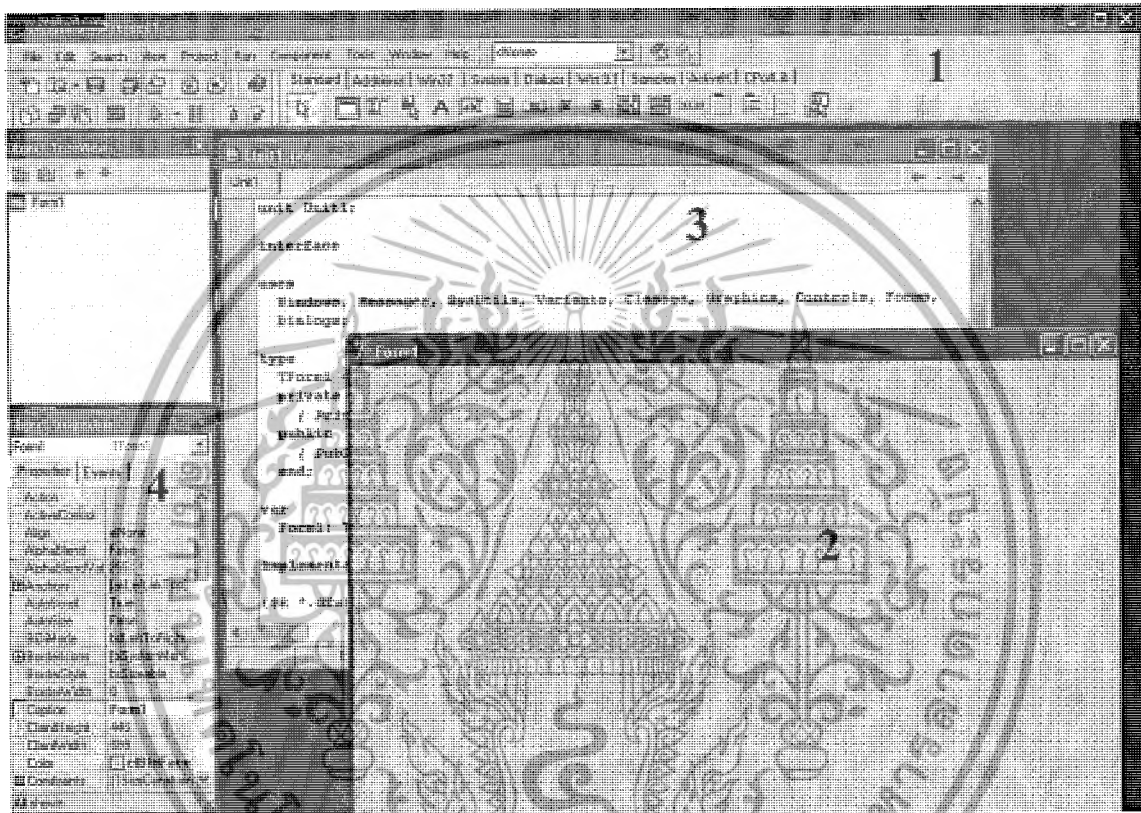
รูปที่ 2.19 รายละเอียดของขาไอซี MC-1350

เอกสารนี้เป็นเอกสารที่สงวนไว้สำหรับการใช้งานเพื่อการศึกษาเท่านั้น ไม่อนุญาตให้นำไปใช้ประโยชน์ด้านการค้า ไม่ว่าจะกรณีใดๆ ทั้งสิ้น อีกทั้งห้ามมิให้ดัดแปลงเนื้อหาและต้องอ้างอิงถึงเจ้าของเอกสารทุกครั้งที่มีการนำไปใช้

2.14 โปรแกรมเดลไฟล์ (Delphi)

Delphi ที่ใช้ในปริญญาบัตรนี้เป็น Delphi 7 จัดเป็นเครื่องมือเขียนโปรแกรมชนิด Visual Programming โดยมีข้อดีคือ สามารถเขียนโปรแกรมได้ง่ายและให้ผลออกมาอย่างรวดเร็ว ซึ่งจะต่างจากเครื่องมือรุ่นเดิมๆ เช่น Turbo Pascal หรือ Borland C ที่มีความยุ่งยากในการใช้งาน ซึ่ง Delphi 7 นี้สามารถนำไปประยุกต์ใช้กับอุปกรณ์ต่างๆ ได้ไม่ว่าจะเป็น โทรศัพท์มือถือ หรือ บนเว็บ

โปรแกรมเดลไฟล์ มีลักษณะของโปรแกรม ดังรูปที่ 2.20



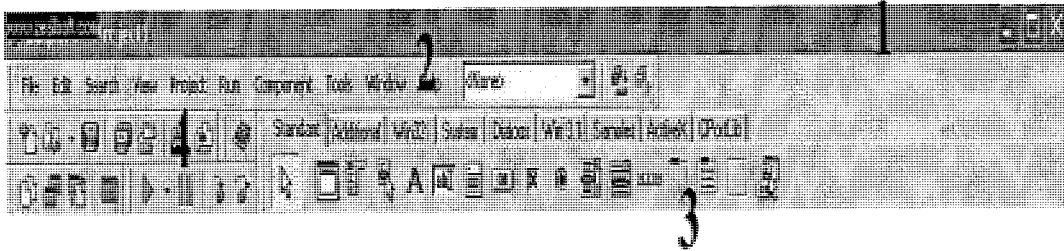
รูปที่ 2.20 หน้าจอของเดลไฟล์โดยรวม

2.14.1 หน้าจอของเดลไฟล์ แบ่งออกเป็น 4 ส่วนใหญ่ๆคือ

1. หน้าต่างหลัก ดังรูปที่ 2.22
2. หน้าต่างฟอร์ม(Form)
3. หน้าต่างยูนิต (Unit)
4. หน้าต่างออบเจกต์อินสเปกเตอร์ (Object Inspector)

เอกสารนี้เป็นเอกสารที่สงวนไว้สำหรับการใช้งานเพื่อการศึกษาเท่านั้น ไม่อนุญาตให้นำไปใช้ประโยชน์ด้านการค้า ไม่ว่าจะกรณีใดๆ ทั้งสิ้น อีกทั้งห้ามมิให้ตัดแปลงเนื้อหาและต้องอ้างอิงถึงเจ้าของเอกสารทุกครั้งที่มีการนำไปใช้

2.14.2 หน้าต่างหลัก ประกอบด้วย



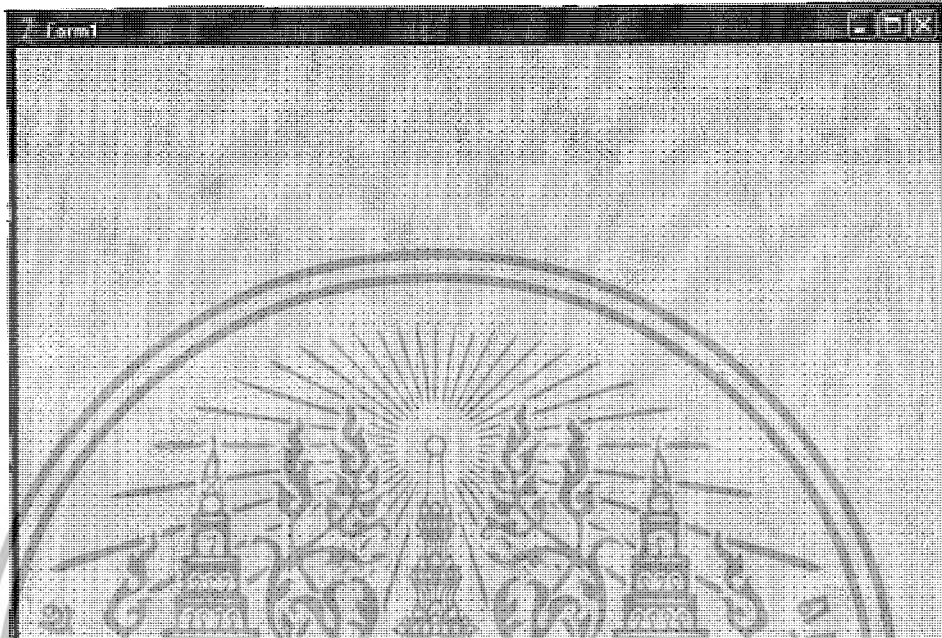
รูปที่ 2.21 หน้าต่างหลัก

1. ไตเติลบาร์ (Title bar) จะแสดงรายชื่อของชิ้นงานแต่ละชิ้น
2. เมนูบาร์ (Menu bar) จะแสดงรายการตั้งแต่ File จนถึง Help
3. กล่องคอมโพเนนต์ (Component) จะเป็นที่เก็บคอมโพเนนต์ต่างๆ ที่จะไปวางไว้บนฟอร์ม
4. สปีดบาร์ (Speed bar) ประกอบด้วย
 - OPEN PROJECT คือ ปุ่มที่ใช้เปิดโปรเจกต์ใหม่ที่สร้างไว้แล้ว
 - OPEN FILE คือ ปุ่มที่ใช้เปิดไฟล์ใหม่ที่สร้างไว้แล้ว
 - SAVE ALL คือ ปุ่มที่ใช้เซฟโปรเจกต์ของงานที่กำลังทำอยู่
 - SAVE FILE คือ ปุ่มที่ใช้เซฟเฉพาะบางไฟล์
 - ADD FILE TO PROJECT คือ ปุ่มที่ใช้ในการทำยูนิท(ไฟล์นามสกุล PAS) ของโปรเจกต์ที่เรากำลังทำงานอยู่
 - REMOVE FILE TO PROJECT คือ ปุ่มที่ใช้ในการทำยูนิทของโปรเจกต์ที่กำลังใช้งานอยู่ออกไป
 - SELECT UNIT FORM LIST คือ ปุ่มที่ใช้เลือกยูนิทที่มีอยู่แล้วในโปรเจกต์ขึ้นมาใช้งาน
 - TOGGLE FORM/ UNIT คือ ปุ่มที่ใช้ในการสลับการทำงานระหว่างหน้าต่างฟอร์มกับหน้าต่างยูนิท
 - SELECT FORM FORM LIST คือ ปุ่มที่ใช้เลือกฟอร์มที่มีอยู่แล้วในโปรเจกต์ขึ้นมาใช้
 - NEW FORM คือ ปุ่มเรียกใช้ฟอร์มใหม่ขึ้นมาใช้งานร่วมกับโปรเจกต์ที่กำลังใช้งานอยู่
 - RUN คือ ปุ่มที่ทำให้ Project compile เริ่มทำงาน
 - TRACE INTO คือ ปุ่มที่ใช้แสดงผลการทำงานของโปรเจกต์ทีละขั้นตอน
 - PAUSE คือ ปุ่มที่ให้โปรเจกต์หยุดชั่วคราว
 - STEP OVER คือ ปุ่มที่ใช้ในการข้ามการแสดงผลบางช่วงไป

เอกสารนี้เป็นเอกสารที่สงวนไว้สำหรับการใช้งานเพื่อการศึกษาเท่านั้น ไม่อนุญาตให้นำไปใช้ประโยชน์ด้านการค้าไม่ว่ากรณีใดๆ ทั้งสิ้น อีกทั้งห้ามมิให้ดัดแปลงเนื้อหาและต้องอ้างอิงถึงเจ้าของเอกสารทุกครั้งที่มีการนำไปใช้

2.14.3 หน้าต่างฟอร์ม

หน้าต่างฟอร์มเป็นหน้าต่างที่มีไว้แสดงผลในการทำงานของตัวโปรเจกต์ เวลาใช้ให้นำคอมโปเนนต์ที่ต้องการใช้ลงไปแล้วกำหนด Properties กับ Events ในออบเจกต์อินสเปกเตอร์ ดังแสดงในรูปที่ 2.22



รูปที่ 2.22 หน้าต่างฟอร์ม (Form)

2.14.4 หน้าต่างยูนิต

หน้าต่างยูนิตเป็นหน้าต่างที่มีไว้สำหรับใส่เงื่อนไขในการทำงานของโปรแกรมโดยผ่านทาง Events ของออบเจกต์อินสเปกเตอร์ หรือจะใส่เงื่อนไขโดยตรงก็ได้ ดังแสดงในรูปที่ 2.23

```

www.zellsoft.com
Unit1.pas
Unit
unit Unit1;

interface

uses
  Windows, Messages, SysUtils, Variants, Classes, Graphics, Controls, Forms,
  Dialogs;

type
  TForm1 = class(TForm)
  private
    { Private declarations }
  public
    { Public declarations }
  end;

var
  Form1: TForm1;

implementation

{$R *.dfm}
  
```

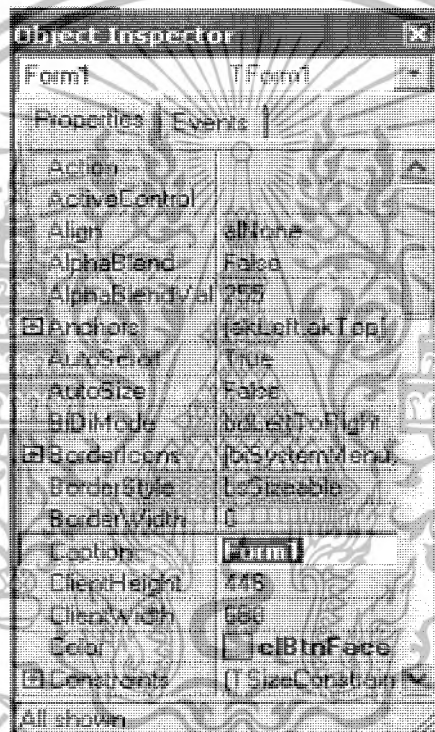
รูปที่ 2.23 หน้าต่างยูนิต

เอกสารนี้เป็นเอกสารที่สงวนไว้สำหรับการใช้งานเพื่อการศึกษาเท่านั้น ไม่อนุญาตให้นำไปใช้ประโยชน์ด้านการค้าไม่ว่ากรณีใดๆ ทั้งสิ้น อีกทั้งห้ามมิให้ดัดแปลงเนื้อหาและต้องอ้างอิงถึงเจ้าของเอกสารทุกครั้งที่มีการนำไปใช้

2.14.5 หน้าต่างออบเจกต์อินสเปกเตอร์

หน้าต่างออบเจกต์อินสเปกเตอร์จะประกอบด้วย

1. Properties จะเป็นตัวกำหนดการทำงานของคอมโปเนนต์ต่างๆ
2. Events จะเป็นตัวผ่านจากคอมโปเนนต์ไปกำหนดเงื่อนไขต่างๆในยูนิท เช่น
 - On Click จะทำงานก็ต่อเมื่อเราเลือกด้วยเมาส์หรือคีย์บอร์ด
 - OnMouseDown จะทำงานก็ต่อเมื่อเรากดเมาส์ลง
 - OnKeyDown จะทำงานโดยการกดคีย์ลงจะไปทำงานที่ KeyCode ที่กำหนดไว้ในเงื่อนไขของEvents นั้นๆในโปรแกรม ดังรูปที่ 2.24



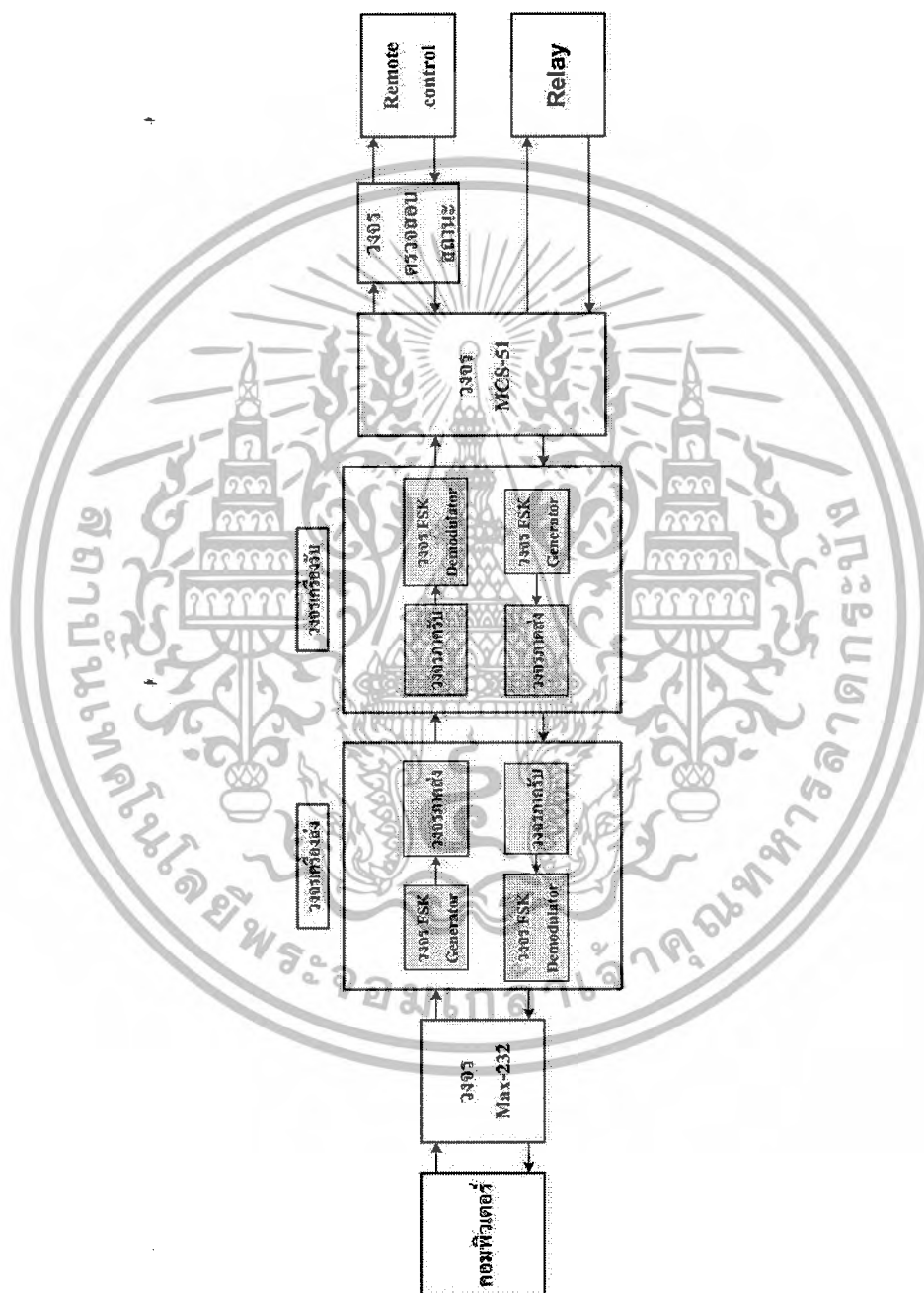
รูปที่ 2.24 หน้าต่างออบเจกต์อินสเปกเตอร์ (Object Inspector)

เอกสารนี้เป็นเอกสารที่สงวนไว้สำหรับการใช้งานเพื่อการศึกษาเท่านั้น ไม่อนุญาตให้นำไปใช้ประโยชน์ด้านการค้า ไม่ว่าจะกรณีใดๆ ทั้งสิ้น อีกทั้งห้ามมิให้ตัดแปลงเนื้อหาและต้องอ้างอิงถึงเจ้าของเอกสารทุกครั้งที่มีการนำไปใช้

บทที่ 3

การออกแบบและการสร้าง

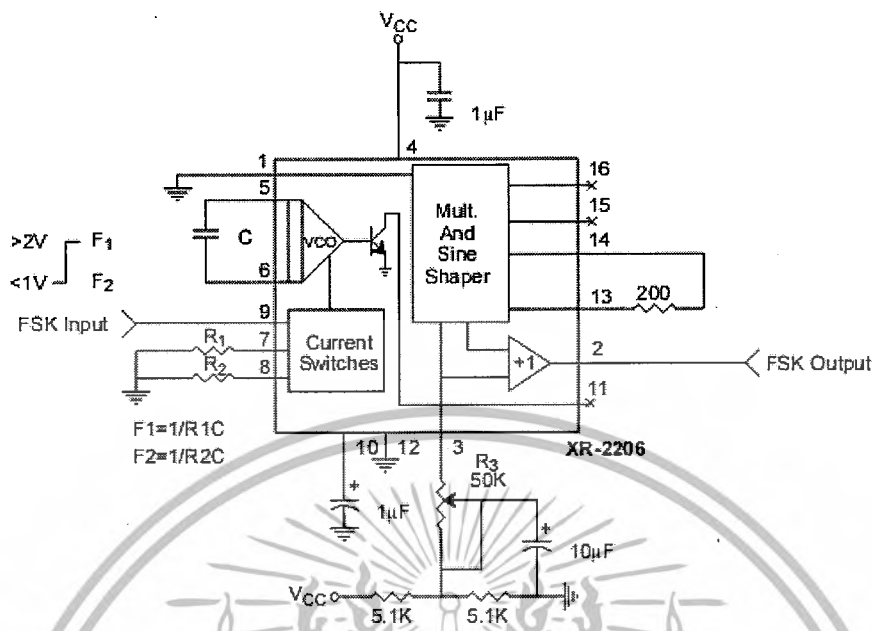
3.1 บล็อกไดอะแกรมของวงจรที่ใช้ทั้งหมด



รูปที่ 3.1 บล็อกไดอะแกรมของวงจรทั้งหมด

เอกสารนี้เป็นเอกสารที่สงวนไว้สำหรับการใช้งานเพื่อการศึกษาเท่านั้น ไม่อนุญาตให้นำไปใช้ประโยชน์ด้านการค้าไม่ว่ากรณีใดๆ ทั้งสิ้น อีกทั้งห้ามมิให้ดัดแปลงเนื้อหาและต้องอ้างอิงถึงเจ้าของเอกสารทุกครั้งที่มีการนำไปใช้

3.2 การทำงานของ FSK Generator



รูปที่ 3.2 วงจร FSK Generator

วงจรที่ใช้งานแสดงดังรูป 3.2 โดยที่นำสัญญาณดิจิทัล TTL จากวงจรระดับสัญญาณอินพุต เข้ามาที่ขา 9 ของ XR2206 ระดับสัปดาห์ตรงของ FSK O/P ที่ขา 2 ประมาณเท่ากับสัปดาห์ตรงที่ไบอัส เข้าที่ขา 3 ของ XR 2206 ซึ่งจากรูปที่ 3.2 จะพบว่า ขา 3 ถูกไบอัสด้วยครึ่งหนึ่งของค่า VCC ว่าสัปดาห์ตรงที่เอาท์พุทจะเท่ากับ $VCC/2$ เราสามารถปรับค่าความสมมาตรของสัญญาณเอาท์พุทได้โดยใช้ R ปรับค่าได้ที่ต่ออยู่กับขา 3 ของไอซี

ในส่วนของความถี่ F_1 เมื่อลอจิกเป็น 0 (Space) และ F_2 เมื่อลอจิกเป็น 1 (Mark) เราสามารถที่จะ กำหนดได้ว่าให้ความถี่ F_1 และ F_2 เป็นเท่าใดก็ได้ โดยหาได้จากสมการที่อ้างอิงจาก Datasheet ของไอซี XR-2206 ซึ่งจะอยู่ในภาคผนวก แสดงได้ดังต่อไปนี้

$$F_1 = \frac{1}{R_1 C} \quad \text{ผลิตความถี่สูง} \quad (1)$$

$$F_2 = \frac{1}{R_2 C} \quad \text{ผลิตความถี่ต่ำ} \quad (2)$$

หรือเราเรียก F_1 ว่า f_h และ F_2 ว่า f_l ก็ได้

เอกสารนี้เป็นเอกสารที่สงวนไว้สำหรับการใช้งานเพื่อการศึกษาเท่านั้น ไม่อนุญาตให้นำไปใช้ประโยชน์ด้านการค้า ไม่ว่าจะกรณีใดๆ ทั้งสิ้น อีกทั้งห้ามมิให้ดัดแปลงเนื้อหาและต้องอ้างอิงถึงเจ้าของเอกสารทุกครั้งที่มีการนำไปใช้

3.2.1 การออกแบบวงจร

จากรูปที่ 3.2 กำหนดให้ที่ขา 8 เป็นความถี่สูง $f_h = 350$ kHz และให้ค่า $C = 1$ nF

$$F_1 = f_h = 350 \text{ kHz}$$

$$F_1 = \frac{1}{R_1 \times 1nF}$$

$$350 \text{ kHz} = \frac{1}{R_1 \times 1nF}$$

$$R_1 = \frac{1}{350kHz \times 1nF}$$

$$R_1 = 2.85 \text{ k}\Omega$$

กำหนดให้ที่ขา 7 เป็นความถี่ต่ำ $f_l = 200$ kHz และให้ค่า $C = 1$ nF

$$F_2 = f_l = 200 \text{ kHz}$$

$$F_2 = \frac{1}{R_2 \times 1nF}$$

$$200 \text{ kHz} = \frac{1}{R_2 \times 1nF}$$

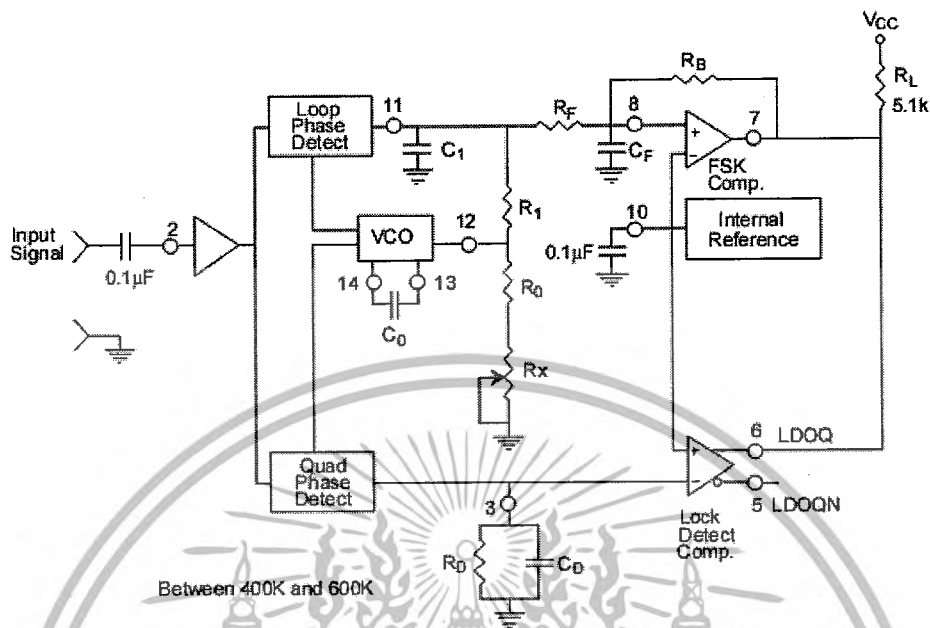
$$R_2 = \frac{1}{200kHz \times 1nF}$$

$$R_2 = 5 \text{ k}\Omega$$

- สังเกตได้ว่าค่าที่ได้จากการคำนวณไม่ตรงกับอุปกรณ์ที่มีอยู่จริง ต้องอาศัยการประมาณค่าที่ใกล้เคียงกับค่าที่มีอยู่จริงและใกล้เคียงกับค่าที่คำนวณได้มากที่สุด

เอกสารนี้เป็นเอกสารที่สงวนไว้สำหรับการใช้งานเพื่อการศึกษาเท่านั้น ไม่อนุญาตให้นำไปใช้ประโยชน์ด้านการค้าไม่ว่ากรณีใดๆ ทั้งสิ้น อีกทั้งห้ามมิให้ตัดแปลงเนื้อหาและต้องอ้างอิงถึงเจ้าของเอกสารทุกครั้งที่มีการนำไปใช้

3.3 การทำงานของ FSK Demodulator



รูปที่ 3.3 วงจร FSK Demodulation with Carrier Detect Capacity

FSK Demodulator จะใช้ไอซี XR 2211 เป็นตัว Demodulate สัญญาณมีลักษณะทั่วไปก็คือเป็น วงจรเฟสล็อกแบบ โมโนลิทิก ทำงานในช่วงกว้างของไฟเลี้ยง 4.5 โวลต์ ถึง 20V และมีช่วงความถี่กว้าง โดยอยู่ในช่วง 0.01เฮิรตซ์ – 300 กิโลเฮิรตซ์ สามารถใช้สัญญาณแอนะล็อกได้ในช่วง 2mโวลต์ – 3 โวลต์ อีกทั้งยังสามารถอินเทอร์เฟสได้กับวงจรลอจิกตระกูลทีแอล, ทีทีแอล และอีซีแอล

วงจรการทำงานของ XR 2211 แสดงดังรูปที่ 3.3 โดยมีการทำงานดังต่อไปนี้ เอาท์พุทของเฟสดีเท็คเตอร์ให้สัญญาณผลบวกและผลต่างความถี่ของสัญญาณอินพุทกับสัญญาณจาก VCO นั่นคือความถี่เอาท์พุทจะเป็น $f_{in} + f_{vco}$ โดยการต่อตัวเก็บประจุรวมสัญญาณเอาท์พุทของเฟสดีเท็คเตอร์ก็คือ ใส่วงจรความถี่ต่ำนั่นเอง จะทำให้สัญญาณความถี่สูง ถูกลดทอนหายไปทำให้เกิดเพียงสัญญาณที่ตรงที่เกิดจากความต่างเฟสของสัญญาณทั้งสอง จะเกิดเช่นนี้ไปเรื่อยๆทำให้ VCO ติดตามความถี่ของสัญญาณอินพุทได้ ในส่วนที่เหลือของ XR- 2211 ทำงานดังนี้คือ หาก VCO ถูกขับด้วยความถี่ที่เหนือกว่าหรือต่ำกว่าความถี่ศูนย์กลางแล้ว วงจรเปรียบเทียบแรงดันจะสร้างสัญญาณเอาท์พุทลอจิกสูง และสัญญาณเอาท์พุทลอจิกต่ำเมื่อเฟสล็อกหลุดหลักอยู่ในช่วงล็อก ในส่วนรายละเอียดของการคำนวณจะขอล่าถึงในหัวข้อตัวอย่างการออกแบบวงจร

R_0 และ C_0 จะกำหนดความถี่ศูนย์กลางของเฟสล็อก, R_1 กำหนดแถบความถี่ของระบบ (Bandwidth), C_1 จะกำหนดค่าเวลาคงตัวในวงจรของวงรอบ (Loop damping factor), C_0 และ R_f กำหนด one-pole post-detection filter สำหรับข้อมูลเอาท์พุทของสัญญาณ FSK ตัวต้านทาน R_B จากขา 7 ไปขา 8 มีไว้เพื่อเป็นการป้องกันแบบบวกสำหรับตัวเปรียบเทียบแรงดันของสัญญาณ FSK เพื่อทำให้เกิดความเร็วในการเปลี่ยนสถานะของลอจิก

เอกสารนี้เป็นเอกสารที่สงวนไว้สำหรับการใช้งานเพื่อการศึกษาเท่านั้น ไม่อนุญาตให้นำไปใช้ประโยชน์ด้านการค้า ไม่ว่าจะกรณีใดๆ ทั้งสิ้น อีกทั้งห้ามมิให้ดัดแปลงเนื้อหาและต้องอ้างอิงถึงเจ้าของเอกสารทุกครั้งที่มีการนำไปใช้

3.3.1 การออกแบบวงจร

จากรูปที่ 3.3 กำหนดให้ค่าความเร็วในการส่งข้อมูลเท่ากับ 1200 baud data rate โดยเราจะใช้สูตรในการคำนวณจาก Datasheet ของไอซี XR-2211 ซึ่งจะอยู่ในภาคผนวก ซึ่งแสดงได้ดังนี้

- คำนวณค่าความถี่ f_0

$$f_0 = \sqrt{F_1 \times F_2}$$

$$f_0 = \sqrt{200 \times 350} \text{ kHz}$$

$$f_0 = 264.75 \text{ kHz}$$

โดย

$$F_1 = 200 \text{ kHz}$$

$$F_2 = 350 \text{ kHz}$$

จากวงจร FSK modulator

- คำนวณหาค่า R_T

$$R_T = R_0 + \frac{R_x}{2}$$

$$R_T = 10 \text{ k}\Omega + \frac{20 \text{ k}\Omega}{2}$$

$$R_T = 20 \text{ k}\Omega$$

- คำนวณหาค่า C_0

$$C_0 = \frac{1}{R_0 \times f_0}$$

$$C_0 = \frac{1}{20 \text{ k}\Omega \times 264.575 \text{ kHz}}$$

$$C_0 = 180 \text{ pF}$$

เอกสารนี้เป็นเอกสารที่สงวนไว้สำหรับการใช้งานเพื่อการศึกษาเท่านั้น ไม่อนุญาตให้นำไปใช้ประโยชน์ด้านการค้าไม่ว่ากรณีใดๆ ทั้งสิ้น อีกทั้งห้ามมิให้ตัดแปลงเนื้อหาและต้องอ้างอิงถึงเจ้าของเอกสารทุกครั้งที่มีการนำไปใช้

- คำนวณค่า R_1

$$R_1 = \frac{R_o \times f_o}{(f_1 - f_2)} \times 2$$

$$R_1 = \frac{10 \text{ k}\Omega \times 264.575 \text{ kHz}}{100 \text{ kHz}} \times 2$$

$$R_1 = 35 \text{ k}\Omega$$

- คำนวณค่า C_1

$$C_1 = \frac{1250 \times C_o}{R_1 \times S^2}$$

โดย S = ค่า loop damping ที่วงจรกำหนดให้ = 0.5

$$C_1 = \frac{1250 \times 188 \text{ pF}}{35 \text{ k}\Omega \times 0.25}$$

$$C_1 = 26.8 \text{ pF}$$

- คำนวณค่า R_F

$$R_F = R_1 \times 5$$

$$R_F = 35 \text{ k}\Omega \times 5$$

$$R_F = 175 \text{ k}\Omega$$

- คำนวณค่า R_B

$$R_B = R_F \times 5$$

$$R_B = 175 \text{ k}\Omega \times 5$$

เอกสารนี้เป็นเอกสารที่สงวนไว้สำหรับการใช้งานเพื่อการศึกษาเท่านั้น ไม่อนุญาตให้นำไปใช้ประโยชน์ด้านการค้า
ไม่ว่ากรณีใดๆ ทั้งสิ้น อีกทั้งห้ามมิให้ตัดแปลงเนื้อหาและต้องอ้างอิงถึงเจ้าของเอกสารทุกครั้งที่มีการนำไปใช้

$$R_B = 875 \quad \text{k}\Omega$$

- คำนวณค่า R_{SUM}

$$R_{SUM} = \frac{(R_F + R_1)}{(R_F + R_1 + R_B)} \times R_B$$

$$R_{SUM} = 170 \quad \text{k}\Omega$$

- คำนวณค่า C_F

$$C_F = \frac{0.25}{(R_{SUM} \times \text{Baudrate})}$$

$$C_F = \frac{0.25}{(170 \text{ k}\Omega \times 1200)}$$

$$C_F = 1.2 \quad \text{nF}$$

- คำนวณค่า C_D

$$C_D > \frac{16}{\Delta F}$$

$$C_D > \frac{16}{150 \text{ kHz}} > 1.0666 \times 10^{-4}$$

$$C_D > 107 \quad \mu\text{F}$$

$$R_D = 470 \quad \text{k}\Omega, \text{ ค่าคงที่ที่ที่วงจรกำหนดไว้}$$

$$R_L = 5.1 \quad \text{k}\Omega, \text{ ค่าคงที่ที่ที่วงจรกำหนดไว้}$$

- สังเกตได้ว่าค่าที่ได้จากการคำนวณไม่ตรงกับอุปกรณ์ที่มีอยู่จริง ต้องอาศัยการประมาณค่าที่ใกล้เคียงกับค่าที่มีอยู่จริง

เอกสารนี้เป็นเอกสารที่สงวนไว้สำหรับการใช้งานเพื่อการศึกษาเท่านั้น ไม่อนุญาตให้นำไปใช้ประโยชน์ด้านการค้าไม่ว่ากรณีใดๆ ทั้งสิ้น อีกทั้งห้ามมิให้ตัดแปลงเนื้อหาและต้องอ้างอิงถึงเจ้าของเอกสารทุกครั้งที่มีการนำไปใช้

3.4 การพันขดลวด

สำหรับขดลวด L2 และ L3 ซึ่งมีรายละเอียดตำแหน่งขาค้างรูปที่ 3.4 ใช้ลวดทองแดงอบน้ำยาเบอรั 32 SWG พันบนสลักจูนขนาด 8 มิลลิเมตร L2 พัน 93 รอบ โดยแบ่งเป็น 3 ชั้น ชั้นละ 31 รอบ แท็บที่ 31 รอบคือเมื่อพันครบ 31 รอบแล้วใช้ สก็อตเทปติดไว้ก่อนจะพันรอบต่อไปส่วน L3 พัน 93 รอบแบ่งเป็น 3 ชั้น เช่นกันแต่ไม่ต้องแท็บ แล้วพันเพิ่มอีกขดจำนวน 13 รอบไว้ชั้นนอกสุด ส่วนขดลวด L1 ทางด้านเครื่องรับพันขดลวดด้าน primary 13 รอบและ secondary 93 รอบ ซึ่งมีรายละเอียดดังรูปที่ 3.4-3.7

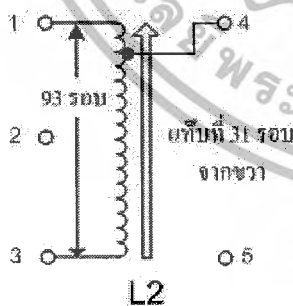


รูปที่ 3.4 รายละเอียดตำแหน่งขาของ L2 และ L3

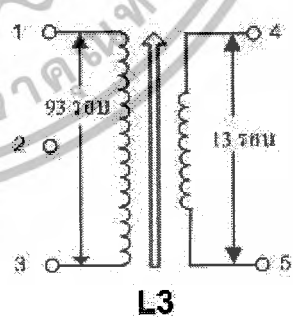
รูปที่ 3.5 รายละเอียดการพันขดลวด

L2 ใช้ลวดเบอร์ 32 พัน 93 รอบ แท็บที่ 31 รอบ (พันชั้น 31 รอบ 3 ชั้น)

L3 ใช้ลวดเบอร์ 32 พันไพรมารี 93 รอบ เซกันดารี 13 รอบ



รูปที่ 3.6 รายละเอียดการพันขดลวด L2

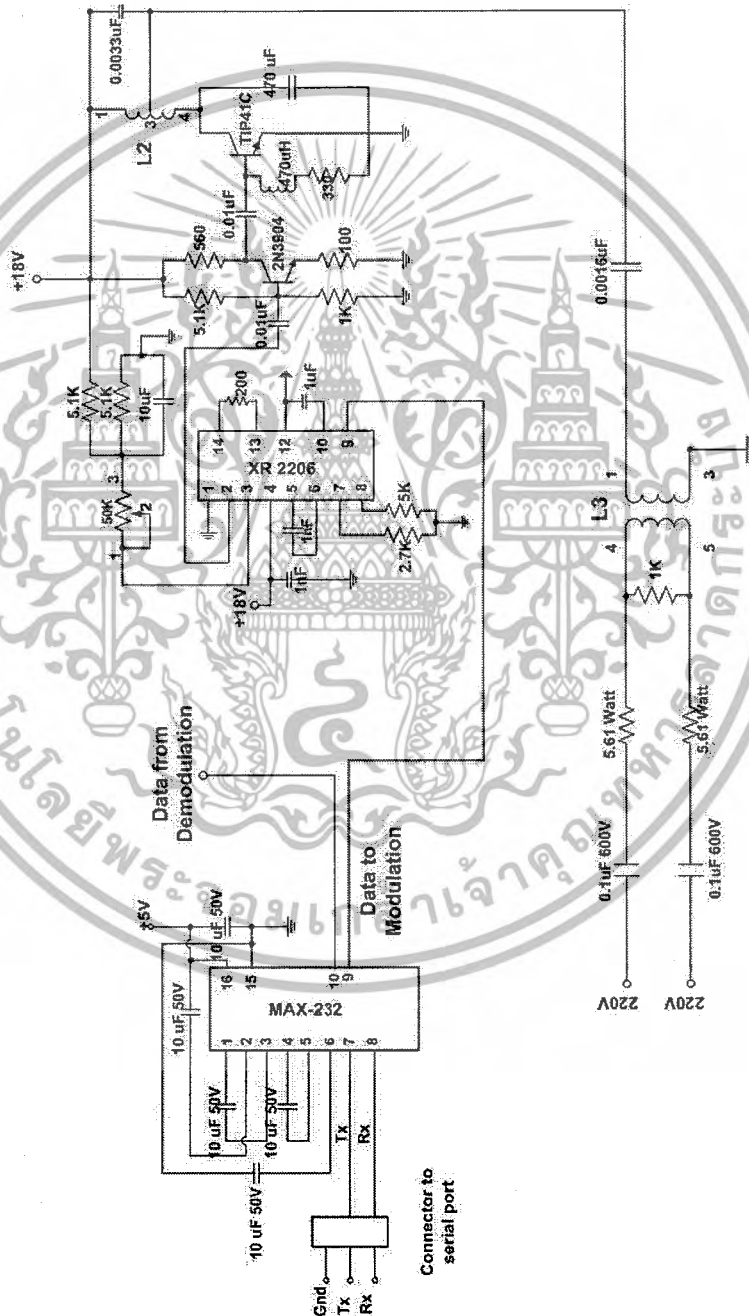


รูปที่ 3.7 รายละเอียดการพันขดลวด L3

เอกสารนี้เป็นเอกสารที่สงวนไว้สำหรับการใช้งานเพื่อการศึกษาเท่านั้น ไม่อนุญาตให้นำไปใช้ประโยชน์ด้านการค้า ไม่ว่าจะกรณีใดๆ ทั้งสิ้น อีกทั้งห้ามมิให้ตัดแปลงเนื้อหาและต้องอ้างอิงถึงเจ้าของเอกสารทุกครั้งที่มีการนำไปใช้

3.5 วงจรเครื่องส่ง

เมื่อรับข้อมูลจากโปรแกรมควบคุมอุปกรณ์ไฟฟ้าผ่านพอร์ตอนุกรมคอมพิวเตอร์แล้วมาประมวลผลผ่านไมโครคอนโทรลเลอร์ แล้วจะทำการมอดูเลตข้อมูลกับคลื่นพาห์ที่มีความถี่เฉพาะค่าหนึ่ง เพื่อไม่ให้ไปรบกวนสัญญาณที่อยู่ในสายไฟฟ้าภายในบ้าน ทำการขยายสัญญาณแล้วทำการส่งผ่านวงจรภาคส่งไปตามสายไฟบ้านไปยังเครื่องรับ และวงจรภาครับของชุดเครื่องส่งจะทำหน้าที่รับข้อมูลสถานะการทำงานของอุปกรณ์ไฟฟ้ามาจากเครื่องรับแล้วทำการแสดงผลทางหน้าจอโปรแกรม

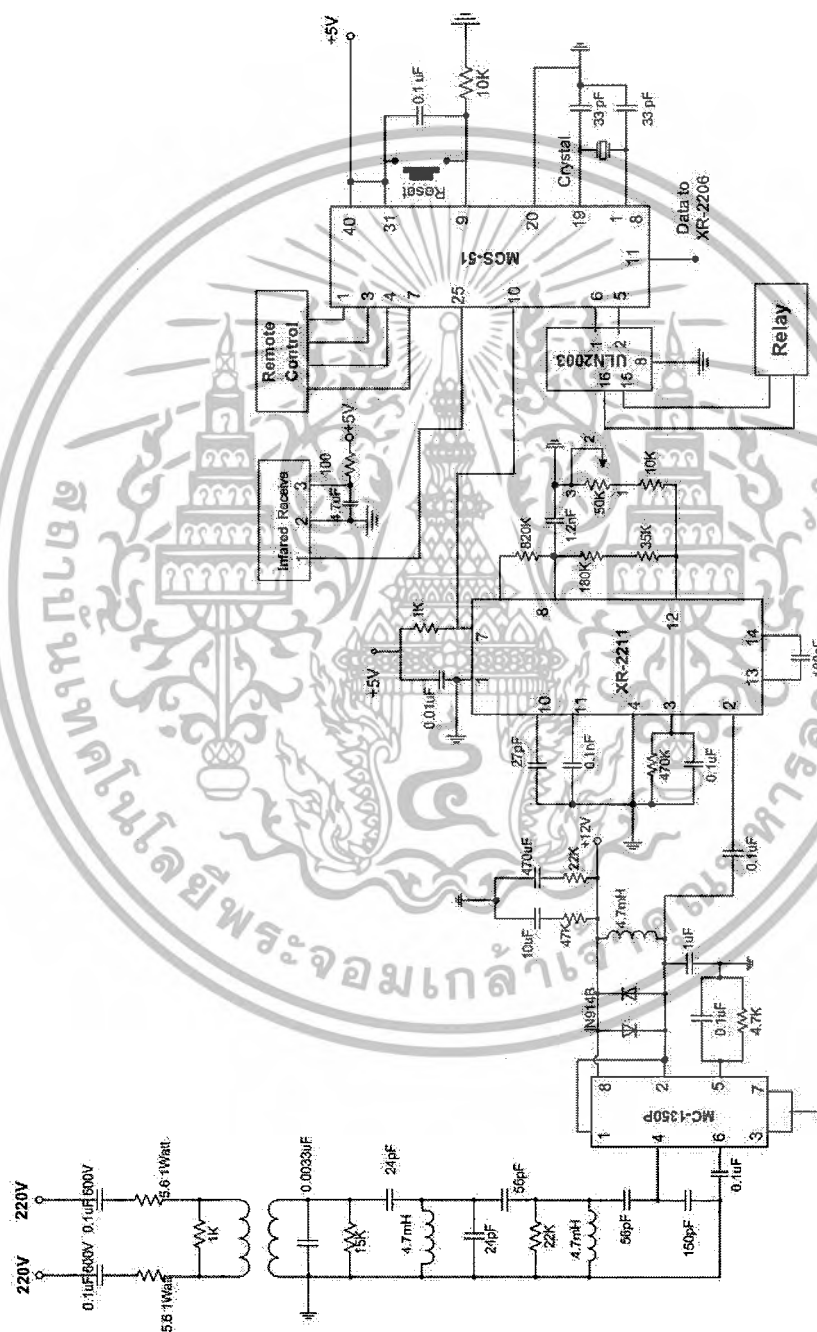


รูปที่ 3.8 วงจรเครื่องส่ง

เอกสารนี้เป็นเอกสารที่สงวนไว้สำหรับการใช้งานเพื่อการศึกษาเท่านั้น ไม่อนุญาตให้นำไปใช้ประโยชน์ด้านการค้า ไม่ว่าจะกรณีใดๆ ทั้งสิ้น อีกทั้งห้ามมิให้ดัดแปลงเนื้อหาและต้องอ้างอิงถึงเจ้าของเอกสารทุกครั้งที่มีการนำไปใช้

3.6 วงจรเครื่องรับ

จะทำการรับสัญญาณที่ส่งผ่านมาทางสายไฟฟ้า โดยการนำสัญญาณที่ได้นำไปคิมอูเลตซึ่งจะได้ข้อมูลออกมา และถูกส่งไปประมวลผลผ่านไมโครคอนโทรลเลอร์ เพื่อทำการควบคุมและตรวจสอบสถานะอุปกรณ์ไฟฟ้า จากนั้นวงจรภาคส่งของเครื่องรับก็จะทำการส่งข้อมูลสถานะของอุปกรณ์ไฟฟ้ากลับมายังเครื่องส่งเพื่อทำการแสดงผลทางหน้าจอโปรแกรม

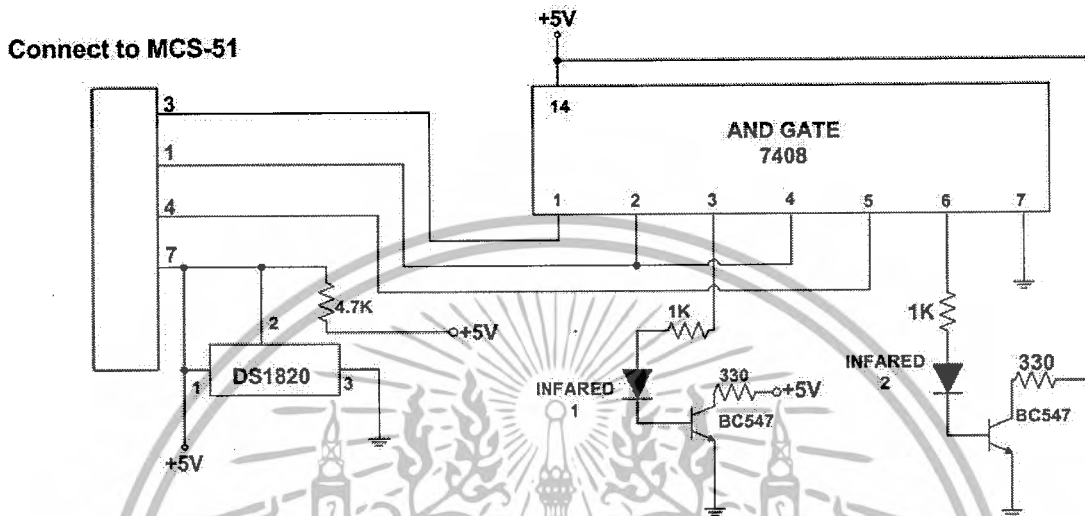


รูปที่ 3.9 วงจรเครื่องรับ

เอกสารนี้เป็นเอกสารที่สงวนไว้สำหรับการใช้งานเพื่อการศึกษาเท่านั้น ไม่อนุญาตให้นำไปใช้ประโยชน์ด้านการค้า ไม่ว่าจะกรณีใดๆ ทั้งสิ้น อีกทั้งห้ามมิให้ตัดแปลงเนื้อหาและต้องอ้างอิงถึงเจ้าของเอกสารทุกครั้งที่มีการนำไปใช้

3.7 วงจรส่วนรีโมทควบคุมอุปกรณ์ไฟฟ้า

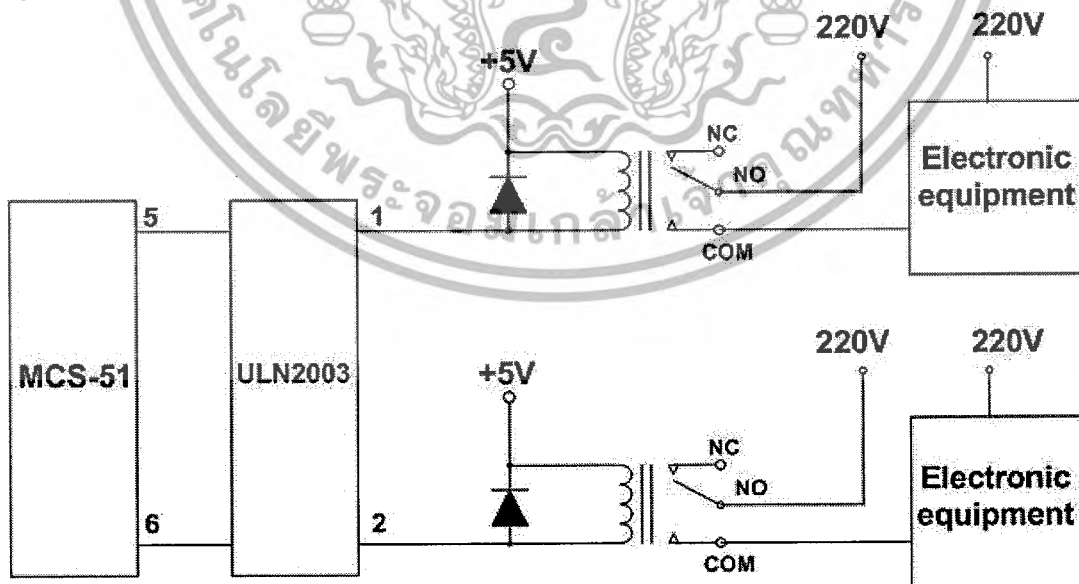
ทำการรับข้อมูลมาจากไมโครคอนโทรลเลอร์ของเครื่องรับ และทำการรวมกับคลื่นพาห์ 38 KHz ด้วย ANDGATE จากนั้นก็จะทำการควบคุมหลอดอินฟราเรดควบคุมแอร์หรือทีวีตามต้องการ นอกจากนี้จะมีส่วนของ DS1820 ทำการส่งค่าอุณหภูมิกลับไปยังไมโครคอนโทรลเลอร์เครื่องรับอีกด้วยดังรูปที่ 3.10



รูปที่ 3.10 วงจรส่วนรีโมทคอนโทรล

3.8 วงจรส่วนรีเลย์ควบคุมอุปกรณ์ไฟฟ้า

จะทำการรับข้อมูลมาจากไมโครคอนโทรลเลอร์ผ่าน ULN2003 ทำการควบคุมสวิตช์ภายในรีเลย์ ดังรูปที่ 3.11

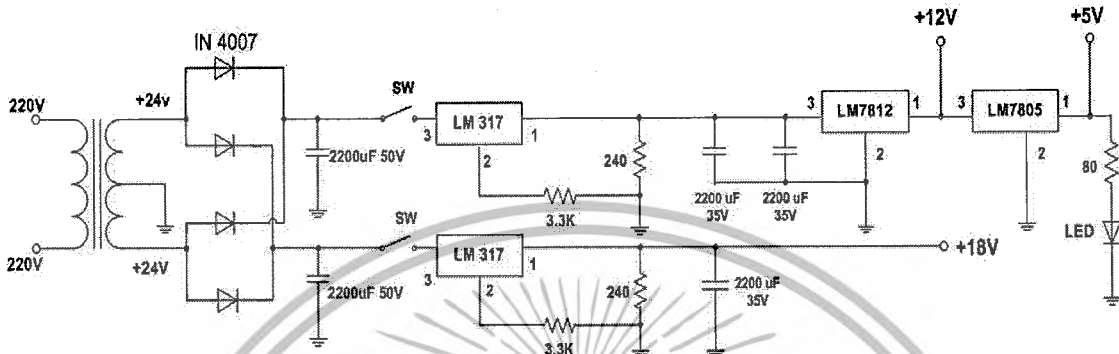


รูปที่ 3.11 วงจรส่วนรีเลย์ควบคุมอุปกรณ์ไฟฟ้า

เอกสารนี้เป็นเอกสารที่สงวนไว้สำหรับการใช้งานเพื่อการศึกษาเท่านั้น ไม่อนุญาตให้นำไปใช้ประโยชน์ด้านการค้า ไม่ว่าจะกรณีใดๆ ทั้งสิ้น อีกทั้งห้ามมิให้ดัดแปลงเนื้อหาและต้องอ้างอิงถึงเจ้าของเอกสารทุกครั้งที่มีการนำไปใช้

3.9 วงจรส่วนของแหล่งจ่ายไฟ

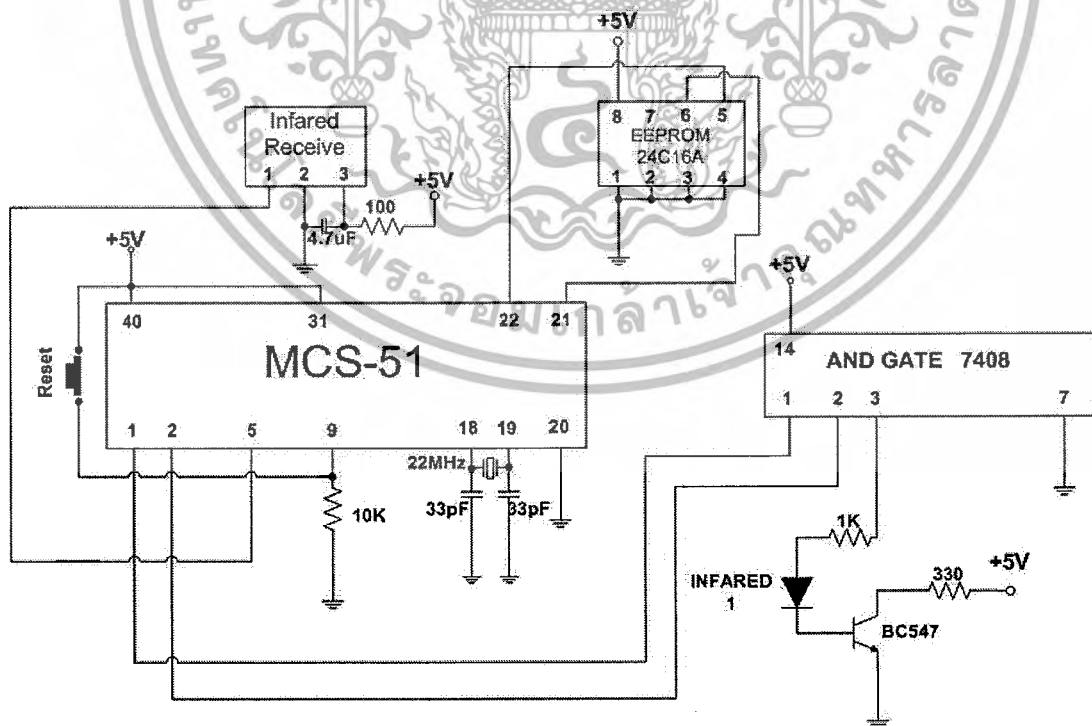
วงจรแหล่งจ่ายไฟ ทำการแปลงไฟจากหม้อแปลง 24 โวลต์ ให้กลายเป็นไฟ 18 โวลต์ 12 โวลต์ และ 5 โวลต์ เพื่อนำไปใช้ในส่วนต่างๆของวงจรทั้งเครื่องส่งและเครื่องรับ โดยจะมีหลอด LED แสดงสถานะการทำงานของวงจร ดังรูปที่ 3.12



รูปที่ 3.12 วงจรแหล่งจ่ายไฟ

3.10 วงจรตรวจสอบสถานะ

ทำการตรวจสอบสถานะของโทรทัศน์ โดยเก็บบันทึกค่าจากส่วนของวงจรส่วนรีโมทควบคุม อุปกรณ์ไฟฟ้าไว้ในหน่วยความจำอีพรอม แล้วส่งกลับมายังไมโครคอนโทรลเลอร์ของเครื่องรับ ดังรูปที่ 3.13 เพื่อทำการประมวลผลแล้วส่งกลับไปยังโปรแกรมควบคุมอุปกรณ์ไฟฟ้า



รูปที่ 3.13 วงจรตรวจสอบสถานะของโทรทัศน์

เอกสารนี้เป็นเอกสารที่สงวนไว้สำหรับการใช้งานเพื่อการศึกษาเท่านั้น ไม่อนุญาตให้นำไปใช้ประโยชน์ด้านการค้า ไม่ว่าจะกรณีใดๆ ทั้งสิ้น อีกทั้งห้ามมิให้ตัดแปลงเนื้อหาและต้องอ้างอิงถึงเจ้าของเอกสารทุกครั้งที่มีการนำไปใช้

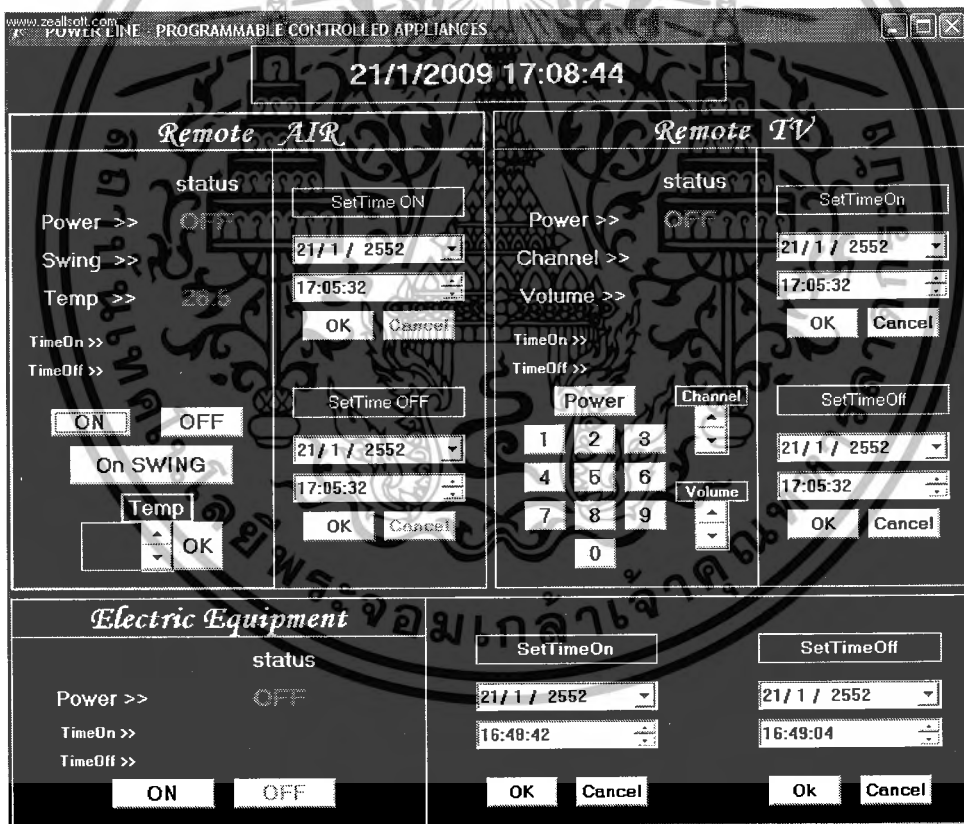
3.11 การออกแบบซอฟต์แวร์

3.11.1 การออกแบบโปรแกรมควบคุมอุปกรณ์ไฟฟ้า

โปรแกรมควบคุมอุปกรณ์ไฟฟ้านี้ออกแบบโดยใช้โปรแกรมเดลไฟล์ โดยหน้าจอโปรแกรมจะถูกแบ่งออกเป็น 3 ส่วน คือ ทีวี แอร์ และอุปกรณ์ไฟฟ้าโดยอุปกรณ์ทั้ง 3 ส่วนสามารถควบคุมการเปิด-ปิด, ตั้งเวลาการเปิด-ปิด และแสดงสถานะการทำงานได้โดยใช้การคลิกเมาส์เลือกปุ่มคำสั่งที่ผู้ใช้ต้องการ

3.11.2 ส่วนประกอบของหน้าจอโปรแกรมหลัก

ส่วนประกอบของหน้าจอหลักที่ใช้ควบคุมอุปกรณ์ไฟฟ้ามีรายละเอียดดังรูปที่ 3.14 ประกอบด้วย หน้าต่างส่วนของแอร์ซึ่งสามารถเปิด-ปิด, เพิ่ม-ลดอุณหภูมิ, เปิด-ปิดระบบswing และแสดงค่าอุณหภูมิภายในห้องได้, หน้าต่างส่วนของโทรทัศน์ซึ่งสามารถเปิด-ปิด, เปลี่ยนช่องและเพิ่ม-ลดเสียงได้ และ หน้าต่างส่วนของอุปกรณ์ไฟฟ้าซึ่งสามารถเปิด-ปิดอุปกรณ์ไฟฟ้าได้ โดยตัวโปรแกรมจะแสดงสถานะการทำงานของอุปกรณ์ไฟฟ้าทั้ง 3 ส่วนให้ผู้ใช้งานทราบทางหน้าจอของ โปรแกรม



รูปที่ 3.14 โปรแกรมควบคุมอุปกรณ์ไฟฟ้า

เอกสารนี้เป็นเอกสารที่สงวนไว้สำหรับการใช้งานเพื่อการศึกษาเท่านั้น ไม่อนุญาตให้นำไปใช้ประโยชน์ด้านการค้า ไม่ว่าจะกรณีใดๆ ทั้งสิ้น อีกทั้งห้ามมิให้ดัดแปลงเนื้อหาและต้องอ้างอิงถึงเจ้าของเอกสารทุกครั้งที่มีการนำไปใช้

3.11.3 ส่วนของรีโมทแอร์

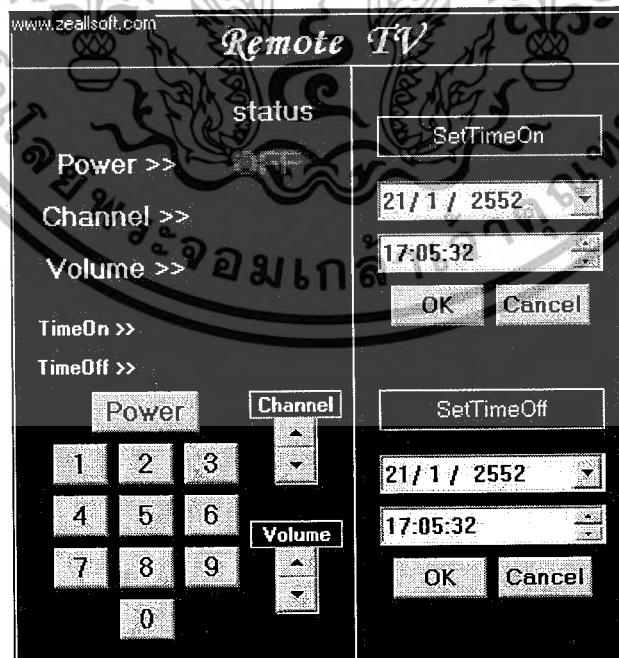
ในหน้าต่างส่วนของแอร์สามารถเปิด-ปิด, เพิ่ม-ลดอุณหภูมิ, เปิด-ปิดระบบswing และแสดงค่าอุณหภูมิภายในห้องได้ ดังรูปที่ 3.15



รูปที่ 3.15 โปรแกรมส่วนควบคุมรีโมทแอร์

3.11.4 ส่วนของรีโมททีวี

ในหน้าต่างส่วนของโทรทัศน์ซึ่งสามารถเปิด-ปิด เปลี่ยนช่องและเพิ่ม-ลดเสียงได้ มีหน้าต่างแสดงรายละเอียด ดังรูปที่ 3.16

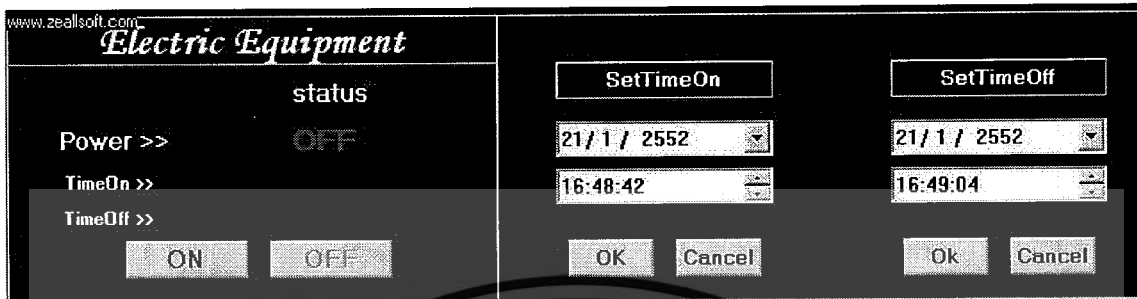


รูปที่ 3.16 โปรแกรมส่วนควบคุมรีโมททีวี

เอกสารนี้เป็นเอกสารที่สงวนไว้สำหรับการใช้งานเพื่อการศึกษาเท่านั้น ไม่อนุญาตให้นำไปใช้ประโยชน์ด้านการค้า ไม่ว่าจะกรณีใดๆ ทั้งสิ้น อีกทั้งห้ามมิให้ดัดแปลงเนื้อหาและต้องอ้างอิงถึงเจ้าของเอกสารทุกครั้งที่มีการนำไปใช้

3.11.5 ส่วนของอุปกรณ์ไฟฟ้า

ในหน้าต่างส่วนของอุปกรณ์ไฟฟ้าสามารถเปิด-ปิดอุปกรณ์ไฟฟ้าได้ มีรูปแบบ ดังรูปที่ 3.17



รูปที่ 3.17 โปรแกรมส่วนควบคุมอุปกรณ์ไฟฟ้า



เอกสารนี้เป็นเอกสารที่สงวนไว้สำหรับการใช้งานเพื่อการศึกษาเท่านั้น ไม่อนุญาตให้นำไปใช้ประโยชน์ด้านการค้าไม่ว่ากรณีใดๆ ทั้งสิ้น อีกทั้งห้ามมิให้ตัดแปลงเนื้อหาและต้องอ้างอิงถึงเจ้าของเอกสารทุกครั้งที่มีการนำไปใช้

บทที่ 4

ผลการทดลอง และวิเคราะห์ผลการทดลอง

4.1 อุปกรณ์ที่ใช้ในการทดลอง

- 4.1.1 ออสซิลโลสโคป
- 4.1.2 หม้อแปลงไฟฟ้า
- 4.1.3 เครื่องคอมพิวเตอร์
- 4.1.4 ชุดเครื่องส่งและชุดเครื่องรับ
- 4.1.5 แอร์
- 4.1.8 ทวี

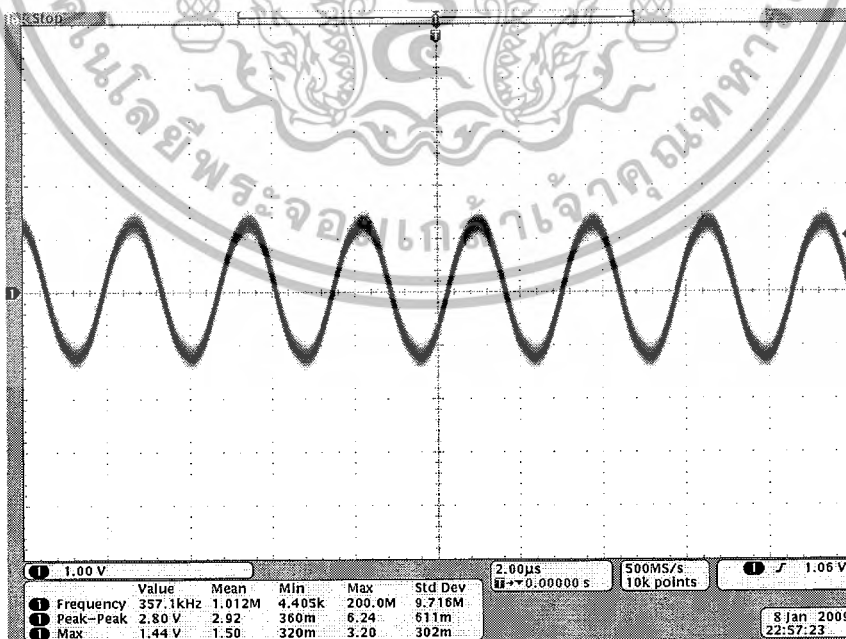
4.2 การทดลองและผลการทดลอง

ทำการทดลอง โดยเชื่อมต่อเครื่องส่งเข้ากับคอมพิวเตอร์ผ่านทางพอร์ตอนุกรม และอีกด้านของวงจรต่อเข้ากับหม้อแปลงไฟฟ้าแล้วต่อกับสายไฟบ้าน ทางด้านเครื่องรับก็จะต่อกับหม้อแปลงที่เชื่อมต่อกับสายไฟบ้านเช่นเดียวกัน

เริ่มการทดลองโดยการคลิกปุ่มคำสั่งบน โปรแกรมควบคุมอุปกรณ์ไฟฟ้า ทำการส่งข้อมูลไปยังเครื่องส่งและเครื่องส่งก็จะทำการส่งข้อมูลไปกับสายไฟบ้านไปยังเครื่องรับ เครื่องรับก็จะประมวลผลข้อมูลและควบคุมอุปกรณ์ไฟฟ้าตามข้อมูลที่ได้รับ จากนั้นจะส่งค่าสถานะของอุปกรณ์ไฟฟ้ากลับไปยังเครื่องส่งเพื่อแสดงผลทางหน้าจอ โปรแกรมควบคุมอุปกรณ์ไฟฟ้า

ผลการทดลอง

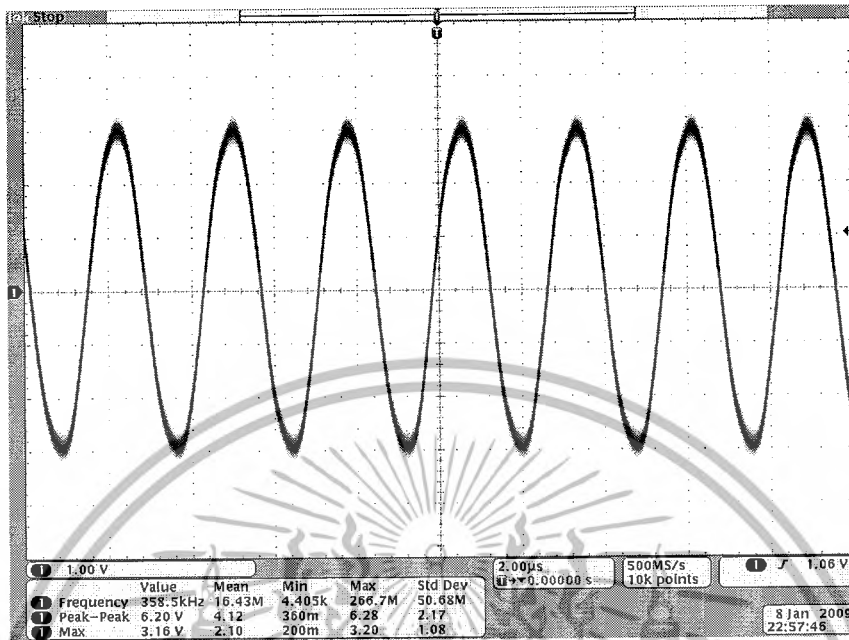
1. ทำการวัดสัญญาณคลื่นพาห์ที่ขา 2 ของไอซี XR-2206 ความถี่ 350 กิโลเฮิร์ตซ์ได้ดังรูปที่ 4.1



รูปที่ 4.1 สัญญาณคลื่นพาห์ที่ความถี่ 350 กิโลเฮิร์ตซ์ จากวงจร FSK Generator

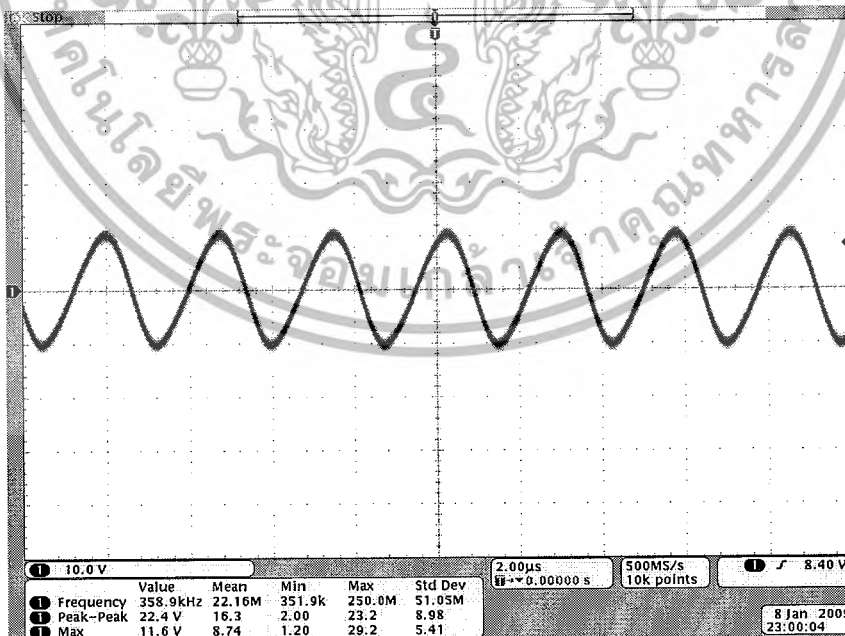
เอกสารนี้เป็นเอกสารที่สงวนไว้สำหรับการใช้งานเพื่อการศึกษาเท่านั้น ไม่อนุญาตให้นำไปใช้ประโยชน์ด้านการค้าไม่ว่ากรณีใดๆ ทั้งสิ้น อีกทั้งห้ามมิให้ดัดแปลงเนื้อหาและต้องอ้างอิงถึงเจ้าของเอกสารทุกครั้งที่มีการนำไปใช้

2. ทำการวัดสัญญาณคลื่นพาห์ที่ถูกขยายจากทรานซิสเตอร์ 2N3904 ที่มีความถี่ 350 กิโลเฮิรตซ์ ได้ดังรูปที่ 4.2



รูปที่ 4.2 สัญญาณคลื่นพาห์ที่ถูกขยายจากทรานซิสเตอร์ 2N3904 ที่มีความถี่ 350 กิโลเฮิรตซ์

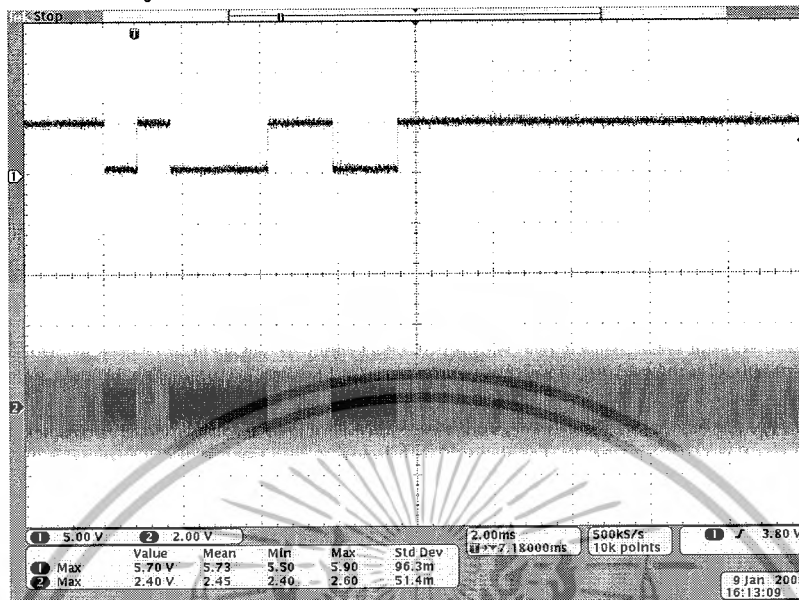
3. ทำการวัดสัญญาณคลื่นพาห์ที่ถูกขยายจากทรานซิสเตอร์ TIP41C แล้วผ่านขา 3 ของขดลวด L2 ที่มีความถี่ 350 กิโลเฮิรตซ์ ได้ดังรูปที่ 4.3



รูปที่ 4.3 สัญญาณคลื่นพาห์ที่ถูกขยายจากทรานซิสเตอร์ TIP41C แล้วผ่านขา 3 ของขดลวด L2

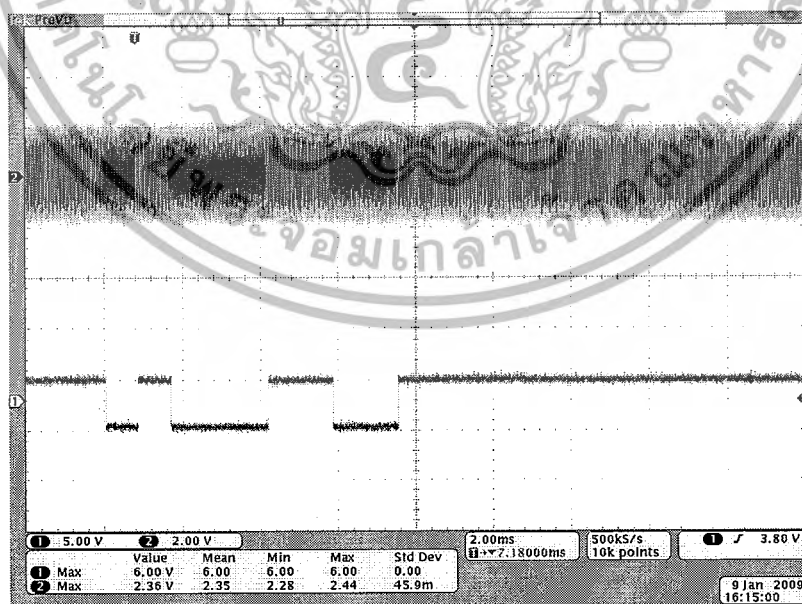
เอกสารนี้เป็นเอกสารที่สงวนไว้สำหรับการใช้งานเพื่อการศึกษาเท่านั้น ไม่อนุญาตให้นำไปใช้ประโยชน์ด้านการค้า ไม่ว่าจะกรณีใดๆ ทั้งสิ้น อีกทั้งห้ามมิให้ดัดแปลงเนื้อหาและต้องอ้างอิงถึงเจ้าของเอกสารทุกครั้งที่มีการนำไปใช้

4. ทำการวัดสัญญาณเปรียบเทียบระหว่างสัญญาณจากไอซี MAX-232 ที่ขา 9 กับสัญญาณจากวงจร FSK Generator ได้ดังรูปที่ 4.4



รูปที่ 4.4 แชนแนล 1 เป็นสัญญาณจากไอซี MAX-232 ที่ขา 9 เปรียบเทียบกับแชนแนล 2 เป็นสัญญาณจากวงจร FSK Generator

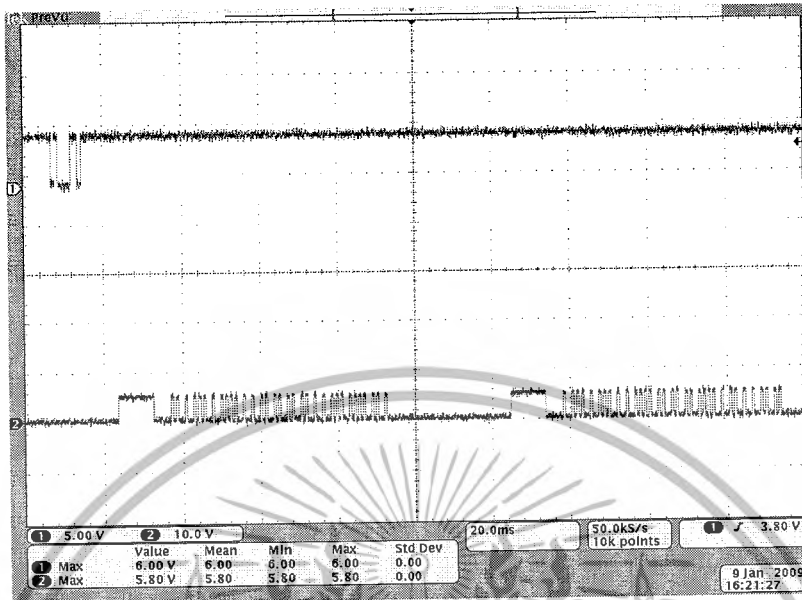
5. ทำการวัดสัญญาณเปรียบเทียบระหว่างสัญญาณจากวงจร FSK Generator กับสัญญาณที่ออกจากวงจร FSK demodulation ได้ดังรูปที่ 4.5



รูปที่ 4.5 แชนแนล 1 เป็นสัญญาณจากวงจร FSK Generator เปรียบเทียบกับแชนแนล 2 เป็นสัญญาณที่ออกจากวงจร FSK demodulation

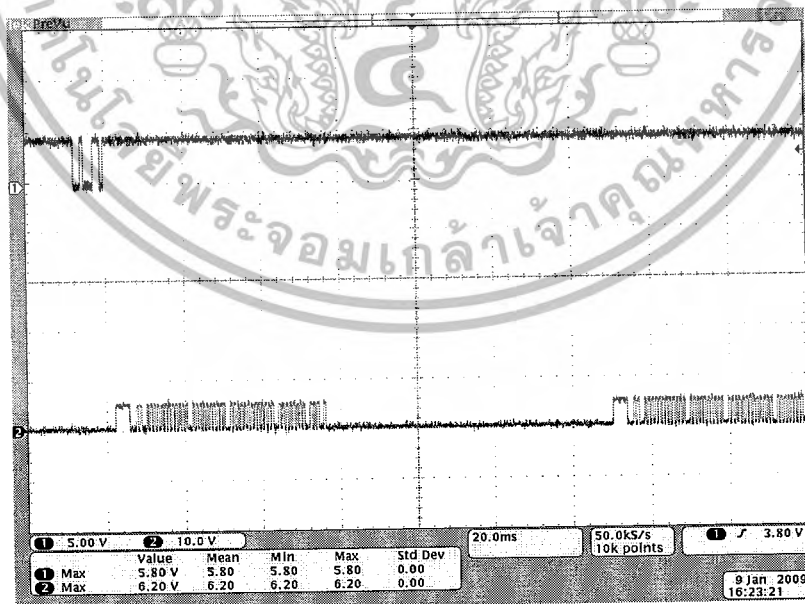
เอกสารนี้เป็นเอกสารที่สงวนไว้สำหรับการใช้งานเพื่อการศึกษาเท่านั้น ไม่อนุญาตให้นำไปใช้ประโยชน์ด้านการค้าไม่ว่ากรณีใดๆ ทั้งสิ้น อีกทั้งห้ามมิให้ตัดแปลงเนื้อหาและต้องอ้างอิงถึงเจ้าของเอกสารทุกครั้งที่มีการนำไปใช้

6. ทำการวัดสัญญาณเปรียบเทียบระหว่างสัญญาณที่ออกจากวงจร FSK demodulation กับสัญญาณที่ออกจากไมโครคอนโทรลเลอร์ MCS-51 ฝั่งรับ ที่ส่งเป็นสัญญาณรีโมทแอร์ดังรูปที่ 4.6



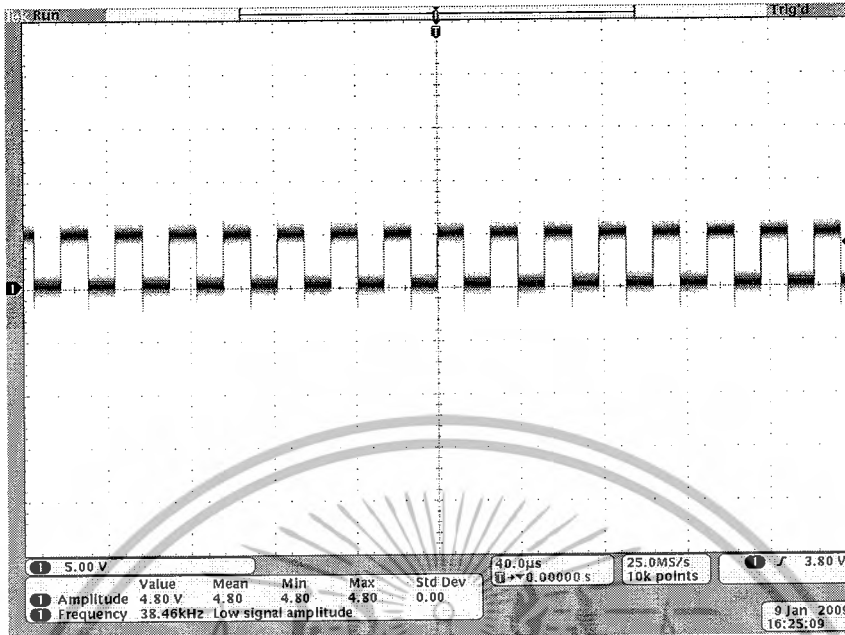
รูปที่ 4.6 แชนแนล 1 เป็นสัญญาณที่ออกจากวงจร FSK demodulation เปรียบเทียบกับแชนแนล 2 เป็นสัญญาณที่ออกจากไมโครคอนโทรลเลอร์ MCS-51 ฝั่งรับ ที่ส่งเป็นสัญญาณรีโมทแอร์

7. ทำการวัดสัญญาณเปรียบเทียบระหว่างสัญญาณที่ออกจากวงจร FSK demodulation กับสัญญาณที่ออกจากไมโครคอนโทรลเลอร์ MCS-51 ฝั่งรับ ที่ส่งเป็นสัญญาณรีโมทแอร์ดังรูปที่ 4.7



รูปที่ 4.7 แชนแนล 1 เป็นสัญญาณที่ออกจากวงจร FSK demodulation เปรียบเทียบกับแชนแนล 2 เป็นสัญญาณที่ออกจากไมโครคอนโทรลเลอร์ MCS-51 ฝั่งรับ ที่ส่งเป็นสัญญาณรีโมทแอร์
เอกสารนี้เป็นเอกสารที่สงวนไว้สำหรับการใช้งานเพื่อการศึกษาเท่านั้น ไม่อนุญาตให้นำไปใช้ประโยชน์ด้านการค้า
ไม่ว่ากรณีใดๆ ทั้งสิ้น อีกทั้งห้ามมิให้ดัดแปลงเนื้อหาและต้องอ้างอิงถึงเจ้าของเอกสารทุกครั้งที่มีการนำไปใช้

8. ทำการวัดสัญญาณคลื่นพาห์แบบพัลส์ 38 กิโลเฮิร์ตซ์ ของการส่งอินฟาเรดได้ดังรูปที่ 4.8



รูปที่ 4.8 สัญญาณคลื่นพาห์แบบพัลส์ 38 กิโลเฮิร์ตซ์ ของการส่งอินฟาเรด

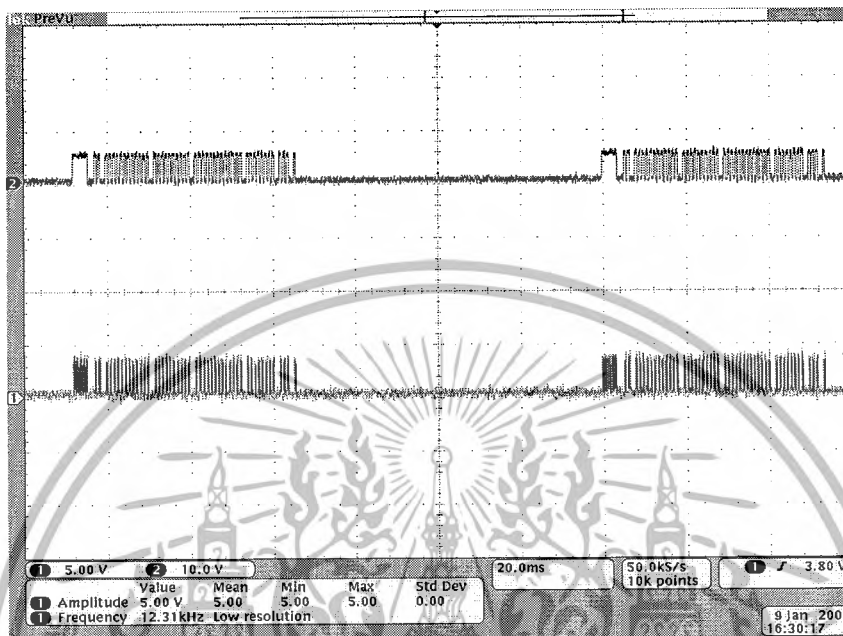
9. ทำการวัดสัญญาณเปรียบเทียบระหว่างสัญญาณควบคุมรีโมทแอร์จากไมโครคอนโทรลเลอร์ MCS-51 ฝั่งรับ กับสัญญาณที่ทำการรวมโดยไอซี HD74LS08 กับคลื่นพาห์แบบพัลส์ 38 กิโลเฮิร์ตซ์ ดังรูปที่ 4.9



รูปที่ 4.9 แชนแนล 1 เป็นสัญญาณควบคุมรีโมทแอร์จากไมโครคอนโทรลเลอร์ MCS-51เปรียบเทียบกับ

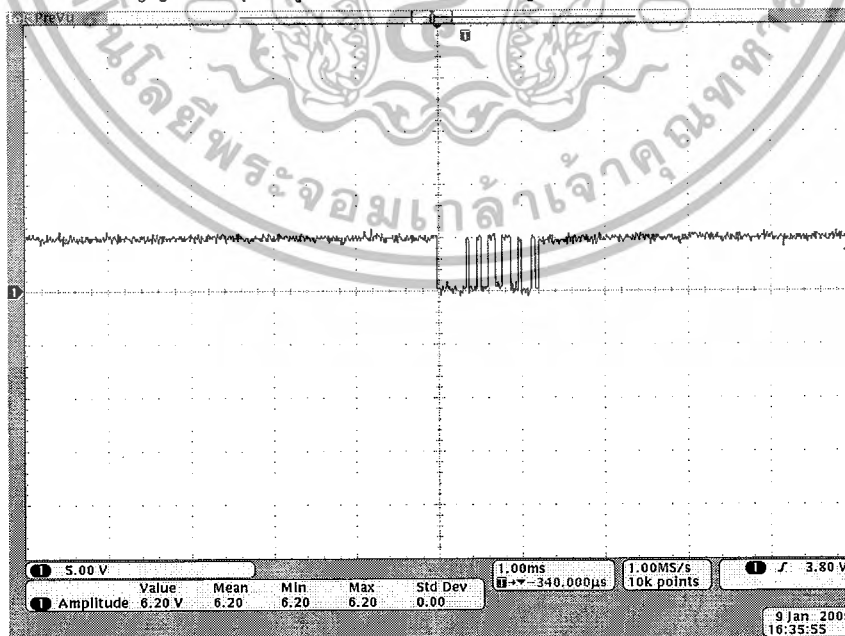
แชนแนล 2 เป็นสัญญาณที่ทำการรวมโดยไอซี HD74LS08 กับคลื่นพาห์แบบพัลส์ 38 กิโลเฮิร์ตซ์ เอกสารนี้เป็นเอกสารลิขสิทธิ์ของ บริษัท อีทีอี จำกัด เมื่อผู้ใดเห็นเอกสารนี้เป็นการค้า ไม่ว่าจะกรณีใดๆ ทั้งสิ้น อีกทั้งห้ามมิให้ดัดแปลงเนื้อหาและต้องอ้างอิงถึงเจ้าของเอกสารทุกครั้งที่มีการนำไปใช้

10. ทำการวัดสัญญาณเปรียบเทียบระหว่างสัญญาณควบคุมรีโมททีวีจากไมโครคอนโทรลเลอร์ MCS-51 ฝั่งรับ กับสัญญาณที่ทำการรวมโดยไอซี HD74LS08 กับคลื่นพาห์แบบพัลส์ 38 กิโลเฮิร์ตซ์ ดังรูปที่ 4.10



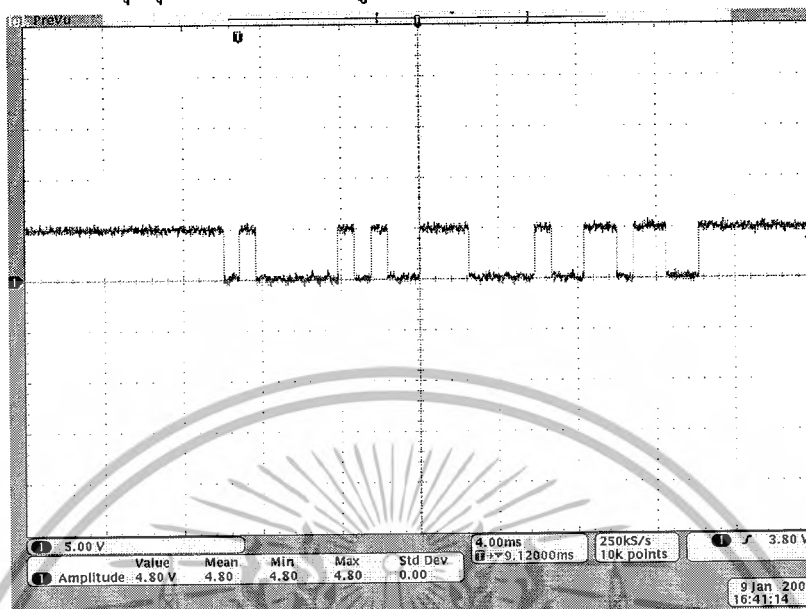
รูปที่ 4.10 แชนแนล 1 เป็นสัญญาณควบคุมรีโมททีวีจากไมโครคอนโทรลเลอร์ MCS-51 เปรียบเทียบกับ แชนแนล 2 เป็นสัญญาณที่ทำการรวมโดยไอซี HD74LS08 กับคลื่นพาห์แบบพัลส์ 38 กิโลเฮิร์ตซ์

11. ทำการวัดสัญญาณค่าอุณหภูมิจาก DS1820 ได้ดังรูปที่ 4.11



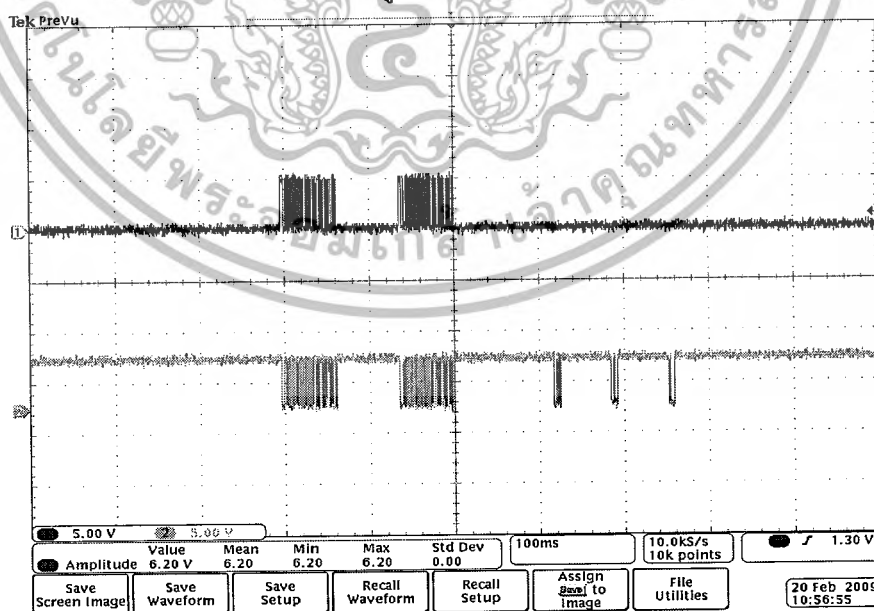
เอกสารนี้เป็นเอกสารที่สงวนไว้สำหรับกรณีสืบค้นเอกสารเท่านั้น ไม่อนุญาตให้นำไปใช้ประโยชน์ด้านการค้า ไม่ว่ากรณีใดๆ ทั้งสิ้น อีกทั้งห้ามมิให้ดัดแปลงเนื้อหาและต้องอ้างอิงถึงเจ้าของเอกสารทุกครั้งที่มีการนำไปใช้

12. ทำการวัดสัญญาณจากไมโครคอนโทรลเลอร์ MCS-51 ของเครื่องรับซึ่งเป็นสัญญาณที่ถูกส่งกลับไปยังโปรแกรมควบคุมอุปกรณ์ไฟฟ้าได้ดังรูปที่ 4.12



รูปที่ 4.12 สัญญาณจากไมโครคอนโทรลเลอร์ MCS-51 ของเครื่องรับซึ่งเป็นสัญญาณที่ถูกส่งกลับไปยังโปรแกรมควบคุมอุปกรณ์ไฟฟ้า

13. ทำการวัดสัญญาณเปรียบเทียบระหว่างสัญญาณอินฟราเรดของเครื่องรับที่ส่งไปยังโทรทัศน์ที่มีตัวตรวจสอบสถานะติคอยู่ กับสัญญาณอินฟราเรดของตัวตรวจสอบสถานะที่ส่งกลับมายังไมโครคอนโทรลเลอร์ MCS-51 ของเครื่องรับได้ดังรูปที่ 4.13



รูปที่ 4.13 สัญญาณอินฟราเรดของเครื่องรับที่ส่งไปยังโทรทัศน์ที่มีตัวตรวจสอบสถานะติคอยู่เปรียบเทียบกับสัญญาณอินฟราเรดของตัวตรวจสอบสถานะที่ส่งกลับมายัง

ไมโครคอนโทรลเลอร์ MCS-51
เอกสารนี้เป็นเอกสารที่สงวนไว้สำหรับการใช้งานเพื่อการศึกษาเท่านั้น ไม่อนุญาตให้นำไปใช้ประโยชน์ด้านการค้า
ไม่ว่ากรณีใดๆ ทั้งสิ้น อีกทั้งห้ามมิให้ดัดแปลงเนื้อหาและต้องอ้างอิงถึงเจ้าของเอกสารทุกครั้งที่มีการนำไปใช้

บทที่ 5

สรุปผลและวิจารณ์การทดลอง

5.1 บทสรุป

ปริณญาณิพนธ์นี้นำเสนอเครื่องควบคุมอุปกรณ์ไฟฟ้าผ่านสายไฟบ้านแบบโปรแกรมได้ เพื่อประโยชน์ในควบคุมจากจุดเดียวกัน โดยเมื่อผู้ใช้นั่งทำงานอยู่หน้าจอคอมพิวเตอร์ภายในห้อง แล้วต้องการที่จะควบคุมอุปกรณ์ไฟฟ้า เช่น เปิด - ปิดแอร์ ทีวี หรืออุปกรณ์ไฟฟ้าต่างๆ ก็สามารถทำได้โดยทันทีจากการใช้โปรแกรมควบคุมอุปกรณ์ไฟฟ้า อีกทั้งสามารถทราบสถานะการทำงานของอุปกรณ์ตัวนั้นๆ ได้ โดยไม่ต้องลุกออกจากที่นั่งไปควบคุมที่ตัวอุปกรณ์ ถือเป็นการอำนวยความสะดวกแก่ผู้ใช้งานเป็นอย่างมาก

5.2 ปัญหาและอุปสรรค

1. ต้องใช้ช่วงความถี่ที่เหมาะสม จึงจะทำการส่งข้อมูลผ่านสายไฟได้อย่างถูกต้อง ไม่ผิดพลาด
2. การดิมอคูเลตของไอซี XR2211 ต้องใช้ค่าความต้านทานที่เหมาะสมในแต่ละระยะทางที่ทำการรับ-ส่งข้อมูล ซึ่งทำการปรับได้ยาก
3. การรับ-ส่งข้อมูล มีจำนวนข้อมูลเยอะ ซึ่งเกิดความผิดพลาดได้บ่อยครั้ง เมื่อเกิดความผิดพลาดจะทำให้ในส่วนของโปรแกรมควบคุมอุปกรณ์ไฟฟ้าแสดงค่าผิดออกทางหน้าจอคอมพิวเตอร์
4. การออกแบบวงจรมีความยุ่งยาก อุปกรณ์ที่ใช้มีจำนวนมาก

5.3 การแก้ไขปัญหา

1. ต้องคำนวณค่าของอุปกรณ์ต่างๆ ให้ละเอียด เพื่อให้ได้ช่วงความถี่ที่เหมาะสม
2. ใช้ค่าความต้านทานแบบละเอียด และบันทึกค่าความต้านทาน ในแต่ละกรณี
3. พยายามลดจำนวนข้อมูลให้น้อยลงเพื่อลดความผิดพลาด
4. ออกแบบวงจรทีละส่วน แล้วค่อยนำมารวมกัน

เอกสารนี้เป็นเอกสารที่สงวนไว้สำหรับการใช้งานเพื่อการศึกษาเท่านั้น ไม่อนุญาตให้นำไปใช้ประโยชน์ด้านการค้าไม่ว่ากรณีใดๆ ทั้งสิ้น อีกทั้งห้ามมิให้ตัดแปลงเนื้อหาและต้องอ้างอิงถึงเจ้าของเอกสารทุกครั้งที่มีการนำไปใช้

กิตติกรรมประกาศ

ขอขอบพระคุณ ผศ.ดร. พิพัฒน์ พรหมมี เป็นอย่างสูงที่ได้ช่วยแนะนำให้คำปรึกษาในการทำ
โครงการนี้ ตลอดจนคณาจารย์ทุกท่านที่ได้ให้การอบรมสั่งสอนแก่ผู้จัดทำโครงการนี้ และเจ้าหน้าที่
ภาควิชาวิศวกรรมโทรคมนาคมทุกท่านที่มีส่วนช่วยเหลือในการโครงการให้สำเร็จลุล่วงไปด้วยดี และ
ห้องสมุดคณะวิศวกรรมศาสตร์ที่ทำให้ได้มีแนวความคิดในการทำโครงการนี้ และรุ่นพี่ผู้ให้คำปรึกษา
และการช่วยเหลือในการทำโครงการนี้มาตลอด

คณะผู้จัดทำ



เอกสารนี้เป็นเอกสารที่สงวนไว้สำหรับการใช้งานเพื่อการศึกษาเท่านั้น ไม่อนุญาตให้นำไปใช้ประโยชน์ด้านการค้า
ไม่ว่ากรณีใดๆ ทั้งสิ้น อีกทั้งห้ามมิให้ตัดแปลงเนื้อหาและต้องอ้างอิงถึงเจ้าของเอกสารทุกครั้งที่มีการนำไปใช้

หนังสืออ้างอิง

- [1] วรพจน์ กรแก้ววัฒนกุล,ชัยวัฒน์ ลิ้มพรจิตรวิไล, *เรียนรู้และปฏิบัติการไมโครคอนโทรลเลอร์ MCS-51 ฉบับ AT89C5X/AT895XXXX*,ปรับปรุงครั้งที่ 4, บริษัท อินโนเวตีฟ เอ็กเพอริเมนต์ ,กรุงเทพฯ
- [2] วิวัฒน์ กิรานนท์ , *วิศวกรรมการสื่อสาร*,พิมพ์ครั้งที่ 1,สถาบันเทคโนโลยีพระจอมเกล้าเจ้าคุณทหารลาดกระบัง , 2540
- [3] สมยศ จุณณะปิยะ, *การประยุกต์ใช้งานไมโครคอนโทรลเลอร์*,พิมพ์ครั้งที่ 5,สถาบันเทคโนโลยีพระจอมเกล้าเจ้าคุณทหารลาดกระบัง , 2546
- [4] จักรพงษ์ สุขประเสริฐ และ สัจจะ จรัสรุ่งรวีร, *เรียนรู้พื้นฐานการเขียนโปรแกรมแบบ Step by Step กับ Delphi 7 แบบง่าย พร้อมเทคนิคน่ารู้ต่างๆ*, สำนักพิมพ์ Dev Book, (19 ม.ค. 2549)



เอกสารนี้เป็นเอกสารที่สงวนไว้สำหรับการใช้งานเพื่อการศึกษาเท่านั้น ไม่อนุญาตให้นำไปใช้ประโยชน์ด้านการค้า
ไม่ว่ากรณีใดๆ ทั้งสิ้น อีกทั้งห้ามมิให้ตัดแปลงเนื้อหาและต้องอ้างอิงถึงเจ้าของเอกสารทุกครั้งที่มีการนำไปใช้



ภาคผนวก

เอกสารนี้เป็นเอกสารที่สงวนไว้สำหรับการใช้งานเพื่อการศึกษาเท่านั้น ไม่อนุญาตให้นำไปใช้ประโยชน์ด้านการค้า
ไม่ว่ากรณีใดๆ ทั้งสิ้น อีกทั้งห้ามมิให้ดัดแปลงเนื้อหาและต้องอ้างอิงถึงเจ้าของเอกสารทุกครั้งที่มีการนำไปใช้



เอกสารนี้เป็นเอกสารที่สงวนไว้สำหรับการใช้งานเพื่อการศึกษาเท่านั้น ไม่อนุญาตให้นำไปใช้ประโยชน์ด้านการค้า
ไม่ว่ากรณีใดๆ ทั้งสิ้น อีกทั้งห้ามมิให้ตัดแปลงเนื้อหาและต้องอ้างอิงถึงเจ้าของเอกสารทุกครั้งที่มีการนำไปใช้

FEATURES

- Low-Sine Wave Distortion, 0.5%, Typical
- Excellent Temperature Stability, 20ppm/°C, Typ.
- Wide Sweep Range, 2000:1, Typical
- Low-Supply Sensitivity, 0.01%V, Typ.
- Linear Amplitude Modulation
- TTL Compatible FSK Controls
- Wide Supply Range, 10V to 26V
- Adjustable Duty Cycle, 1% TO 99%

APPLICATIONS

- Waveform Generation
- Sweep Generation
- AM/FM Generation
- V/F Conversion
- FSK Generation
- Phase-Locked Loops (VCO)

GENERAL DESCRIPTION

The XR-2206 is a monolithic function generator integrated circuit capable of producing high quality sine, square, triangle, ramp, and pulse waveforms of high-stability and accuracy. The output waveforms can be both amplitude and frequency modulated by an external voltage. Frequency of operation can be selected externally over a range of 0.01Hz to more than 1MHz.

The circuit is ideally suited for communications, instrumentation, and function generator applications requiring sinusoidal tone, AM, FM, or FSK generation. It has a typical drift specification of 20ppm/°C. The oscillator frequency can be linearly swept over a 2000:1 frequency range with an external control voltage, while maintaining low distortion.

ORDERING INFORMATION

Part No.	Package	Operating Temperature Range
XR-2206M	16 Lead 300 Mil CDIP	-55°C to +125°C
XR-2206P	16 Lead 300 Mil PDIP	-40°C to +85°C
XR-2206CP	16 Lead 300 Mil PDIP	0°C to +70°C
XR-2206D	16 Lead 300 Mil JEDEC SOIC	0°C to +70°C

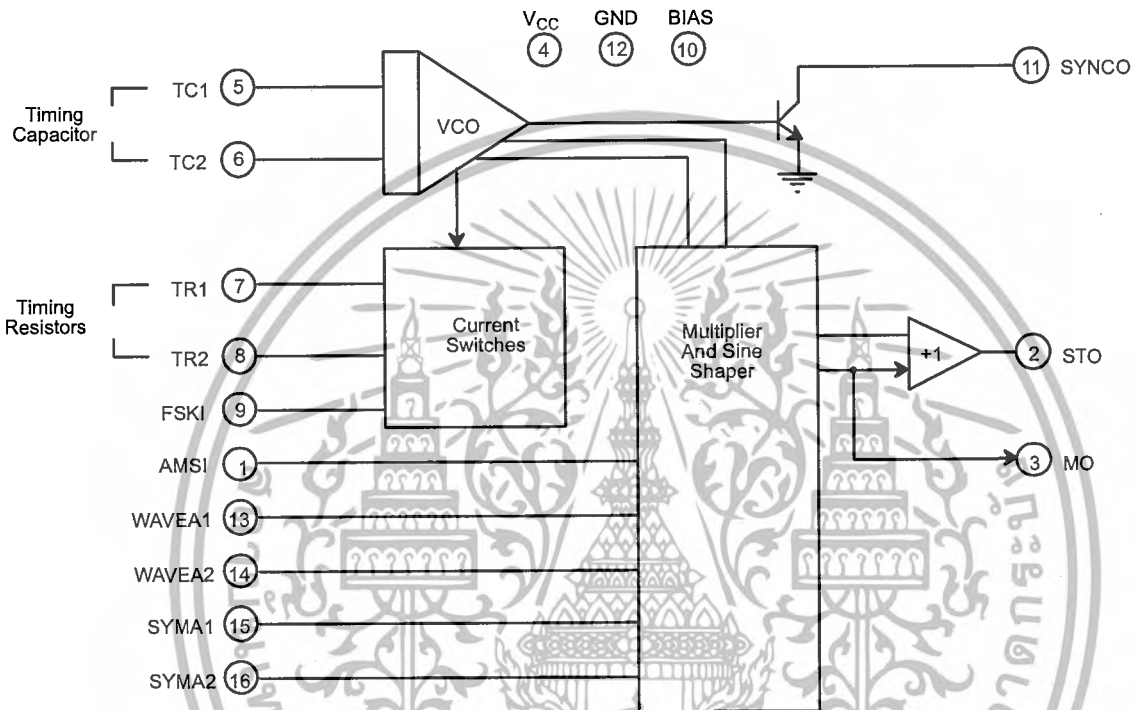
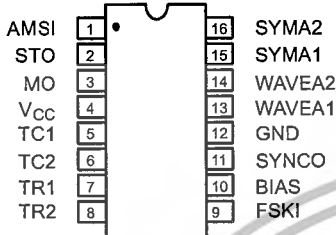
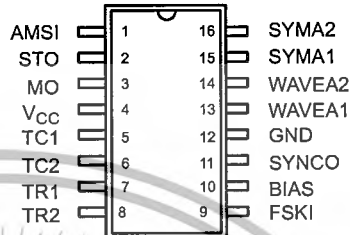


Figure 1. XR-2206 Block Diagram



16 Lead PDIP, CDIP (0.300")



16 Lead SOIC (Jedec, 0.300")

PIN DESCRIPTION

Pin #	Symbol	Type	Description
1	AMSI	I	Amplitude Modulating Signal Input.
2	STO	O	Sine or Triangle Wave Output.
3	MO	O	Multiplier Output.
4	V _{CC}		Positive Power Supply.
5	TC1	I	Timing Capacitor Input.
6	TC2	I	Timing Capacitor Input.
7	TR1	O	Timing Resistor 1 Output.
8	TR2	O	Timing Resistor 2 Output.
9	FSKI	I	Frequency Shift Keying Input.
10	BIAS	O	Internal Voltage Reference.
11	SYNCO	O	Sync Output. This output is a open collector and needs a pull up resistor to V _{CC} .
12	GND		Ground pin.
13	WAVEA1	I	Wave Form Adjust Input 1.
14	WAVEA2	I	Wave Form Adjust Input 2.
15	SYMA1	I	Wave Symetry Adjust 1.
16	SYMA2	I	Wave Symetry Adjust 2.

DC ELECTRICAL CHARACTERISTICS

Test Conditions: Test Circuit of *Figure 2* $V_{CC} = 12V$, $T_A = 25^\circ C$, $C = 0.01\mu F$, $R_1 = 100k\Omega$, $R_2 = 10k\Omega$, $R_3 = 25k\Omega$
 Unless Otherwise Specified. S_1 open for triangle, closed for sine wave.

Parameters	XR-2206M/P			XR-2206CP/D			Units	Conditions
	Min.	Typ.	Max.	Min.	Typ.	Max.		
General Characteristics								
Single Supply Voltage	10		26	10		26	V	
Split-Supply Voltage	± 5		± 13	± 5		± 13	V	
Supply Current		12	17		14	20	mA	$R_1 \geq 10k\Omega$
Oscillator Section								
Max. Operating Frequency	0.5	1		0.5	1		MHz	$C = 1000pF$, $R_1 = 1k\Omega$
Lowest Practical Frequency		0.01			0.01		Hz	$C = 50\mu F$, $R_1 = 2M\Omega$
Frequency Accuracy		± 1	± 4		± 2		% of f_0	$f_0 = 1/R_1C$
Temperature Stability Frequency		± 10	± 50		± 20		ppm/ $^\circ C$	$0^\circ C \leq T_A \leq 70^\circ C$ $R_1 = R_2 = 20k\Omega$
Sine Wave Amplitude Stability ²		4800			4800		ppm/ $^\circ C$	
Supply Sensitivity		0.01	0.1		0.01		%/V	$V_{LOW} = 10V$, $V_{HIGH} = 20V$, $R_1 = R_2 = 20k\Omega$
Sweep Range	1000:1	2000:1			2000:1		$f_H = f_L$	$f_H @ R_1 = 1k\Omega$ $f_L @ R_1 = 2M\Omega$
Sweep Linearity								
10:1 Sweep		2			2		%	$f_L = 1kHz$, $f_H = 10kHz$
1000:1 Sweep		8			8		%	$f_L = 100Hz$, $f_H = 100kHz$
FM Distortion		0.1			0.1		%	$\pm 10\%$ Deviation
Recommended Timing Components								
Timing Capacitor: C	0.001		100	0.001		100	μF	<i>Figure 5</i>
Timing Resistors: R_1 & R_2	1		2000	1		2000	k Ω	
Triangle Sine Wave Output¹								
<i>Figure 3</i>								
Triangle Amplitude		160			160		mV/k Ω	<i>Figure 2</i> , S_1 Open
Sine Wave Amplitude	40	60	80		60		mV/k Ω	<i>Figure 2</i> , S_1 Closed
Max. Output Swing		6			6		Vp-p	
Output Impedance		600			600		Ω	
Triangle Linearity		1			1		%	
Amplitude Stability		0.5			0.5		dB	For 1000:1 Sweep
Sine Wave Distortion								
Without Adjustment		2.5			2.5		%	$R_1 = 30k\Omega$
With Adjustment		0.4	1.0		0.5	1.5	%	See <i>Figure 7</i> and <i>Figure 8</i>

Notes

¹ Output amplitude is directly proportional to the resistance, R_3 , on Pin 3. See *Figure 3*.

² For maximum amplitude stability, R_3 should be a positive temperature coefficient resistor.

Bold face parameters are covered by production test and guaranteed over operating temperature range.

DC ELECTRICAL CHARACTERISTICS (CONT'D)

Parameters	XR-2206M/P			XR-2206CP/D			Units	Conditions
	Min.	Typ.	Max.	Min.	Typ.	Max.		
Amplitude Modulation								
Input Impedance	50	100		50	100		kΩ	
Modulation Range		100			100		%	
Carrier Suppression		55			55		dB	
Linearity		2			2		%	For 95% modulation
Square-Wave Output								
Amplitude		12			12		Vp-p	Measured at Pin 11.
Rise Time		250			250		ns	C _L = 10pF
Fall Time		50			50		ns	C _L = 10pF
Saturation Voltage		0.2	0.4		0.2	0.6	V	I _L = 2mA
Leakage Current		0.1	20		0.1	100	μA	V _{CC} = 26V
FSK Keying Level (Pin 9)	0.8	1.4	2.4	0.8	1.4	2.4	V	See section on circuit controls
Reference Bypass Voltage	2.9	3.1	3.3	2.5	3	3.5	V	Measured at Pin 10.

Notes

¹ Output amplitude is directly proportional to the resistance, R₃, on Pin 3. See Figure 3.

² For maximum amplitude stability, R₃ should be a positive temperature coefficient resistor.

Bold face parameters are covered by production test and guaranteed over operating temperature range.

Specifications are subject to change without notice

ABSOLUTE MAXIMUM RATINGS

Power Supply	26V	Total Timing Current	6mA
Power Dissipation	750mW	Storage Temperature	-65°C to +150°C
Derate Above 25°C	5mW/°C		

SYSTEM DESCRIPTION

The XR-2206 is comprised of four functional blocks; a voltage-controlled oscillator (VCO), an analog multiplier and sine-shaper; a unity gain buffer amplifier; and a set of current switches.

The VCO produces an output frequency proportional to an input current, which is set by a resistor from the timing

terminals to ground. With two timing pins, two discrete output frequencies can be independently produced for FSK generation applications by using the FSK input control pin. This input controls the current switches which select one of the timing resistor currents, and routes it to the VCO.

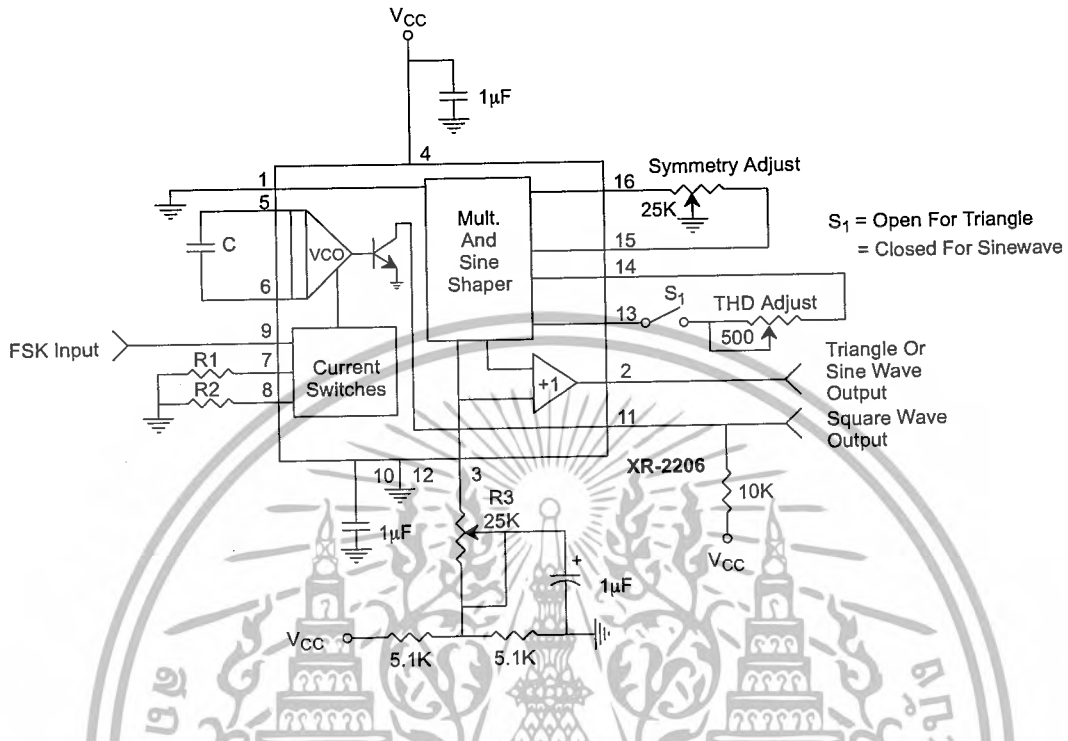


Figure 2. Basic Test Circuit

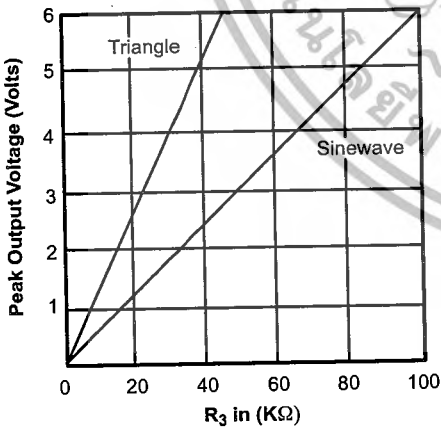


Figure 3. Output Amplitude as a Function of the Resistor, R₃, at Pin 3

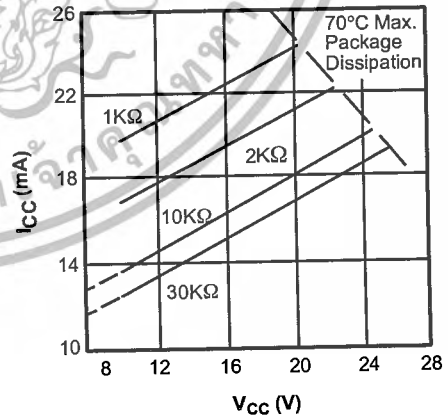


Figure 4. Supply Current vs Supply Voltage, Timing, R

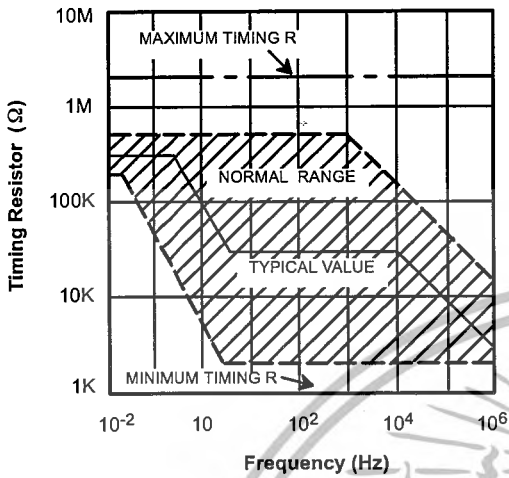


Figure 5. R versus Oscillation Frequency.

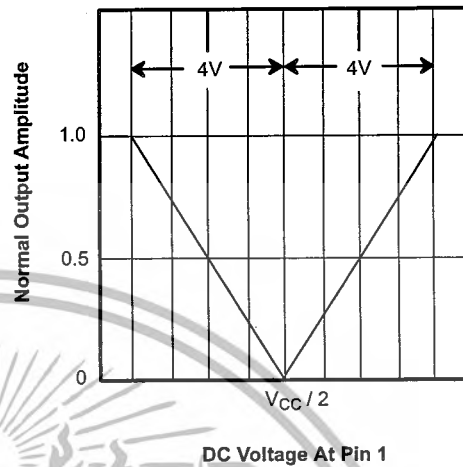


Figure 6. Normalized Output Amplitude versus DC Bias at AM Input (Pin 1)

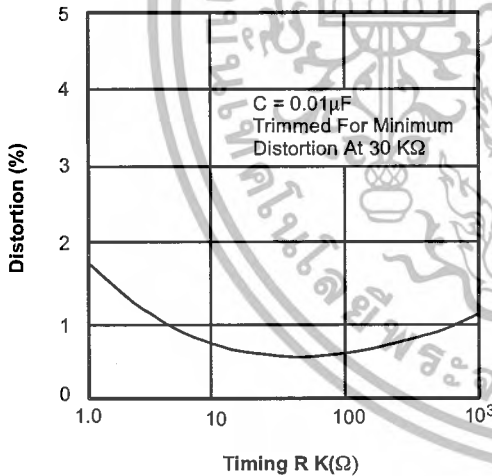


Figure 7. Trimmed Distortion versus Timing Resistor.

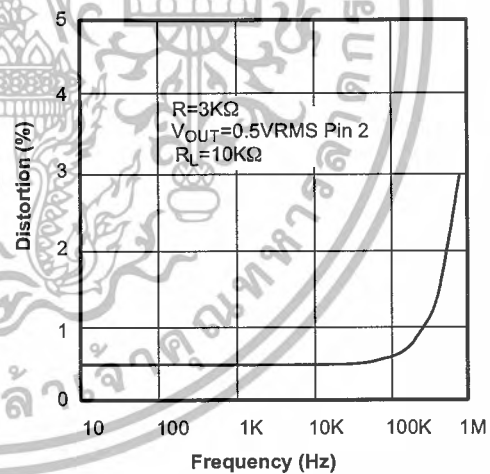


Figure 8. Sine Wave Distortion versus Operating Frequency with Timing Capacitors Varied.

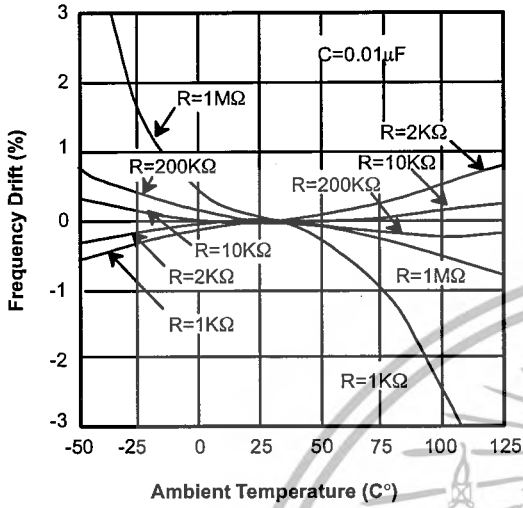


Figure 9. Frequency Drift versus Temperature.

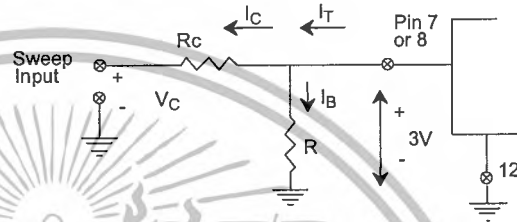


Figure 10. Circuit Connection for Frequency Sweep.

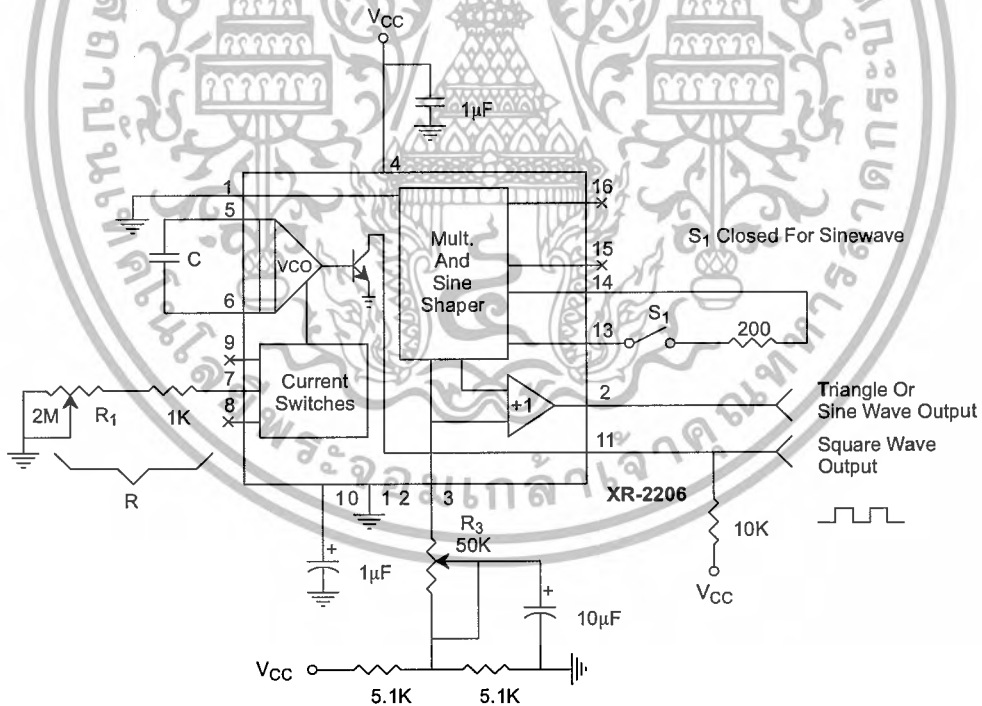


Figure 11. Circuit for Sine Wave Generation without External Adjustment. (See Figure 3 for Choice of R₃)

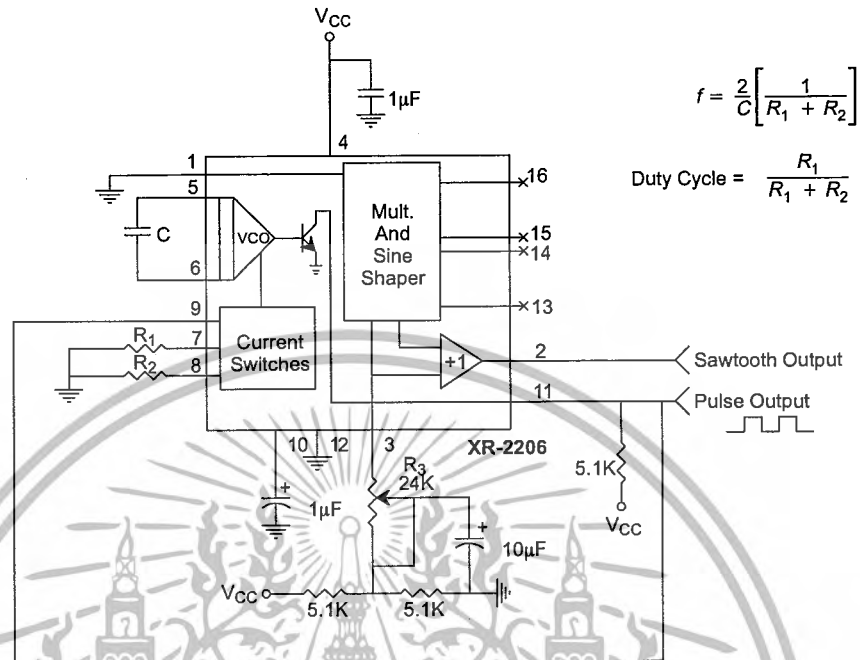


Figure 14. Circuit for Pulse and Ramp Generation.

Frequency-Shift Keying

The XR-2206 can be operated with two separate timing resistors, R_1 and R_2 , connected to the timing Pin 7 and 8, respectively, as shown in *Figure 13*. Depending on the polarity of the logic signal at Pin 9, either one or the other of these timing resistors is activated. If Pin 9 is open-circuited or connected to a bias voltage $\geq 2V$, only R_1 is activated. Similarly, if the voltage level at Pin 9 is $\leq 1V$, only R_2 is activated. Thus, the output frequency can be keyed between two levels, f_1 and f_2 , as:

$$f_1 = 1/R_1C \text{ and } f_2 = 1/R_2C$$

For split-supply operation, the keying voltage at Pin 9 is referenced to V^- .

Output DC Level Control

The dc level at the output (Pin 2) is approximately the same as the dc bias at Pin 3. In *Figure 11*, *Figure 12* and *Figure 13*, Pin 3 is biased midway between V^+ and ground, to give an output dc level of $\approx V^+/2$.

APPLICATIONS INFORMATION

Sine Wave Generation

Without External Adjustment

Figure 11 shows the circuit connection for generating a sinusoidal output from the XR-2206. The potentiometer, R_3 at Pin 7, provides the desired frequency tuning. The maximum output swing is greater than $V^+/2$, and the typical distortion (THD) is $< 2.5\%$. If lower sine wave distortion is desired, additional adjustments can be provided as described in the following section.

The circuit of *Figure 11* can be converted to split-supply operation, simply by replacing all ground connections with V^- . For split-supply operation, R_3 can be directly connected to ground.

With External Adjustment:

The harmonic content of sinusoidal output can be reduced to -0.5% by additional adjustments as shown in *Figure 12*. The potentiometer, R_A , adjusts the sine-shaping resistor, and R_B provides the fine adjustment for the waveform symmetry. The adjustment procedure is as follows:

1. Set R_B at midpoint and adjust R_A for minimum distortion.
2. With R_A set as above, adjust R_B to further reduce distortion.

Triangle Wave Generation

The circuits of *Figure 11* and *Figure 12* can be converted to triangle wave generation, by simply open-circuiting Pin 13 and 14 (i.e., S_1 open). Amplitude of the triangle is approximately twice the sine wave output.

FSK Generation

Figure 13 shows the circuit connection for sinusoidal FSK signal operation. Mark and space frequencies can be independently adjusted by the choice of timing resistors, R_1 and R_2 ; the output is phase-continuous during transitions. The keying signal is applied to Pin 9. The circuit can be converted to split-supply operation by simply replacing ground with V^- .

Pulse and Ramp Generation

Figure 14 shows the circuit for pulse and ramp waveform generation. In this mode of operation, the FSK keying terminal (Pin 9) is shorted to the square-wave output (Pin 11), and the circuit automatically frequency-shift keys itself between two separate frequencies during the positive-going and negative-going output waveforms. The pulse width and duty cycle can be adjusted from 1% to 99% by the choice of R_1 and R_2 . The values of R_1 and R_2 should be in the range of $1k\Omega$ to $2M\Omega$.

PRINCIPLES OF OPERATION

Description of Controls

Frequency of Operation:

The frequency of oscillation, f_0 , is determined by the external timing capacitor, C , across Pin 5 and 6, and by the timing resistor, R , connected to either Pin 7 or 8. The frequency is given as:

$$f_0 = \frac{1}{RC} \text{ Hz}$$

and can be adjusted by varying either R or C . The recommended values of R , for a given frequency range, as shown in *Figure 5*. Temperature stability is optimum for $4k\Omega < R < 200k\Omega$. Recommended values of C are from $1000pF$ to $100\mu F$.

Frequency Sweep and Modulation:

Frequency of oscillation is proportional to the total timing current, I_T , drawn from Pin 7 or 8:

$$f = \frac{320I_T(mA)}{C(\mu F)} \text{ Hz}$$

Timing terminals (Pin 7 or 8) are low-impedance points, and are internally biased at $+3V$, with respect to Pin 12. Frequency varies linearly with I_T , over a wide range of current values, from $1\mu A$ to $3mA$. The frequency can be controlled by applying a control voltage, V_C , to the activated timing pin as shown in *Figure 10*. The frequency of oscillation is related to V_C as:

$$f = \frac{1}{RC} \left(1 + \frac{R}{R_c} \left(1 - \frac{V_c}{3} \right) \right) \text{ Hz}$$

where V_C is in volts. The voltage-to-frequency conversion gain, K , is given as:

$$K = \partial f / \partial V_c = - \frac{0.32}{R_c C} \text{ Hz/V}$$

CAUTION: For safety operation of the circuit, I_T should be limited to $\leq 3mA$.

Output Amplitude:

Maximum output amplitude is inversely proportional to the external resistor, R_3 , connected to Pin 3 (see *Figure 3*). For sine wave output, amplitude is approximately 60mV peak per $k\Omega$ of R_3 ; for triangle, the peak amplitude is approximately 160mV peak per $k\Omega$ of R_3 . Thus, for example, $R_3 = 50k\Omega$ would produce approximately 13V sinusoidal output amplitude.

Amplitude Modulation:

Output amplitude can be modulated by applying a dc bias and a modulating signal to Pin 1. The internal impedance

at Pin 1 is approximately $100k\Omega$. Output amplitude varies linearly with the applied voltage at Pin 1, for values of dc bias at this pin, within 14 volts of $V_{CC}/2$ as shown in *Figure 6*. As this bias level approaches $V_{CC}/2$, the phase of the output signal is reversed, and the amplitude goes through zero. This property is suitable for phase-shift keying and suppressed-carrier AM generation. Total dynamic range of amplitude modulation is approximately 55dB.

CAUTION: AM control must be used in conjunction with a well-regulated supply, since the output amplitude now becomes a function of V_{CC} .

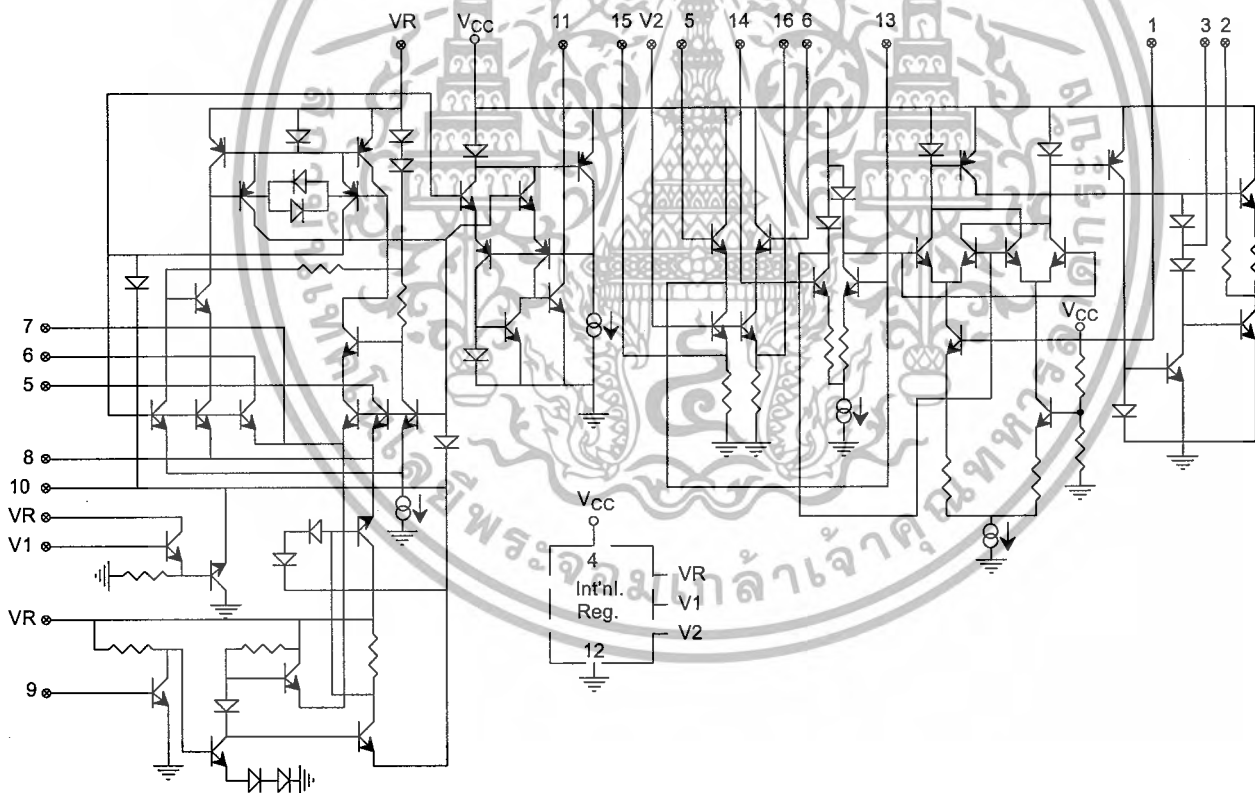
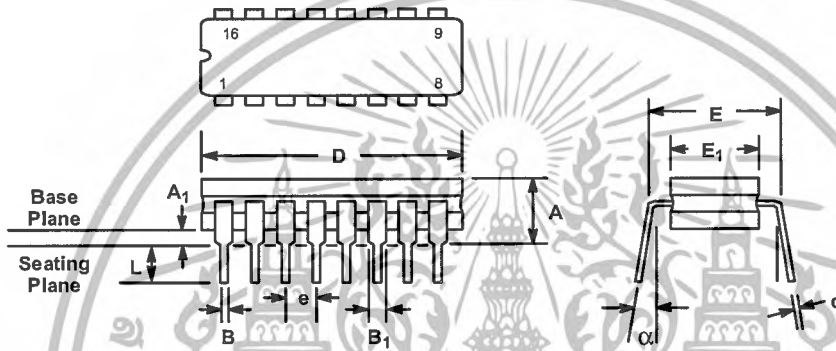


Figure 15. Equivalent Schematic Diagram

**16 LEAD CERAMIC DUAL-IN-LINE
(300 MIL CDIP)**

Rev. 1.00

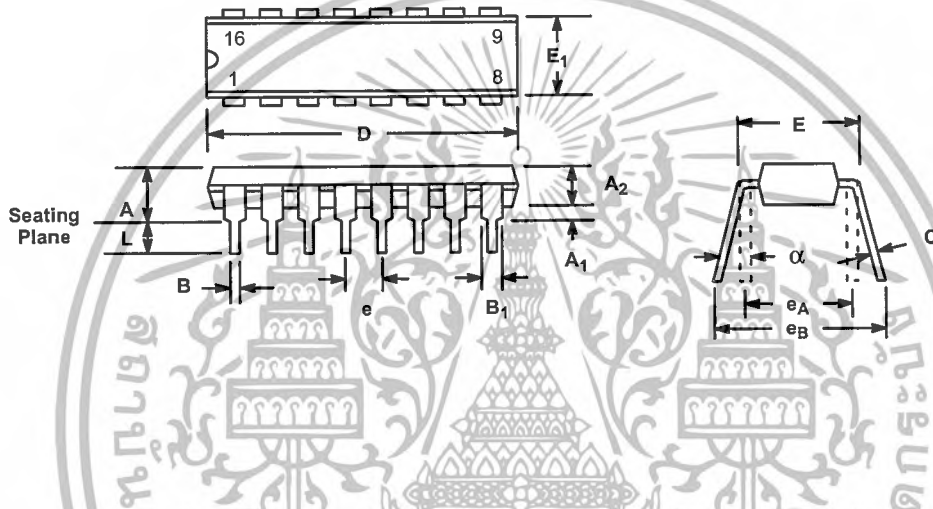


SYMBOL	INCHES		MILLIMETERS	
	MIN	MAX	MIN	MAX
A	0.100	0.200	2.54	5.08
A ₁	0.015	0.060	0.38	1.52
B	0.014	0.026	0.36	0.66
B ₁	0.045	0.065	1.14	1.65
c	0.008	0.018	0.20	0.46
D	0.740	0.840	18.80	21.34
E ₁	0.250	0.310	6.35	7.87
E	0.300 BSC		7.62 BSC	
e	0.100 BSC		2.54 BSC	
L	0.125	0.200	3.18	5.08
α	0°	15°	0°	15°

Note: The control dimension is the inch column

16 LEAD PLASTIC DUAL-IN-LINE (300 MIL PDIP)

Rev. 1.00

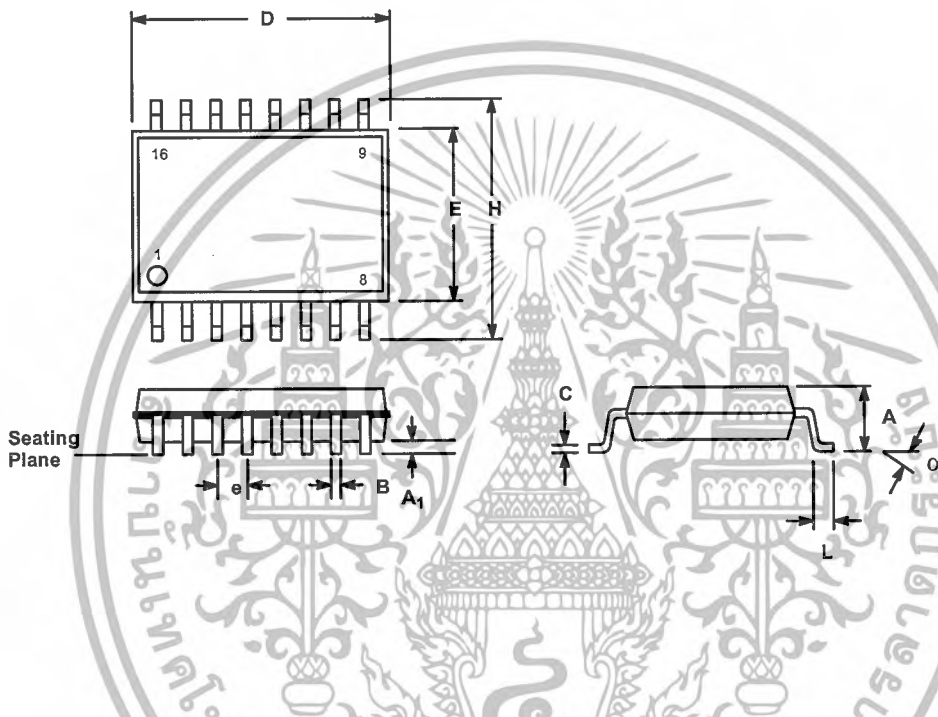


SYMBOL	INCHES		MILLIMETERS	
	MIN	MAX	MIN	MAX
A	0.145	0.210	3.68	5.33
A ₁	0.015	0.070	0.38	1.78
A ₂	0.115	0.195	2.92	4.95
B	0.014	0.024	0.36	0.56
B ₁	0.030	0.070	0.76	1.78
C	0.008	0.014	0.20	0.38
D	0.745	0.840	18.92	21.34
E	0.300	0.325	7.62	8.26
E ₁	0.240	0.280	6.10	7.11
e	0.100 BSC		2.54 BSC	
e _A	0.300 BSC		7.62 BSC	
e _B	0.310	0.430	7.87	10.92
L	0.115	0.160	2.92	4.06
α	0°	15°	0°	15°

Note: The control dimension is the inch column

**16 LEAD SMALL OUTLINE
(300 MIL JEDEC SOIC)**

Rev. 1.00



SYMBOL	INCHES		MILLIMETERS	
	MIN	MAX	MIN	MAX
A	0.093	0.104	2.35	2.65
A ₁	0.004	0.012	0.10	0.30
B	0.013	0.020	0.33	0.51
C	0.009	0.013	0.23	0.32
D	0.398	0.413	10.10	10.50
E	0.291	0.299	7.40	7.60
e	0.050 BSC		1.27 BSC	
H	0.394	0.419	10.00	10.65
L	0.016	0.050	0.40	1.27
α	0°	8°	0°	8°

Note: The control dimension is the millimeter column



NOTICE

EXAR Corporation reserves the right to make changes to the products contained in this publication in order to improve design, performance or reliability. EXAR Corporation assumes no responsibility for the use of any circuits described herein, conveys no license under any patent or other right, and makes no representation that the circuits are free of patent infringement. Charts and schedules contained here in are only for illustration purposes and may vary depending upon a user's specific application. While the information in this publication has been carefully checked; no responsibility, however, is assumed for inaccuracies.

EXAR Corporation does not recommend the use of any of its products in life support applications where the failure or malfunction of the product can reasonably be expected to cause failure of the life support system or to significantly affect its safety or effectiveness. Products are not authorized for use in such applications unless EXAR Corporation receives, in writing, assurances to its satisfaction that: (a) the risk of injury or damage has been minimized; (b) the user assumes all such risks; (c) potential liability of EXAR Corporation is adequately protected under the circumstances.

Copyright 1972 EXAR Corporation
Datasheet June 1997

Reproduction, in part or whole, without the prior written consent of EXAR Corporation is prohibited.



ภาคผนวก ข

เอกสารนี้เป็นเอกสารที่สงวนไว้สำหรับการใช้งานเพื่อการศึกษาเท่านั้น ไม่อนุญาตให้นำไปใช้ประโยชน์ด้านการค้า
ไม่ว่ากรณีใดๆ ทั้งสิ้น อีกทั้งห้ามมิให้ตัดแปลงเนื้อหาและต้องอ้างอิงถึงเจ้าของเอกสารทุกครั้งที่มีการนำไปใช้

FEATURES

- Wide Frequency Range, 0.01Hz to 300kHz
- Wide Supply Voltage Range, 4.5V to 20V
- HCMOS/TTL/Logic Compatibility
- FSK Demodulation, with Carrier Detection
- Wide Dynamic Range, 10mV to 3V rms
- Adjustable Tracking Range, ±1% to 80%
- Excellent Temp. Stability, ±50ppm/°C, max.

APPLICATIONS

- Caller Identification Delivery
- FSK Demodulation
- Data Synchronization
- Tone Decoding
- FM Detection
- Carrier Detection

GENERAL DESCRIPTION

The XR-2211 is a monolithic phase-locked loop (PLL) system especially designed for data communications applications. It is particularly suited for FSK modem applications. It operates over a wide supply voltage range of 4.5 to 20V and a wide frequency range of 0.01Hz to 300kHz. It can accommodate analog signals between 10mV and 3V, and can interface with conventional DTL, TTL, and ECL logic families. The circuit consists of a basic PLL for tracking an input signal within the pass band, a

quadrature phase detector which provides carrier detection, and an FSK voltage comparator which provides FSK demodulation. External components are used to independently set center frequency, bandwidth, and output delay. An internal voltage reference proportional to the power supply is provided at an output pin.

The XR-2211 is available in 14 pin packages specified for military and industrial temperature ranges.

ORDERING INFORMATION

Part No.	Package	Operating Temperature Range
XR-2211M	14 Pin CDIP (0.300")	-55°C to +125°C
XR-2211N	14 Pin CDIP (0.300")	-40°C to +85°C
XR-2211P	14 Pin PDIP (0.300")	-40°C to +85°C
XR-2211ID	14 Lead SOIC (Jedec, 0.150")	-40°C to +85°C

BLOCK DIAGRAM

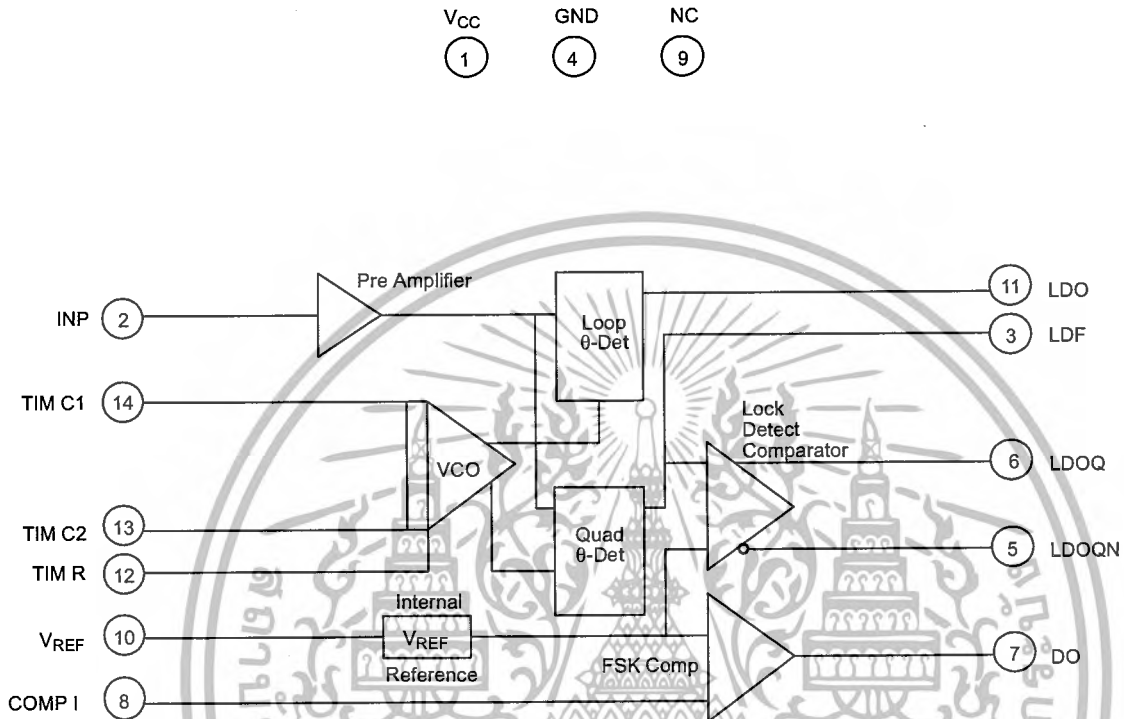
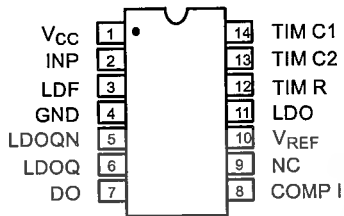
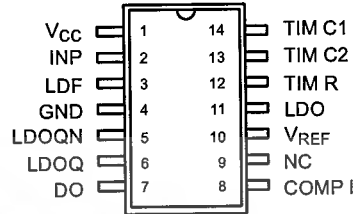


Figure 1. XR-2211 Block Diagram

PIN CONFIGURATION



14 Lead CDIP, PDIP (0.300")



14 Lead SOIC (Jedec, 0.150")

PIN DESCRIPTION

Pin #	Symbol	Type	Description
1	V _{CC}		Positive Power Supply.
2	INP	I	Receive Analog Input.
3	LDF	O	Lock Detect Filter.
4	GND		Ground Pin.
5	LDOQN	O	Lock Detect Output Not. This output will be low if the VCO is in the capture range.
6	LDOQ	O	Lock Detect Output. This output will be high if the VCO is in the capture range.
7	DO	O	Data Output. Decoded FSK output.
8	COMP I	I	FSK Comparator Input.
9	NC		Not Connected.
10	V _{REF}	O	Internal Voltage Reference. The value of V _{REF} is V _{CC} /2 - 650mV.
11	LDO	O	Loop Detect Output. This output provides the result of the quadrature phase detection.
12	TIM R	I	Timing Resistor Input. This pin connects to the timing resistor of the VCO.
13	TIM C2	I	Timing Capacitor Input. The timing capacitor connects between this pin and pin 14.
14	TIM C1	I	Timing Capacitor Input. The timing capacitor connects between this pin and pin 13.

ELECTRICAL CHARACTERISTICS

Test Conditions: $V_{CC} = 12V$, $T_A = +25^\circ C$, $R_0 = 30K\Omega$, $C_0 = 0.033\mu F$, unless otherwise specified.

Parameter	Min.	Typ.	Max.	Unit	Conditions
General					
Supply Voltage	4.5		20	V	
Supply Current		4	7	mA	$R_0 \geq 10K\Omega$. See Figure 4.
Oscillator Section					
Frequency Accuracy		± 1	± 3	%	Deviation from $f_0 = 1/R_0 C_0$
Frequency Stability					
Temperature		± 20	± 50	ppm/ $^\circ C$	See Figure 8.
Power Supply		0.05	0.5	%/V	$V_{CC} = 12 \pm 1V$. See Figure 7.
		0.2		%/V	$V_{CC} = \pm 5V$. See Figure 7.
Upper Frequency Limit	100	300		kHz	$R_0 = 8.2K\Omega$, $C_0 = 400pF$
Lowest Practical Operating Frequency			0.01	Hz	$R_0 = 2M\Omega$, $C_0 = 50\mu F$
Timing Resistor, R_0 - See Figure 5					
Operating Range	5		2000	$K\Omega$	
Recommended Range	5			$K\Omega$	See Figure 7 and Figure 8.
Loop Phase Detector Section					
Peak Output Current	± 150	± 200	± 300	μA	Measured at Pin 11
Output Offset Current		1		μA	
Output Impedance		1		$M\Omega$	
Maximum Swing	± 4	± 5		V	Referenced to Pin 10
Quadrature Phase Detector					
Measured at Pin 3					
Peak Output Current	100	300		μA	
Output Impedance		1		$M\Omega$	
Maximum Swing		11		V_{PP}	
Input Preempt Section					
Measured at Pin 2					
Input Impedance		20		$K\Omega$	
Input Signal					
Voltage Required to Cause Limiting		2	10	mV rms	

Notes

Parameters are guaranteed over the recommended operating conditions, but are not 100% tested in production.
Bold face parameters are covered by production test and guaranteed over operating temperature range.

DC ELECTRICAL CHARACTERISTICS (CONT'D)

Test Conditions: $V_{CC} = 12V$, $T_A = +25^\circ C$, $R_O = 30K\Omega$, $C_O = 0.033\mu F$, unless otherwise specified.

Parameter	Min.	Typ.	Max.	Unit	Conditions
Voltage Comparator Section					
Input Impedance		2		M Ω	Measured at Pins 3 and 8
Input Bias Current		100		nA	
Voltage Gain	55	70		dB	$R_L = 5.1K\Omega$
Output Voltage Low		300	500	mV	$I_C = 3mA$
Output Leakage Current		0.01	10	μA	$V_O = 20V$
Internal Reference					
Voltage Level	4.9	5.3	5.7	V	Measured at Pin 10
Output Impedance		100		Ω	AC Small Signal
Maximum Source Current		80		μA	

Notes

Parameters are guaranteed over the recommended operating conditions, but are not 100% tested in production.
Bold face parameters are covered by production test and guaranteed over operating temperature range.

Specifications are subject to change without notice

ABSOLUTE MAXIMUM RATINGS

Power Supply	20V	Package Power Dissipation Ratings	
Input Signal Level	3V rms	CDIP	750mW
Power Dissipation	900mW	Derate Above $T_A = 25^\circ C$	8mW/ $^\circ C$
		PDIP	800mW
		Derate Above $T_A = 25^\circ C$	60mW/ $^\circ C$
		SOIC	390mW
		Derate Above $T_A = 25^\circ C$	5mW/ $^\circ C$

SYSTEM DESCRIPTION

The main PLL within the XR-2211 is constructed from an input preamplifier, analog multiplier used as a phase detector and a precision voltage controlled oscillator (VCO). The preamplifier is used as a limiter such that input signals above typically 10mV rms are amplified to a constant high level signal. The multiplying-type phase detector acts as a digital exclusive or gate. Its output (unfiltered) produces sum and difference frequencies of the input and the VCO output. The VCO is actually a current controlled oscillator with its normal input current (f_0) set by a resistor (R_0) to ground and its driving current with a resistor (R_1) from the phase detector.

The output of the phase detector produces sum and difference of the input and the VCO frequencies

(internally connected). When in lock, these frequencies are $f_{IN} + f_{VCO}$ (2 times f_{IN} when in lock) and $f_{IN} - f_{VCO}$ (0Hz when lock). By adding a capacitor to the phase detector output, the 2 times f_{IN} component is reduced, leaving a DC voltage that represents the phase difference between the two frequencies. This closes the loop and allows the VCO to track the input frequency.

The FSK comparator is used to determine if the VCO is driven above or below the center frequency (FSK comparator). This will produce both active high and active low outputs to indicate when the main PLL is in lock (quadrature phase detector and lock detector comparator).

PRINCIPLES OF OPERATION

Signal Input (Pin 2): Signal is AC coupled to this terminal. The internal impedance at pin 2 is 20KΩ. Recommended input signal level is in the range of 10mV rms to 3V rms.

Quadrature Phase Detector Output (Pin 3): This is the high impedance output of quadrature phase detector and is internally connected to the input of lock detect voltage comparator. In tone detection applications, pin 3 is connected to ground through a parallel combination of R_D and C_D (see *Figure 3*) to eliminate the chatter at lock detect outputs. If the tone detect section is not used, pin 3 can be left open.

Lock Detect Output, Q (Pin 6): The output at pin 6 is at "low" state when the PLL is out of lock and goes to "high" state when the PLL is locked. It is an open collector type output and requires a pull-up resistor, R_L , to V_{CC} for proper operation. At "low" state, it can sink up to 5mA of load current.

Lock Detect Complement, (Pin 5): The output at pin 5 is the logic complement of the lock detect output at pin 6. This output is also an open collector type stage which can sink 5mA of load current at low or "on" state.

FSK Data Output (Pin 7): This output is an open collector logic stage which requires a pull-up resistor, R_L , to V_{CC} for proper operation. It can sink 5mA of load current. When decoding FSK signals, FSK data output is at "high" or "off" state for low input frequency, and at "low" or "on" state for high input frequency. If no input signal is present, the logic state at pin 7 is indeterminate.

FSK Comparator Input (Pin 8): This is the high impedance input to the FSK voltage comparator. Normally, an FSK post-detection or data filter is connected between this terminal and the PLL phase detector output (pin 11). This data filter is formed by R_F and C_F (see *Figure 3*.) The threshold voltage of the comparator is set by the internal reference voltage, V_{REF} , available at pin 10.

Reference Voltage, V_{REF} (Pin 10): This pin is internally biased at the reference voltage level, V_{REF} : $V_{REF} = V_{CC}/2 - 650mV$. The DC voltage level at this pin forms an internal reference for the voltage levels at pins 5, 8, 11 and 12. Pin

10 must be bypassed to ground with a 0.1μF capacitor for proper operation of the circuit.

Loop Phase Detector Output (Pin 11): This terminal provides a high impedance output for the loop phase detector. The PLL loop filter is formed by R_1 and C_1 connected to pin 11 (see *Figure 3*.) With no input signal, or with no phase error within the PLL, the DC level at pin 11 is very nearly equal to V_{REF} . The peak to peak voltage swing available at the phase detector output is equal to $2 \times V_{REF}$.

VCO Control Input (Pin 12): VCO free-running frequency is determined by external timing resistor, R_0 , connected from this terminal to ground. The VCO free-running frequency, f_o , is:

$$f_o = \frac{1}{R_0 \cdot C_0} \text{ Hz}$$

where C_0 is the timing capacitor across pins 13 and 14. For optimum temperature stability, R_0 must be in the range of 10KΩ to 100KΩ (see *Figure 9*.)

This terminal is a low impedance point, and is internally biased at a DC level equal to V_{REF} . The maximum timing current drawn from pin 12 must be limited to $\leq 3mA$ for proper operation of the circuit.

VCO Timing Capacitor (Pins 13 and 14): VCO frequency is inversely proportional to the external timing capacitor, C_0 , connected across these terminals (see *Figure 6*.) C_0 must be non-polar, and in the range of 200pF to 10μF.

VCO Frequency Adjustment: VCO can be fine-tuned by connecting a potentiometer, R_x , in series with R_0 at pin 12 (see *Figure 10*.)

VCO Free-Running Frequency, f_o : XR-2211 does not have a separate VCO output terminal. Instead, the VCO outputs are internally connected to the phase detector sections of the circuit. For set-up or adjustment purposes, the VCO free-running frequency can be tuned by using the generalized circuit in *Figure 3*, and applying an alternating bit pattern of 0's and 1's at the known mark and space frequencies. By adjusting R_0 , the VCO can then be tuned to obtain a 50% duty cycle on the FSK output (pin 7). This will ensure that the VCO f_o value is accurately referenced to the mark and space frequencies.

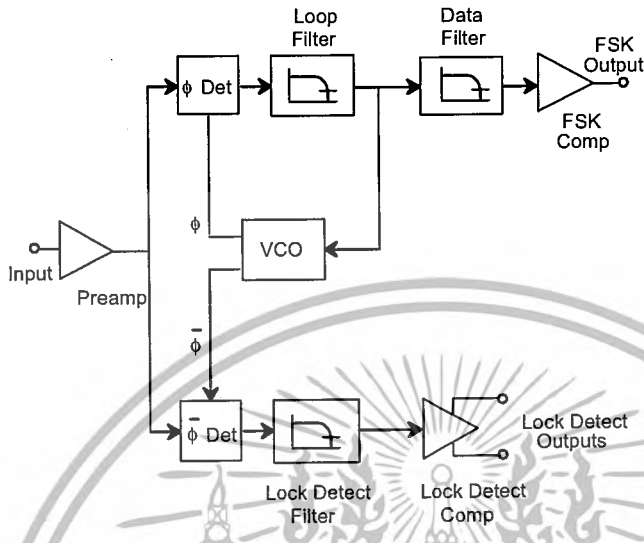


Figure 2. Functional Block Diagram of a Tone and FSK Decoding System Using XR-2211

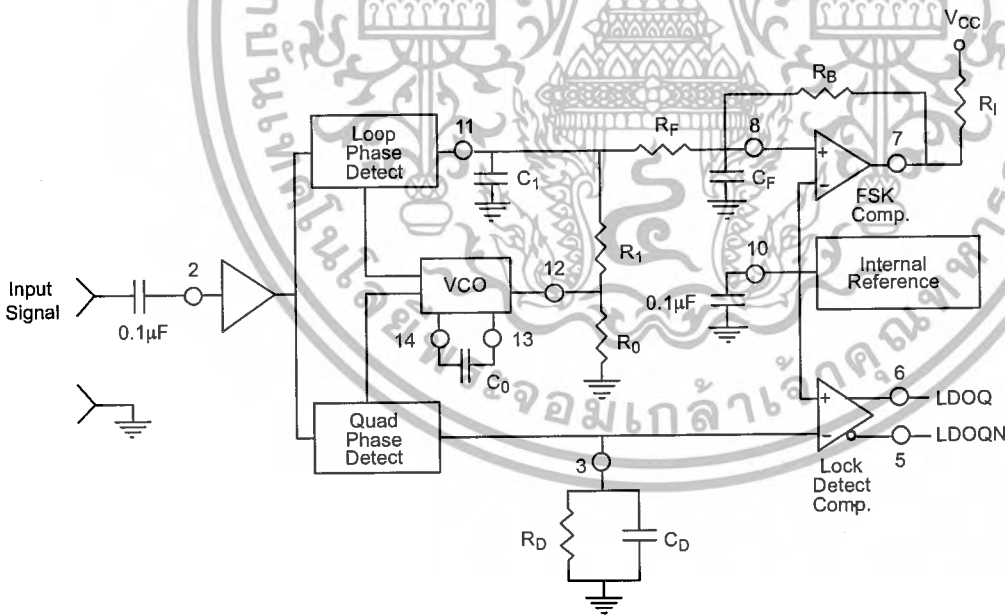


Figure 3. Generalized Circuit Connection for FSK and Tone Detection

DESIGN EQUATIONS

(All resistance in Ω , all frequency in Hz and all capacitance in farads, unless otherwise specified)

(See *Figure 3* for definition of components)

1. VCO Center Frequency, f_0 :

$$f_0 = \frac{1}{R_0 \cdot C_0}$$

2. Internal Reference Voltage, V_{REF} (measured at pin 10):

$$V_{REF} = \left(\frac{V_{CC}}{2} \right) - 650mV \text{ in volts}$$

3. Loop Low-Pass Filter Time Constant, τ :

$$\tau = C_1 \cdot R_{PP} \text{ (seconds)}$$

where:

$$R_{PP} = \left(\frac{R_1 \cdot R_F}{R_1 + R_F} \right)$$

if R_F is ∞ or C_F reactance is ∞ , then $R_{PP} = R_1$

4. Loop Damping, ζ :

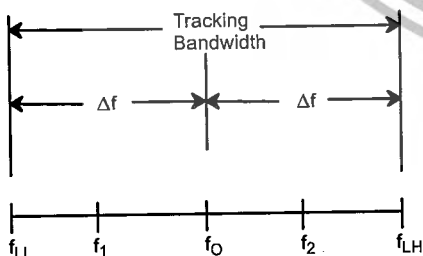
$$\zeta = \sqrt{\left(\frac{1250 \cdot C_0}{R_1 \cdot C_1} \right)}$$

Note: For derivation/explanation of this equation, please see TAN-011.

5. Loop-tracking

bandwidth, $\pm = \frac{\Delta f}{f_0}$

$$\frac{\Delta f}{f_0} = \frac{R_0}{R_1}$$



6. FSK Data filter time constant, τ_F :

$$\tau_F = \frac{R_B \cdot R_F}{(R_B + R_F)} \cdot C_F \text{ (seconds)}$$

7. Loop phase detector conversion gain, K_d : (K_d is the differential DC voltage across pin 10 and pin 11, per unit of phase error at phase detector input):

$$K_d = \frac{V_{REF} \cdot R_1}{10,000 \cdot \pi} \left[\frac{\text{volt}}{\text{radian}} \right]$$

Note: For derivation/explanation of this equation, please see TAN-011.

8. VCO conversion gain, K_o : (K_o is the amount of change in VCO frequency, per unit of DC voltage change at pin 11):

$$K_o = \frac{-2\pi}{V_{REF} \cdot C_0 \cdot R_1} = \left(\frac{\text{radian/second}}{\text{volt}} \right)$$

9. The filter transfer function:

$$F(s) = \frac{1}{1 + sR_1C_1} \text{ at } 0 \text{ Hz. } S = j\omega \text{ and } \omega = 0$$

10. Total loop gain, K_T :

$$K_T = K_o \cdot K_d \cdot F(s) = \left(\frac{R_F}{5,000 \cdot C_0 \cdot (R_1 + R_F)} \right) \left[\frac{1}{\text{seconds}} \right]$$

11. Peak detector current I_A :

$$I_A = \frac{V_{REF}}{20,000} \text{ (} V_{REF} \text{ in volts and } I_A \text{ in amps)}$$

Note: For derivation/explanation of this equation, please see TAN-011.

APPLICATIONS INFORMATION

FSK Decoding

Figure 10 shows the basic circuit connection for FSK decoding. With reference to Figure 3 and Figure 10, the functions of external components are defined as follows: R_0 and C_0 set the PLL center frequency, R_1 sets the system bandwidth, and C_1 sets the loop filter time constant and the loop damping factor. C_F and R_F form a one-pole post-detection filter for the FSK data output. The resistor R_B from pin 7 to pin 8 introduces positive feedback across the FSK comparator to facilitate rapid transition between output logic states.

Design Instructions:

The circuit of Figure 10 can be tailored for any FSK decoding application by the choice of five key circuit components: R_0 , R_1 , C_0 , C_1 and C_F . For a given set of FSK mark and space frequencies, f_0 and f_1 , these parameters can be calculated as follows:

(All resistance in Ω 's, all frequency in Hz and all capacitance in farads, unless otherwise specified)

- a) Calculate PLL center frequency, f_0 :

$$f_0 = \sqrt{F_1 \cdot F_2}$$

- b) Choose value of timing resistor R_0 , to be in the range of 10K Ω to 100K Ω . This choice is arbitrary. The recommended value is $R_0 = 20K\Omega$. The final value of R_0 is normally fine-tuned with the series potentiometer, R_x .

$$R_o = R_0 + \frac{R_x}{2}$$

- c) Calculate value of C_0 from design equation (1) or from Figure 7:

$$C_o = \frac{1}{R_o \cdot f_0}$$

- d) Calculate R_1 to give the desired tracking bandwidth (See design equation 5).

$$R_1 = \frac{R_o \cdot f_0}{(f_1 - f_2)} \cdot 2$$

- e) Calculate C_1 to set loop damping. (See design equation 4):

Normally, $\zeta = 0.5$ is recommended.

$$C_1 = \frac{1250 \cdot C_0}{R_1 \cdot \zeta^2}$$

- f) The input to the XR-2211 may sometimes be too sensitive to noise conditions on the input line. *Figure 4* illustrates a method of de-sensitizing the XR-2211 from such noisy line conditions by the use of a resistor, R_x , connected from pin 2 to ground. The value of R_x is chosen by the equation and the desired minimum signal threshold level.

$$V_{IN \text{ minimum (peak)}} = V_a - V_b = \Delta V \pm 2.8mV \text{ offset} = V_{REF} \frac{20,000}{(20,000 + R_x)} \text{ or } R_x = 20,000 \left(\frac{V_{REF}}{\Delta V} - 1 \right)$$

V_{IN} minimum (peak) input voltage must exceed this value to be detected (equivalent to adjusting V threshold)

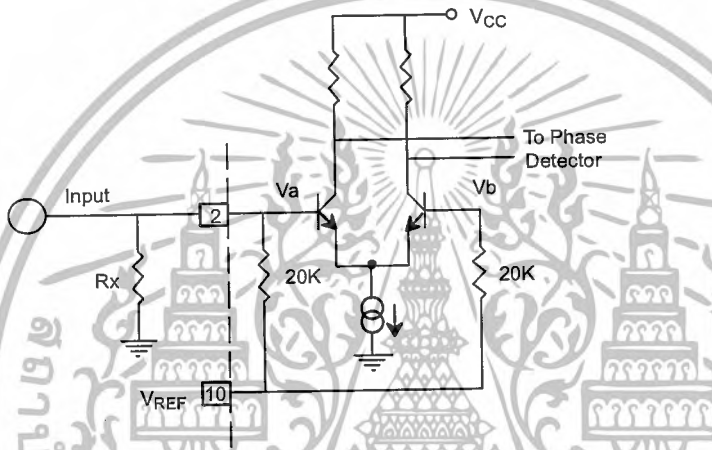


Figure 4. Desensitizing Input Stage

- g) Calculate Data Filter Capacitance, C_F :

$$R_{sum} = \frac{(R_F + R_1) \cdot R_B}{(R_1 + R_F + R_B)}$$

$$C_F = \frac{0.25}{(R_{sum} \cdot \text{Baud Rate})} \quad \text{Baud rate in } \frac{1}{\text{seconds}}$$

Note: All values except R_0 can be rounded to nearest standard value.

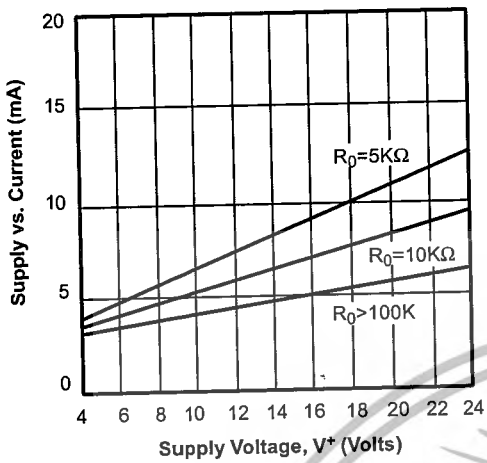


Figure 5. Typical Supply Current vs. V+ (Logic Outputs Open Circuited)

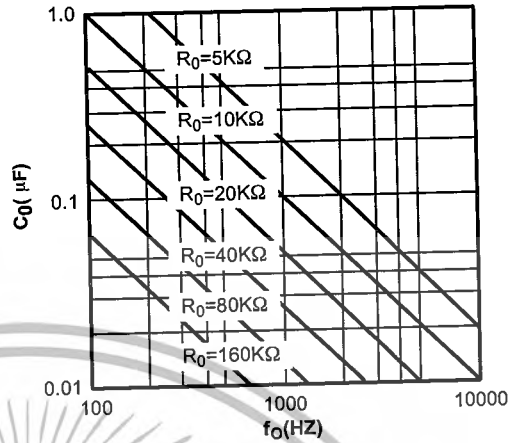


Figure 6. VCO Frequency vs. Timing Resistor

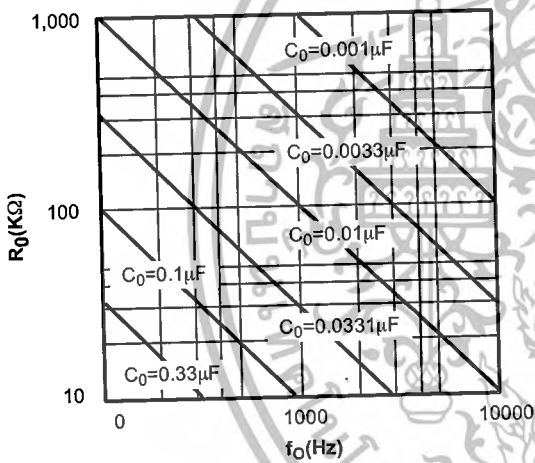


Figure 7. VCO Frequency vs. Timing Capacitor

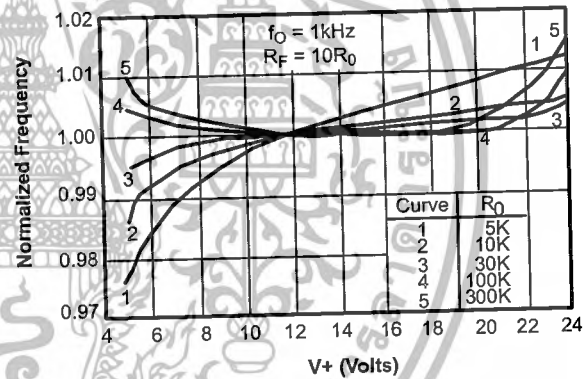


Figure 8. Typical f_0 vs. Power Supply Characteristics

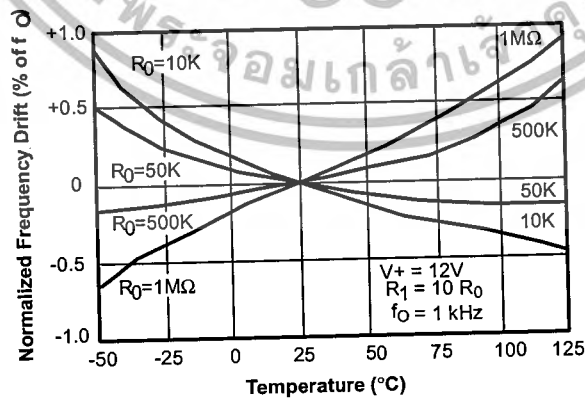


Figure 9. Typical Center Frequency Drift vs. Temperature

Design Example:

1200 Baud FSK demodulator with mark and space frequencies of 1200/2200.

Step 1: Calculate f_o : from design instructions

$$(a) f_o = \sqrt{1200 \cdot 2200} = 1624$$

Step 2: Calculate R_o : $R_o = 10K$ with a potentiometer of 10K. (See design instructions (b))

$$(b) R_T = 10 + \left(\frac{10}{2}\right) = 15K$$

Step 3: Calculate C_o from design instructions

$$(c) C_o = \frac{1}{15000 \cdot 1624} = 39nF$$

Step 4: Calculate R_1 : from design instructions

$$(d) R_1 = \frac{20000 \cdot 1624 \cdot 2}{(2200 - 1200)} = 51,000$$

Step 5: Calculate C_1 : from design instructions

$$(e) C_1 = \frac{1250 \cdot 39nF}{51000 \cdot 0.5^2} = 3.9nF$$

Step 6: Calculate R_F : R_F should be at least five times R_1 , $R_F = 51,000 \cdot 5 = 255 K\Omega$

Step 7: Calculate R_B : R_B should be at least five times R_F , $R_B = 255,000 \cdot 5 = 1.2 M\Omega$

Step 8: Calculate R_{SUM} :

$$R_{SUM} = \frac{(R_F + R_1) \cdot R_B}{(R_F + R_1 + R_B)} = 240K\Omega$$

Step 9: Calculate C_F :

$$C_F = \frac{0.25}{(R_{SUM} \text{ Baud Rate})} = 1nF$$

Note: All values except R_o can be rounded to nearest standard value.

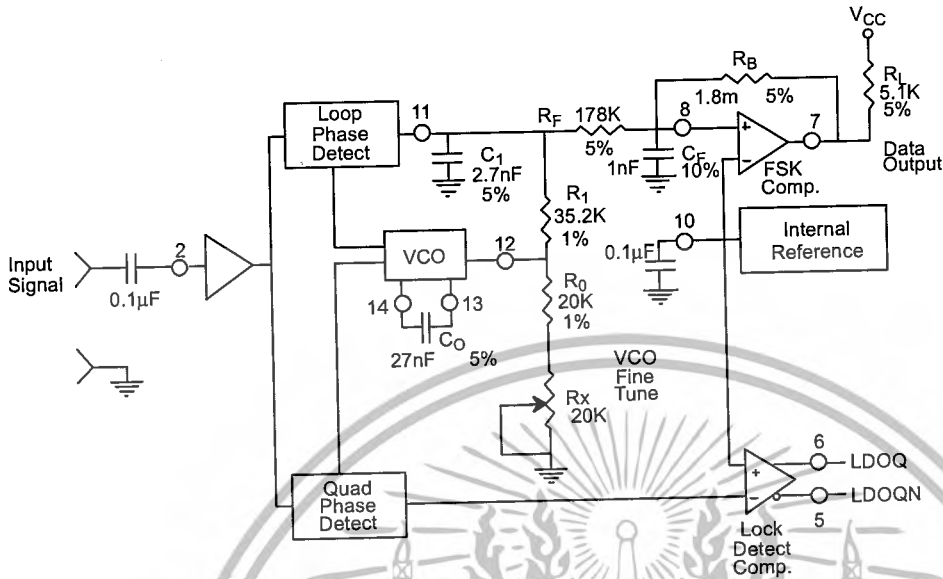


Figure 10. Circuit Connection for FSK Decoding of Caller Identification Signals (Bell 202 Format)

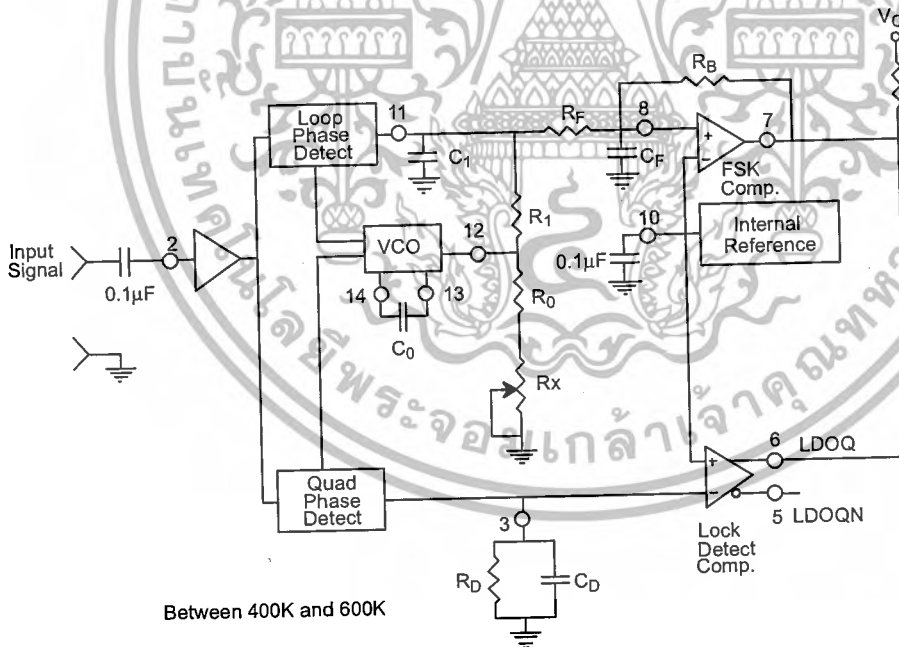


Figure 11. External Connectors for FSK Demodulation with Carrier Detect Capability

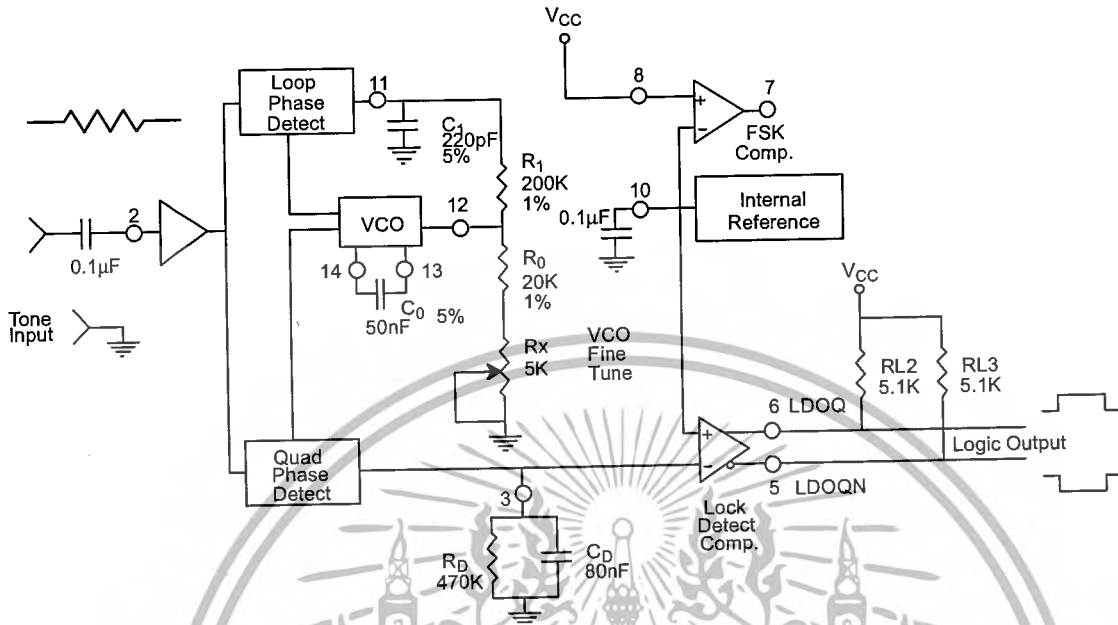


Figure 12. Circuit Connection for Tone Detection

FSK Decoding with Carrier Detect

The lock detect section of XR-2211 can be used as a carrier detect option for FSK decoding. The recommended circuit connection for this application is shown in Figure 11. The open collector lock detect output, pin 6, is shorted to data output (pin 7). Thus, data output will be disabled at "low" state, until there is a carrier within the detection band of the PLL and the pin 6 output goes "high" to enable the data output.

Note: Data Output is "Low" When No Carrier is Present.

The minimum value of the lock detect filter capacitance C_D is inversely proportional to the capture range, $\pm \Delta f_c$. This is the range of incoming frequencies over which the loop can acquire lock and is always less than the tracking range. It is further limited by C_1 . For most applications, $\Delta f_c > \Delta f/2$. For $R_D = 470K\Omega$, the approximate minimum value of C_D can be determined by:

$$C_D > \frac{16}{\Delta f} \quad C \text{ in } \mu F \text{ and } f \text{ in Hz.}$$

C in µF and f in Hz.

With values of C_D that are too small, chatter can be observed on the lock detect output as an incoming signal

frequency approaches the capture bandwidth. Excessively large values of C_D will slow the response time of the lock detect output. For Caller I.D. applications choose $C_D = 0.1\mu F$.

Tone Detection

Figure 12 shows the generalized circuit connection for tone detection. The logic outputs, LDOQN and LDOQQ at pins 5 and 6 are normally at "high" and "low" logic states, respectively. When a tone is present within the detection band of the PLL, the logic state at these outputs become reversed for the duration of the input tone. Each logic output can sink 5mA of load current.

Both outputs at pins 5 and 6 are open collector type stages, and require external pull-up resistors R_{L2} and R_{L3} , as shown in Figure 12.

With reference to Figure 3 and Figure 12, the functions of the external circuit components can be explained as follows: R_0 and C_0 set VCO center frequency; R_1 sets the detection bandwidth; C_1 sets the low pass-loop filter time constant and the loop damping factor.

Design Instructions:

The circuit of *Figure 12* can be optimized for any tone detection application by the choice of the 5 key circuit components: R_0 , R_1 , C_0 , C_1 and C_D . For a given input, the tone frequency, f_S , these parameters are calculated as follows:

(All resistance in Ω 's, all frequency in Hz and all capacitance in farads, unless otherwise specified)

- Choose value of timing resistor R_0 to be in the range of $10K\Omega$ to $50K\Omega$. This choice is dictated by the max./min. current that the internal voltage reference can deliver. The recommended value is $R_0 = 20K\Omega$. The final value of R_0 is normally fine-tuned with the series potentiometer, R_X .

- Calculate value of C_0 from design equation (1) or from *Figure 7* $f_S = f_0$:

$$C_0 = \frac{1}{R_0 \cdot f_S}$$

- Calculate R_1 to set the bandwidth $\pm \Delta f$ (See design equation 5):

$$R_1 = \frac{R_0 \cdot f_0 \cdot 2}{\Delta f}$$

Note: The total detection bandwidth covers the frequency range of $f_0 \pm \Delta f$

- Calculate value of C_1 for a given loop damping factor:

Normally, $\zeta = 0.5$ is recommended.

$$C_1 = \frac{1250 \cdot C_0}{R_1 \cdot \zeta^2}$$

Increasing C_1 improves the out-of-band signal rejection, but increases the PLL capture time.

- Calculate value of the filter capacitor C_D . To avoid chatter at the logic output, with $R_D = 470K\Omega$, C_D must be:

$$C_D > \frac{16}{\Delta f} \quad C \text{ in } \mu F$$

Increasing C_D slows down the logic output response time.

Design Examples:

Tone detector with a detection band of $\pm 100\text{Hz}$:

- Choose value of timing resistor R_0 to be in the range of $10K\Omega$ to $50K\Omega$. This choice is dictated by the max./min. current that the internal voltage reference can deliver. The recommended value is $R_0 = 20K\Omega$. The final value of R_0 is normally fine-tuned with the series potentiometer, R_X .

- Calculate value of C_0 from design equation (1) or from *Figure 6* $f_S = f_0$:

$$C_0 = \frac{1}{R_0 \cdot f_S} = \frac{1}{20,000 \cdot 1,000} = 50nF$$

c) Calculate R_1 to set the bandwidth $\pm\Delta f$ (See design equation 5):

$$R_1 = \frac{R_0 \cdot f_0 \cdot 2}{\Delta f} = \frac{20,000 \cdot 1,000 \cdot 2}{100} = 400K$$

Note: The total detection bandwidth covers the frequency range of $f_0 \pm \Delta f$

d) Calculate value of C_0 for a given loop damping factor:

Normally, $\zeta = 0.5$ is recommended.

$$C_1 = \frac{1250 \cdot C_0}{R_1 \cdot \zeta^2} = \frac{1250 \cdot 50 \cdot 10^{-9}}{400,000 \cdot 0.5^2} = 6.25pF$$

Increasing C_1 improves the out-of-band signal rejection, but increases the PLL capture time.

e) Calculate value of the filter capacitor C_D . To avoid chatter at the logic output, with $R_D = 470K\Omega$, C_D must be:

$$C_D = \frac{16}{\Delta f} \geq \frac{16}{200} \geq 80nF$$

Increasing C_D slows down the logic output response time.

f) Fine tune center frequency with $5K\Omega$ potentiometer, R_X .

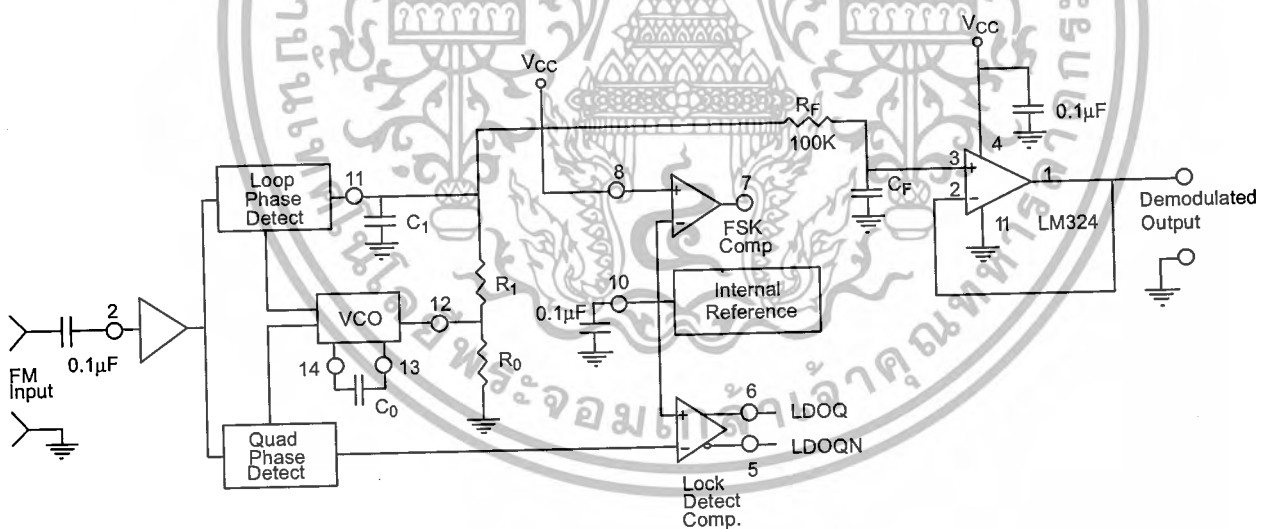


Figure 13. Linear FM Detector Using XR-2211 and an External Op Amp.
(See Section on Design Equation for Component Values.)

Linear FM Detection

XR-2211 can be used as a linear FM detector for a wide range of analog communications and telemetry applications. The recommended circuit connection for this application is shown in *Figure 13*. The demodulated output is taken from the loop phase detector output (pin 11), through a post-detection filter made up of R_F and C_F , and an external buffer amplifier. This buffer amplifier is necessary because of the high impedance output at pin 11. Normally, a non-inverting unity gain op amp can be used as a buffer amplifier, as shown in *Figure 13*.

The FM detector gain, i.e., the output voltage change per unit of FM deviation can be given as:

$$V_{OUT} = \frac{R_1 \cdot V_{REF}}{100 \cdot R_0}$$

where V_R is the internal reference voltage ($V_{REF} = V_{CC}/2 - 650mV$). For the choice of external components R_1 , R_0 , C_D , C_1 and C_F , see the section on design equations.

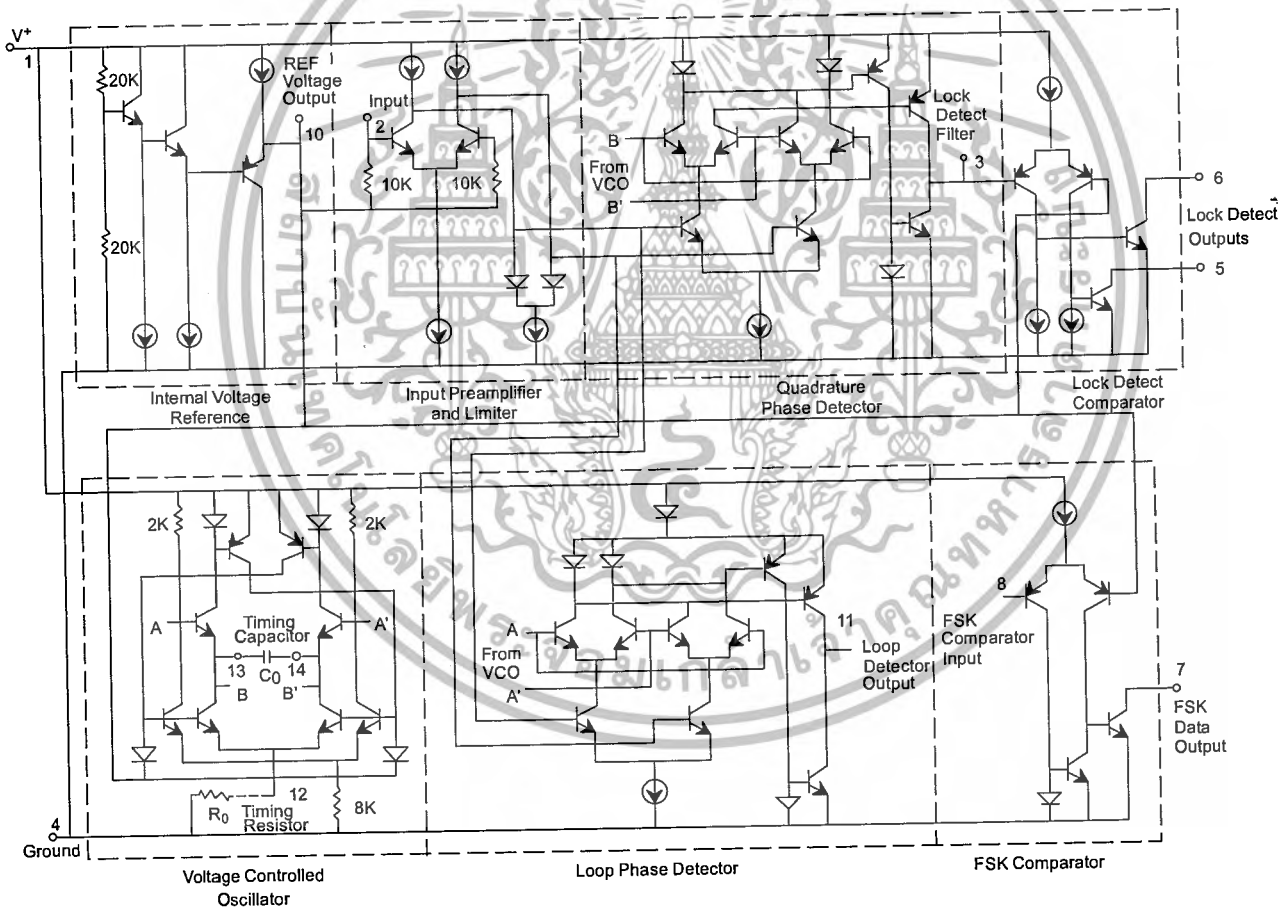
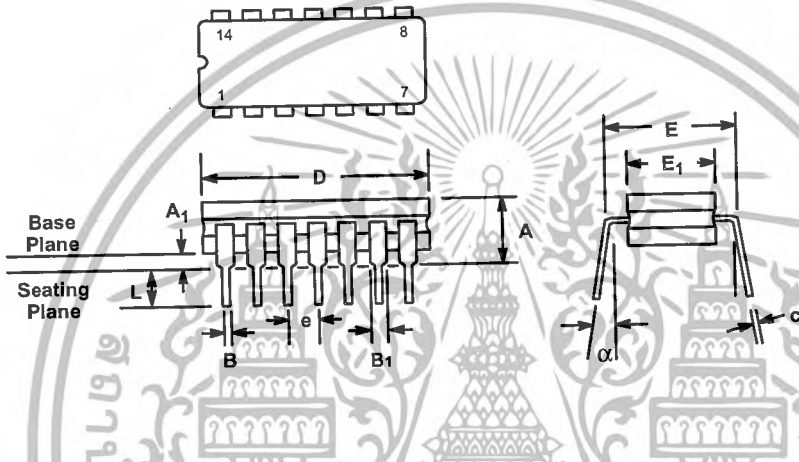


Figure 14. Equivalent Schematic Diagram

**14 LEAD CERAMIC DUAL-IN-LINE
(300 MIL CDIP)**

Rev. 1.00

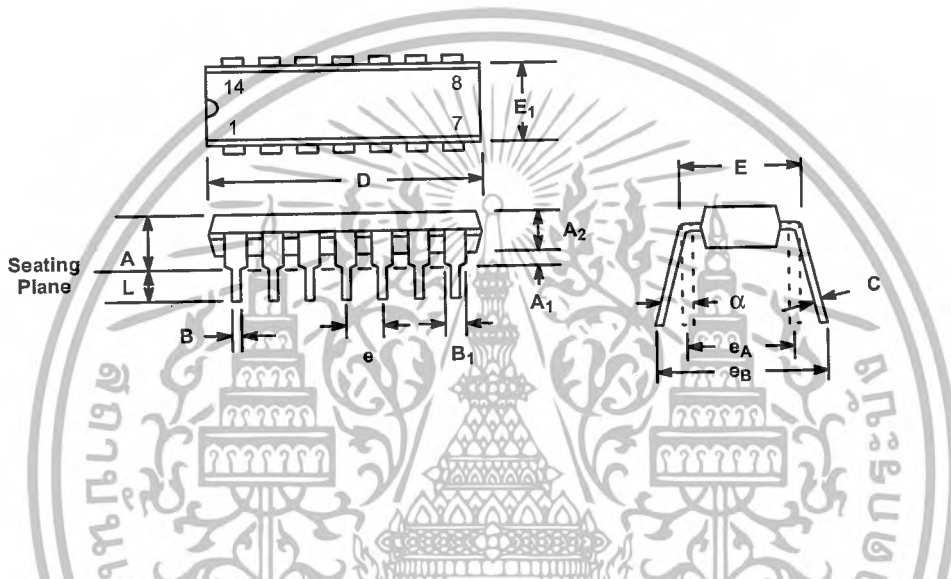


SYMBOL	INCHES		MILLIMETERS	
	MIN	MAX	MIN	MAX
A	0.100	0.200	2.54	5.08
A ₁	0.015	0.060	0.38	1.52
B	0.014	0.026	0.36	0.66
B ₁	0.045	0.065	1.14	1.65
c	0.008	0.018	0.20	0.46
D	0.685	0.785	17.40	19.94
E ₁	0.250	0.310	6.35	7.87
E	0.300 BSC		7.62 BSC	
e	0.100 BSC		2.54 BSC	
L	0.125	0.200	3.18	5.08
α	0°	15°	0°	15°

Note: The control dimension is the inch column

14 LEAD PLASTIC DUAL-IN-LINE (300 MIL PDIP)

Rev. 1.00

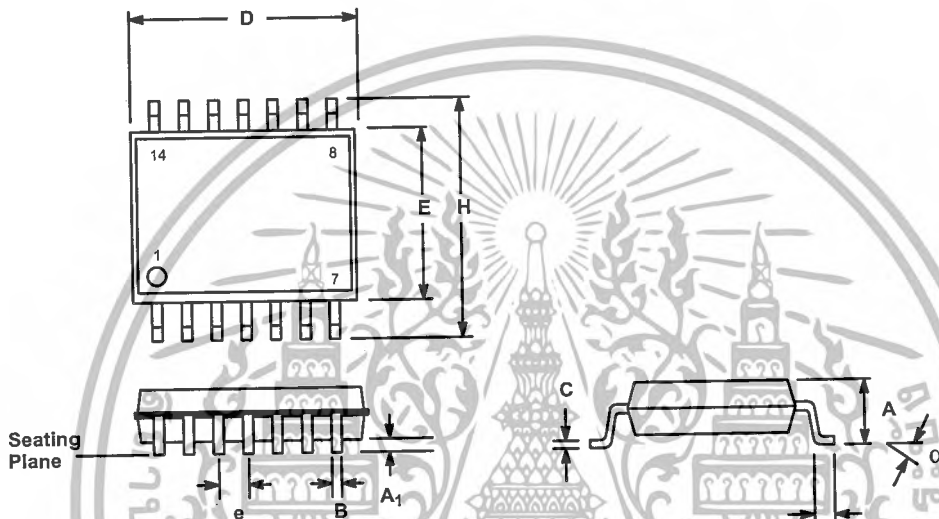


SYMBOL	INCHES		MILLIMETERS	
	MIN	MAX	MIN	MAX
A	0.145	0.210	3.68	5.33
A ₁	0.015	0.070	0.38	1.78
A ₂	0.115	0.195	2.92	4.95
B	0.014	0.024	0.36	0.56
B ₁	0.030	0.070	0.76	1.78
C	0.008	0.014	0.20	0.38
D	0.725	0.795	18.42	20.19
E	0.300	0.325	7.62	8.26
E ₁	0.240	0.280	6.10	7.11
e	0.100 BSC		2.54 BSC	
e _A	0.300 BSC		7.62 BSC	
e _B	0.310	0.430	7.87	10.92
L	0.115	0.160	2.92	4.06
α	0°	15°	0°	15°

Note: The control dimension is the inch column

**14 LEAD SMALL OUTLINE
(150 MIL JEDEC SOIC)**

Rev. 1.00



SYMBOL	INCHES		MILLIMETERS	
	MIN	MAX	MIN	MAX
A	0.053	0.069	1.35	1.75
A ₁	0.004	0.010	0.10	0.25
B	0.013	0.020	0.33	0.51
C	0.007	0.010	0.19	0.25
D	0.337	0.344	8.55	8.75
E	0.150	0.157	3.80	4.00
e	0.050 BSC		1.27 BSC	
H	0.228	0.244	5.80	6.20
L	0.016	0.050	0.40	1.27
α	0°	8°	0°	8°

Note: The control dimension is the millimeter column

Notes



เอกสารนี้เป็นเอกสารที่สงวนไว้สำหรับการใช้งานเพื่อการศึกษาเท่านั้น ไม่อนุญาตให้นำไปใช้ประโยชน์ด้านการค้า
ไม่ว่ากรณีใดๆ ทั้งสิ้น อีกทั้งห้ามมิให้ดัดแปลงเนื้อหาและต้องอ้างอิงถึงเจ้าของเอกสารทุกครั้งที่มีการนำไปใช้

Notes





NOTICE

EXAR Corporation reserves the right to make changes to the products contained in this publication in order to improve design, performance or reliability. EXAR Corporation assumes no responsibility for the use of any circuits described herein, conveys no license under any patent or other right, and makes no representation that the circuits are free of patent infringement. Charts and schedules contained here in are only for illustration purposes and may vary depending upon a user's specific application. While the information in this publication has been carefully checked; no responsibility, however, is assumed for inaccuracies.

EXAR Corporation does not recommend the use of any of its products in life support applications where the failure or malfunction of the product can reasonably be expected to cause failure of the life support system or to significantly affect its safety or effectiveness. Products are not authorized for use in such applications unless EXAR Corporation receives, in writing, assurances to its satisfaction that: (a) the risk of injury or damage has been minimized; (b) the user assumes all such risks; (c) potential liability of EXAR Corporation is adequately protected under the circumstances.

Copyright 1995 EXAR Corporation

Datasheet June 1997

Reproduction, in part or whole, without the prior written consent of EXAR Corporation is prohibited.



เอกสารนี้เป็นเอกสารที่สงวนไว้สำหรับการใช้งานเพื่อการศึกษาเท่านั้น ไม่อนุญาตให้นำไปใช้ประโยชน์ด้านการค้า
ไม่ว่ากรณีใดๆ ทั้งสิ้น อีกทั้งห้ามมิให้ตัดแปลงเนื้อหาและต้องอ้างอิงถึงเจ้าของเอกสารทุกครั้งที่มีการนำไปใช้

SOURCE CODE IN MICROCONTROLLER MCS-51

```
*****  
; *****  
; DEFINE PORT&PIN NAME  
; *****  
ONEWIRE          BIT    P1.6          ; 1-WIRE INTERFACE (DS1820 TEMP. SENSOR)  
TDATA           EQU    36H  
  
; *****  
; DEFINE USER REGISTER  
; *****  
FLAG            EQU    02FH          ; USER FLAG  
BUSY            BIT    FLAG.0        ; DEFINE BUSY AS BIT  
DS1820_ERROR BIT FLAG.1            ; DS1820 ERROR FLAG  
ONEWIRE_DATA    EQU    032H          ; FOR KEEP ONEWIRE DATA  
TEMP            EQU    033H          ; FOR KEEP TEMP. DATA (TEMP L ONLY)  
TEMPH           EQU    034H          ; FOR KEEP TEMP. DATA (TEMP H ONLY)  
ONEWIRE_CNT     EQU    035H          ; FOR 1-WIRE SUBROUTINE COUNTER  
  
TEMP_AIR        EQU    40H          ; FOR KEEP TEMP AIR.  
STATUS_AIR      EQU    41H  
TEMP_ROOM       EQU    42H          ; FOR KEEP TEMP ROOM.  
COP_TEMP_AIR   EQU    43H  
  
STATUS_TV1      EQU    4AH  
STATUS_TV2      EQU    4BH  
  
STATUS_ELEC1    EQU    4CH  
STATUS_ELEC2    EQU    4DH  
  
T2MOD           EQU    0C9H  
TH2            EQU    0CDH          ; TIMER 2  
TL2            EQU    0CCH  
RCAP2H         EQU    0CBH  
RCAP2L         EQU    0CAH  
TR2            BIT    0CAH
```

เอกสารนี้เป็นเอกสารที่สงวนไว้สำหรับการใช้งานเพื่อการศึกษาเท่านั้น ไม่อนุญาตให้นำไปใช้ประโยชน์ด้านการค้า
ไม่ว่ากรณีใดๆ ทั้งสิ้น อีกทั้งห้ามมิให้ดัดแปลงเนื้อหาและต้องอ้างอิงถึงเจ้าของเอกสารทุกครั้งที่มีการนำไปใช้

ORG 0030H

START:

```
                                ; P1.0 for Carrier
CLR   P1.2                      ;REMOTE AIR
CLR   P1.3                      ;REMOTE TV
CLR   P1.4
CLR   P1.5
SETB  P2.5
```

***** 1200 BAUD BY TX,RX 24 MHZ*****

```
MOV   PCON,#00H
MOV   SCON,#50H
MOV   TMOD,#21H
MOV   TH1,#204
SETB  TR1
```

```
MOV   3AH,#01100110B
MOV   3DH,#01000101B
MOV   STATUS_AIR,#11100000B
```

***** TV *****

```
MOV   44H,#01000000B
MOV   45H,#00000100B
MOV   46H,#01H
MOV   47H,#00H
MOV   48H,#10111100B
MOV   49H,#10111101B
MOV   STATUS_TV1,#11000000B
MOV   STATUS_TV2,#0
MOV   STATUS_ELEC1,#0F0H      ; STATUS ELEC 1
MOV   STATUS_ELEC2,#0F0H      ; STATUS ELEC 2
```

เอกสารนี้เป็นเอกสารที่สงวนไว้สำหรับการใช้งานเพื่อการศึกษาเท่านั้น ไม่อนุญาตให้นำไปใช้ประโยชน์ด้านการค้า
ไม่ว่ากรณีใดๆ ทั้งสิ้น อีกทั้งห้ามมิให้ตัดแปลงเนื้อหาและต้องอ้างอิงถึงเจ้าของเอกสารทุกครั้งที่มีการนำไปใช้

***** TIMER 2 *****

```
MOV T2MOD,#02H
MOV TH2,#94H
MOV TL2,#00
MOV RCAP2H,#0FFH
MOV RCAP2L,#64H
SETB TR2
```

***** START PROGRAM *****

```
MAIN:      LCALL RECIVER_DATA
CHK_O:     CJNE A,#0',CHK_F
           MOV 3BH,#10111010B
           MOV 3CH,#10101110B ;23.0^C
           MOV TEMP_AIR,3CH
           LCALL PUSH_REMOTE
           MOV STATUS_AIR,#00001110B
           LCALL READ_TEMP_ROOM ;TEMP
           LCALL SEND_ACK_AIR
           SJMP MAIN
CHK_F:     CJNE A,#1',CHK_OS
           MOV 3BH,#00111010B
           MOV 3CH,TEMP_AIR
           LCALL PUSH_REMOTE ;PUSH REMOTE
           MOV STATUS_AIR,#11100000B
           LCALL READ_TEMP_ROOM ;TEMP
           LCALL SEND_ACK_AIR
           SJMP MAIN
CHK_OS:    CJNE A,#4',CHK_FS
           MOV 3BH,#10111010B
           MOV 3CH,TEMP_AIR
           LCALL PUSH_REMOTE ;PUSH REMOTE
           MOV A,STATUS_AIR
           CLR C
```

เอกสารนี้เป็นเอกสารที่สงวนไว้สำหรับการใช้งานเพื่อการศึกษาเท่านั้น ไม่อนุญาตให้นำไปใช้ประโยชน์ด้านการค้า
ไม่ว่ากรณีใดๆ ทั้งสิ้น อีกทั้งห้ามมิให้ดัดแปลงเนื้อหาและต้องอ้างอิงถึงเจ้าของเอกสารทุกครั้งที่มีการนำไปใช้

```

SUBB A,#00100000B
MOV STATUS_AIR,A ; STATUS AIR
;ORL STATUS,#00000000B
LCALL READ_TEMP_ROOM
LCALL SEND_ACK_AIR
SJMP MAIN

```

```

CHK_FS: CJNE A,#6',CHK_T
MOV 3BH,#10110010B
MOV 3CH,TEMP_AIR
LCALL PUSH_REMOTE ; PUSH REMOTE
MOV A,STATUS_AIR
ADD A,#00100000B
MOV STATUS_AIR,A
;ORL STATUS,#00100000B
LCALL READ_TEMP_ROOM ; TEMP
LCALL SEND_ACK_AIR
SJMP MAIN

```

```

CHK_T: PUSH ACC
ANL A,#11100000B
CJNE A,#10100000B,CHK_SA
POP ACC
MOV TEMP_AIR,A
MOV 3BH,#10111010B
MOV 3CH,TEMP_AIR
LCALL PUSH_REMOTE ; PUSH REMOTE
MOV A,TEMP_AIR
ANL A,#00011111B
MOV COP_TEMP_AIR,A
MOV A,STATUS_AIR
ANL A,#11100000B
ADD A,COP_TEMP_AIR
MOV STATUS_AIR,A ; STATUS AIR
LCALL READ_TEMP_ROOM ; TEMP
LCALL SEND_ACK_AIR

```

เอกสารนี้เป็นเอกสารที่สงวนไว้สำหรับการใช้งานเพื่อการศึกษาเท่านั้น ไม่อนุญาตให้นำไปใช้ประโยชน์ด้านการค้า
ไม่ว่ากรณีใดๆ ทั้งสิ้น อีกทั้งห้ามมิให้ตัดแปลงเนื้อหาและต้องอ้างอิงถึงเจ้าของเอกสารทุกครั้งที่มีการนำไปใช้

LJMP MAIN

CHK_SA: POP ACC
CJNE A,#'C',KEY_POWER
LCALL READ_TEMP_ROOM
LCALL SEND_ACK_AIR
LJMP MAIN

KEY_POWER: CJNE A,#'P',KEY_1
CPL P1.4
MOV 47H,#00H
MOV 48H,#10111100B
MOV 49H,#10111101B
LCALL SEND_TV
CLR P1.3
MOV A,STATUS_TV1
ANL A,#11000000B
CPL A
ANL A,#11000000B
PUSH ACC
MOV A,STATUS_TV1
ANL A,#00111111B
MOV STATUS_TV1,A
POP ACC
ADD A,STATUS_TV1
MOV STATUS_TV1,A
LCALL ACK_TV
LJMP MAIN

KEY_1: CJNE A,#'A',KEY_2
MOV 47H,#00H
MOV 48H,#00001000B
MOV 49H,#00001001B
LCALL SEND_TV
CLR P1.3
MOV STATUS_TV2,#1

เอกสารนี้เป็นเอกสารที่สงวนไว้สำหรับการใช้งานเพื่อการศึกษาเท่านั้น ไม่อนุญาตให้นำไปใช้ประโยชน์ด้านการค้า
ไม่ว่ากรณีใดๆ ทั้งสิ้น อีกทั้งห้ามมิให้ตัดแปลงเนื้อหาและต้องอ้างอิงถึงเจ้าของเอกสารทุกครั้งที่มีการนำไปใช้

```

LCALL ACK_TV
LJMP MAIN
KEY_2: CJNE A,#'B',KEY_3
MOV 47H,#00H
MOV 48H,#10001000B
MOV 49H,#10001001B
LCALL SEND_TV
CLR P1.3
MOV STATUS_TV2,#2
LCALL ACK_TV
LJMP MAIN
KEY_3: CJNE A,#'C',KEY_4
MOV 47H,#00H
MOV 48H,#01001000B
MOV 49H,#01001001B
LCALL SEND_TV
CLR P1.3
MOV STATUS_TV2,#3
LCALL ACK_TV
LJMP MAIN
KEY_4: CJNE A,#'D',KEY_5
MOV 47H,#00H
MOV 48H,#11001000B
MOV 49H,#11001001B
LCALL SEND_TV
CLR P1.3
MOV STATUS_TV2,#4
LCALL ACK_TV
LJMP MAIN
KEY_5: CJNE A,#'E',KEY_6
MOV 47H,#00H
MOV 48H,#00101000B
MOV 49H,#00101001B
LCALL SEND_TV
CLR P1.3
MOV STATUS_TV2,#5

```

เอกสารนี้เป็นเอกสารที่สงวนไว้สำหรับการใช้งานเพื่อการศึกษาเท่านั้น ไม่อนุญาตให้นำไปใช้ประโยชน์ด้านการค้า
ไม่ว่ากรณีใดๆ ทั้งสิ้น อีกทั้งห้ามมิให้ตัดแปลงเนื้อหาและต้องอ้างอิงถึงเจ้าของเอกสารทุกครั้งที่มีการนำไปใช้

```

LCALL ACK_TV
LJMP MAIN
KEY_6: CJNE A,#F',KEY_7
MOV 47H,#00H
MOV 48H,#10101000B
MOV 49H,#10101001B
LCALL SEND_TV
CLR P1.3
MOV STATUS_TV2,#6
LCALL ACK_TV
LJMP MAIN
KEY_7: CJNE A,#G',KEY_8
MOV 47H,#00H
MOV 48H,#01101000B
MOV 49H,#01101001B
LCALL SEND_TV
CLR P1.3
MOV STATUS_TV2,#7
LCALL ACK_TV
LJMP MAIN
KEY_8: CJNE A,#H',KEY_9
MOV 47H,#00H
MOV 48H,#11101000B
MOV 49H,#11101001B
LCALL SEND_TV
CLR P1.3
MOV STATUS_TV2,#8
LCALL ACK_TV
LJMP MAIN
KEY_9: CJNE A,#I',KEY_0
MOV 47H,#00H
MOV 48H,#00011000B
MOV 49H,#00011001B
LCALL SEND_TV
CLR P1.3

```

เอกสารนี้เป็นเอกสารที่สงวนไว้สำหรับการใช้งานเพื่อการศึกษาเท่านั้น ไม่อนุญาตให้นำไปใช้ประโยชน์ด้านการค้า
ไม่ว่ากรณีใดๆ ทั้งสิ้น อีกทั้งห้ามมิให้ตัดแปลงเนื้อหาและต้องอ้างอิงถึงเจ้าของเอกสารทุกครั้งที่มีการนำไปใช้

```

MOV STATUS_TV2,#9
LCALL ACK_TV
LJMP MAIN
KEY_0: CJNE A,#'I',INC_CHANNEL
MOV 47H,#00H
MOV 48H,#10011000B
MOV 49H,#10011001B
LCALL SEND_TV
CLR P1.3
MOV STATUS_TV2,#0
LCALL ACK_TV
LJMP MAIN

```

INC_CHANNEL:

```

CJNE A,#'8',DEC_CHANNEL
MOV 47H,#00000000B
MOV 48H,#00101100B
MOV 49H,#00101101B
LCALL SEND_TV
CLR P1.3
CLR C
MOV A,STATUS_TV2
ADD A,#1
MOV STATUS_TV2,A
LCALL ACK_TV
LJMP MAIN

```

DEC_CHANNEL:

```

CJNE A,#'2',INC_VOLUME
MOV 47H,#00000000B
MOV 48H,#10101100B
MOV 49H,#10101101B
LCALL SEND_TV
CLR P1.3
CLR C
MOV A,STATUS_TV2

```

เอกสารนี้เป็นเอกสารที่สงวนไว้สำหรับการใช้งานเพื่อการศึกษาเท่านั้น ไม่อนุญาตให้นำไปใช้ประโยชน์ด้านการค้า
ไม่ว่ากรณีใดๆ ทั้งสิ้น อีกทั้งห้ามมิให้ตัดแปลงเนื้อหาและต้องอ้างอิงถึงเจ้าของเอกสารทุกครั้งที่มีการนำไปใช้

```
SUBB A,#1
MOV STATUS_TV2,A
LCALL ACK_TV
LJMP MAIN
```

INC_VOLUME:

```
CJNE A,#7,DEC_VOLUME
MOV 47H,#00000000B
MOV 48H,#00000100B
MOV 49H,#00000101B
LCALL SEND_TV
CLR P1.3
CLR C
MOV A,STATUS_TV1
ADD A,#1
MOV STATUS_TV1,A
LCALL ACK_TV
LJMP MAIN
```

DEC_VOLUME:

```
CJNE A,#9,TV
MOV 47H,#00000000B
MOV 48H,#10000100B
MOV 49H,#10000101B
LCALL SEND_TV
CLR P1.3
CLR C
MOV A,STATUS_TV1
SUBB A,#1
MOV STATUS_TV1,A
LCALL ACK_TV
LJMP MAIN
```

เอกสารนี้เป็นเอกสารที่สงวนไว้สำหรับการใช้งานเพื่อการศึกษาเท่านั้น ไม่อนุญาตให้นำไปใช้ประโยชน์ด้านการค้า
ไม่ว่ากรณีใดๆ ทั้งสิ้น อีกทั้งห้ามมิให้ตัดแปลงเนื้อหาและต้องอ้างอิงถึงเจ้าของเอกสารทุกครั้งที่มีการนำไปใช้

TV:

```
CJNE A,#'K',ELEC_ON
MOV DPTR,#1536
LCALL DELAY_US
MOV DPTR,#1536
LCALL DELAY_US
CLR P1.3
LCALL ACK_TV
LJMP MAIN
```

ELEC_ON:

```
CJNE A,#'M',ELEC_OFF
SETB P1.5
MOV STATUS_ELEC1,#0FH
MOV STATUS_ELEC2,#0FH
MOV DPTR,#1536
LCALL DELAY_US
MOV DPTR,#1536
LCALL DELAY_US
LCALL ACK_ELEC
LJMP MAIN
```

ELEC_OFF:

```
CJNE A,#'N',ELEC_CHK
CLR P1.5
MOV STATUS_ELEC1,#0FH
MOV STATUS_ELEC2,#0FH
MOV DPTR,#1536
LCALL DELAY_US
MOV DPTR,#1536
LCALL DELAY_US
LCALL ACK_ELEC
LJMP MAIN
```

เอกสารนี้เป็นเอกสารที่สงวนไว้สำหรับการใช้งานเพื่อการศึกษาเท่านั้น ไม่อนุญาตให้นำไปใช้ประโยชน์ด้านการค้า
ไม่ว่ากรณีใดๆ ทั้งสิ้น อีกทั้งห้ามมิให้ตัดแปลงเนื้อหาและต้องอ้างอิงถึงเจ้าของเอกสารทุกครั้งที่มีการนำไปใช้

ELEC_CHK:

```
CJNE A,#'0',ENEN
MOV DPTR,#1536
LCALL DELAY_US
MOV DPTR,#1536
LCALL DELAY_US
LCALL ACK_ELEC
LJMP MAIN
```

ENEN: LJMP MAIN

,***** START AIR *****

SEND_ACK_AIR:

```
CLR REN
MOV A,#'A'
LCALL TX
MOV A,STATUS_AIR
LCALL TX
MOV A,TEMP_ROOM
LCALL TX
SETB REN
RET
```

PUSH_REMOTE:

```
MOV R2,#4
MOV R1,#8
MOV R0,#3AH
MOV A,@R0
LCALL SENDDATA
MOV R2,#4
MOV R1,#8
MOV R0,#3AH
MOV A,@R0
LCALL SENDDATA2
RET
```

SENDDATA:

เอกสารนี้เป็นเอกสารที่สงวนไว้สำหรับการใช้งานเพื่อการศึกษาเท่านั้น ไม่อนุญาตให้นำไปใช้ประโยชน์ด้านการค้า
ไม่ว่ากรณีใดๆ ทั้งสิ้น อีกทั้งห้ามมิให้ตัดแปลงเนื้อหาและต้องอ้างอิงถึงเจ้าของเอกสารทุกครั้งที่มีการนำไปใช้

```

        LCALL STARTBIT_AIR

SLIDEBIT:
        RLC    A

CHK_1_1:
        JC     CHK_1_2
        CLR   P1.2
        MOV   DPTR,#64334
        LCALL DELAY_US
        SETB  P1.2
        MOV   DPTR,#64334
        LCALL DELAY_US
        DJNZ  R1,SLIDEBIT
        INC   R0
        MOV   R1,#8
        MOV   A,@R0
        DJNZ  R2,SLIDEBIT
        RET

CHK_1_2:
        CLR   P1.2
        MOV   DPTR,#62334
        LCALL DELAY_US
        SETB  P1.2
        MOV   DPTR,#64334
        LCALL DELAY_US
        DJNZ  R1,SLIDEBIT
        INC   R0
        MOV   R1,#8
        MOV   A,@R0
        DJNZ  R2,SLIDEBIT
        RET

```

```
SENDDATA2: CLR P1.2
```

เอกสารนี้เป็นเอกสารที่สงวนไว้สำหรับการใช้งานเพื่อการศึกษาเท่านั้น ไม่อนุญาตให้นำไปใช้ประโยชน์ด้านการค้า
ไม่ว่ากรณีใดๆ ทั้งสิ้น อีกทั้งห้ามมิให้ตัดแปลงเนื้อหาและต้องอ้างอิงถึงเจ้าของเอกสารทุกครั้งที่มีการนำไปใช้

```
LCALL TIME_SPACE
LCALL STARTBIT_AIR
```

SLIDEBIT_0:

```
RLC A
```

CHK_0_1:

```
JNC CHK_0_2
CLR P1.2
MOV DPTR,#64334
LCALL DELAY_US
SETB P1.2
MOV DPTR,#64334
LCALL DELAY_US
DJNZ R1,SLIDEBIT_0
INC R0
MOV R1,#8
MOV A,@R0
DJNZ R2,SLIDEBIT_0
CLR P1.2
RET
```

CHK_0_2:

```
CLR P1.2
MOV DPTR,#62334
LCALL DELAY_US
SETB P1.2
MOV DPTR,#64334
LCALL DELAY_US
DJNZ R1,SLIDEBIT_0
INC R0
MOV R1,#8
MOV A,@R0
DJNZ R2,SLIDEBIT_0
CLR P1.2
RET
```

เอกสารนี้เป็นเอกสารที่สงวนไว้สำหรับการใช้งานเพื่อการศึกษาเท่านั้น ไม่อนุญาตให้นำไปใช้ประโยชน์ด้านการค้า
ไม่ว่ากรณีใดๆ ทั้งสิ้น อีกทั้งห้ามมิให้ตัดแปลงเนื้อหาและต้องอ้างอิงถึงเจ้าของเอกสารทุกครั้งที่มีการนำไปใช้

STARTBIT_AIR:

```
SETB P1.2
MOV DPTR,#47534
LCALL DELAY_US
CLR P1.2
MOV DPTR,#56734
LCALL DELAY_US
SETB P1.2
MOV DPTR,#64334
LCALL DELAY_US
RET
```

TIME_SPACE:

```
CLR P1.2
MOV DPTR,#1536
LCALL DELAY_US
RET
```

***** START TV *****

ACK_TV:

```
CLR REN
MOV A,#T
LCALL TX
MOV A,STATUS_TV1
LCALL TX
MOV A,STATUS_TV2
LCALL TX
SETB REN
RET
```

SEND_TV:

```
MOV R0,#44H
MOV R2,#8
MOV R3,#6
MOV A,@R0
MOV R4,#2
;CLR P1.2
```

เอกสารนี้เป็นเอกสารที่สงวนไว้สำหรับการใช้งานเพื่อการศึกษาเท่านั้น ไม่อนุญาตให้นำไปใช้ประโยชน์ด้านการค้า
ไม่ว่ากรณีใดๆ ทั้งสิ้น อีกทั้งห้ามมิให้ตัดแปลงเนื้อหาและต้องอ้างอิงถึงเจ้าของเอกสารทุกครั้งที่มีการนำไปใช้

SJMP SEND_DATA_TV

SEND_DATA_TV:

```
SETB P1.3
MOV DPTR,#58256
LCALL DELAY_US
CLR P1.3
MOV DPTR,#62266
LCALL DELAY_US
SETB P1.3
MOV DPTR,#64506
LCALL DELAY_US
```

START_SEND_DATA_TV:

```
RLC A
S_BIT1: JNC S_BIT0
CLR P1.3
MOV DPTR,#63066
LCALL DELAY_US
SETB P1.3
MOV DPTR,#64506
LCALL DELAY_US
DJNZ R2,START_SEND_DATA_TV
INC R0
MOV A,@R0
MOV R2,#8
DJNZ R3,START_SEND_DATA_TV
;FOR TIME SPACE
CLR P1.3
MOV DPTR,#5546
LCALL DELAY_US
MOV DPTR,#5546
LCALL DELAY_US
MOV DPTR,#37546
```

เอกสารนี้เป็นเอกสารที่สงวนไว้สำหรับการใช้งานเพื่อการศึกษาเท่านั้น ไม่อนุญาตให้นำไปใช้ประโยชน์ด้านการค้า
ไม่ว่ากรณีใดๆ ทั้งสิ้น อีกทั้งห้ามมิให้ตัดแปลงเนื้อหาและต้องอ้างอิงถึงเจ้าของเอกสารทุกครั้งที่มีการนำไปใช้

```

LCALL DELAY_US
MOV R0,#44H
MOV R2,#8
MOV R3,#6
MOV A,@R0
DJNZ R4,SEND_DATA_TV
CLR P1.3
RET

```

```

S_BIT0: CLR P1.3
MOV DPTR,#64816
LCALL DELAY_US
SETB P1.3
MOV DPTR,#64506
LCALL DELAY_US
DJNZ R2,START_SEND_DATA_TV
INC R0
MOV A,@R0
MOV R2,#8
DJNZ R3,START_SEND_DATA_TV
;FOR TIME SPACE
CLR P1.3
MOV DPTR,#5546
LCALL DELAY_US
MOV DPTR,#5546
LCALL DELAY_US
MOV DPTR,#37546
LCALL DELAY_US
MOV R0,#44H
MOV R2,#8
MOV R3,#6
MOV A,@R0
DJNZ R4,LOOP_TV
CLR P1.3
RET
LOOP_TV: CLR P1.3

```

เอกสารนี้เป็นเอกสารที่สงวนไว้สำหรับการใช้งานเพื่อการศึกษาเท่านั้น ไม่อนุญาตให้นำไปใช้ประโยชน์ด้านการค้า
ไม่ว่ากรณีใดๆ ทั้งสิ้น อีกทั้งห้ามมิให้ตัดแปลงเนื้อหาและต้องอ้างอิงถึงเจ้าของเอกสารทุกครั้งที่มีการนำไปใช้

```
LJMP SEND_DATA_TV
```

```
;***** START ELEC *****
```

```
ACK_ELEC:
```

```
CLR REN  
MOV A,#E'  
LCALL TX  
MOV A,STATUS_ELEC1  
LCALL TX  
MOV A,STATUS_ELEC2  
LCALL TX  
SETB REN  
RET
```

```
;***** START FUNCTION *****
```

```
TX:
```

```
MOV SBUF,A  
JNB TI,$  
CLR TI  
RET
```

```
RECIVER_DATA:
```

```
MOV R0,#7  
MOV C,P2.5  
JNC RECIVER_DATA  
MOV DPTR,#63878  
LCALL DELAY_US  
MOV DPTR,#64713  
LCALL DELAY_US  
MOV C,P2.5  
RRC A
```

```
TR11: MOV DPTR,#63880  
LCALL DELAY_US  
MOV C,P2.5  
RRC A  
DJNZ R0,TR11  
CPL A
```

เอกสารนี้เป็นเอกสารที่สงวนไว้สำหรับการใช้งานเพื่อการศึกษาเท่านั้น ไม่อนุญาตให้นำไปใช้ประโยชน์ด้านการค้า
ไม่ว่ากรณีใดๆ ทั้งสิ้น อีกทั้งห้ามมิให้ตัดแปลงเนื้อหาและต้องอ้างอิงถึงเจ้าของเอกสารทุกครั้งที่มีการนำไปใช้

```

RET
DELAY_US:  MOV  TH0,DPH
           MOV  TL0,DPL
           SETB TR0
           JNB  TF0,$
           CLR  TF0
           CLR  TR0
           RET

```

```

;***** DS 1820 *****
;*****
; DS1820 TEMPERATURE READ
;*****

```

```

READ_TEMP_ROOM:
    LCALL DS1820_TEMP_RD
    JB    DS1820_ERROR,DATA_VALID
    MOV  A,#0AAH
    CJNE A,TEMP,DATA_VALID

```

```

DATA_INVALID:
    SJMP READ_TEMP_ROOM

```

```

DATA_VALID:
    MOV  TEMP_ROOM,TEMP
    RET

```

```

DS1820_TEMP_RD:
    CLR  DS1820_ERROR          ; CLEAR DS1820 ERROR FLAG
    ACALL DS1820_RST          ; DS1820 RESET
    ACALL DS1820_PRES        ; DS1820 PRESENCE
    MOV  ONEWIRE_DATA,#0CCH  ; WRITE SKIP ROM
    ACALL DS1820_WR          ;
    MOV  ONEWIRE_DATA,#044H  ; WRITE CONVERT COMMAND
    ACALL DS1820_WR          ;

```

เอกสารนี้เป็นเอกสารที่สงวนไว้สำหรับการใช้งานเพื่อการศึกษาเท่านั้น ไม่อนุญาตให้นำไปใช้ประโยชน์ด้านการค้า
ไม่ว่ากรณีใดๆ ทั้งสิ้น อีกทั้งห้ามมิให้ตัดแปลงเนื้อหาและต้องอ้างอิงถึงเจ้าของเอกสารทุกครั้งที่มีการนำไปใช้

```

SETB  ONEWIRE                ; HOLD LOGIC 1 (CONVERSION)
ACALL  DELAY_1S              ; FOR 1S.

ACALL  DS1820_RST            ; DS1820 RESET
ACALL  DS1820_PRES          ; DS1820 PRESENCE
MOV    ONEWIRE_DATA,#0CCH    ; WRITE SKIP ROM
ACALL  DS1820_WR
MOV    ONEWIRE_DATA,#0BEH    ; W/R SCRATCHPAD COMMAND
ACALL  DS1820_WR

ACALL  DS1820_RD            ; READ DS1820
MOV    TEMP,ONEWIRE_DATA     ; GET BYTE TEMPL

ACALL  DS1820_RD            ; READ DS1820
MOV    TEMPH,ONEWIRE_DATA    ; GET BYTE TEMPH

DS1820_TEMP_CLR:
ACALL  DS1820_RST            ; DS1820 RESET
ACALL  DS1820_PRES          ; DS1820 PRESENCE

DS1820_TEMP_EXIT:
RET

; *****
; DS1820 DATA READ
; *****

DS1820_RD:  MOV    ONEWIRE_CNT,#8    ; SET LOOP 8 TIMES
            CLR    A                ; CLEAR ACC.

DS1820_RD_LOOP:
            CLR    ONEWIRE          ; CLEAR ONEWIRE
            NOP                    ; DELAY
            SETB   ONEWIRE          ; SET ONEWIRE
            NOP                    ;
            NOP                    ;
            MOV    C,ONEWIRE        ; GET ONEWIRE TO CARRY FLAG
            ACALL  ONEWIRE_DELAY    ; DELAY 75 US
            RRC    A                ;

```

เอกสารนี้เป็นเอกสารที่สงวนไว้สำหรับการใช้งานเพื่อการศึกษาเท่านั้น ไม่อนุญาตให้นำไปใช้ประโยชน์ด้านการค้า
ไม่ว่ากรณีใดๆ ทั้งสิ้น อีกทั้งห้ามมิให้ตัดแปลงเนื้อหาและต้องอ้างอิงถึงเจ้าของเอกสารทุกครั้งที่มีการนำไปใช้

```

        DJNZ  ONEWIRE_CNT,DS1820_RD_LOOP
        MOV   ONEWIRE_DATA,A           ; MOVE ACC. TO ONEWIRE_DATA
        RET                                ; RETURN

; *****
; DS1820 DATA WRITE
; *****

DS1820_WR:  MOV   ONEWIRE_CNT,#8       ; SET LOOP 8 TIMES
            MOV   A,ONEWIRE_DATA       ; GET ONEWIRE_DATA

DS1820_WR_LOOP:
            RRC   A                     ; ROTATE ACC. WITH CARRY FLAG
            JNC   DS1820_WR_L          ; CARRY FLAG WAS SET ?
            CLR   ONEWIRE               ; SET => TX HIGH
            NOP                                ; DELAY
            NOP                                ;
            SETB  ONEWIRE               ; SET ONEWIRE
            ACALL ONEWIRE_DELAY         ; DELAY 75 US
            AJMP  DS1820_WR_NX         ; JUMP TO NEXT WRITE

DS1820_WR_L: CLR   ONEWIRE             ; CLEAR => TX LOW
            ACALL ONEWIRE_DELAY         ; DELAY 75 US
            SETB  ONEWIRE               ; SET ONEWIRE
            NOP                                ; DELAY
            NOP                                ;

DS1820_WR_NX:
            DJNZ  ONEWIRE_CNT,DS1820_WR_LOOP
            RET                                ; RETURN

; *****
; DS1820 RESET
; *****

DS1820_RST: CLR   ONEWIRE               ; CLEAR ONEWIRE
            ACALL DELAY_750US         ; DELAY
            SETB  ONEWIRE               ; SET ONEWIRE
            MOV   ONEWIRE_CNT,#11      ; DELAY

```

เอกสารนี้เป็นเอกสารที่สงวนไว้สำหรับการใช้งานเพื่อการศึกษาเท่านั้น ไม่อนุญาตให้นำไปใช้ประโยชน์ด้านการค้า
ไม่ว่ากรณีใดๆ ทั้งสิ้น อีกทั้งห้ามมิให้ดัดแปลงเนื้อหาและต้องอ้างอิงถึงเจ้าของเอกสารทุกครั้งที่มีการนำไปใช้

```

        DJNZ    ONEWIRE_CNT,$          ;
        RET                      ; RETURN

; *****
; DS1820 RECEIVE PRESENCE PULSE
; *****

DS1820_PRES:  MOV    ONEWIRE_CNT,#55          ; SET LOOP WAIT 1
DS1820_PRES_1:
                JNB    ONEWIRE,DS1820_PRES_2      ; CHECK ONEWIRE WAS CLEAR?
                DJNZ    ONEWIRE_CNT,DS1820_PRES_1  ; WAIT LOOP CHECK 1
                SETB   DS1820_ERROR              ; ERROR IF NO RESPONSE
                RET                      ; RETURN

DS1820_PRES_2:
                MOV    ONEWIRE_CNT,#55          ; SET LOOP WAIT 2

DS1820_PRES_3:
                JB     ONEWIRE,DS1820_PRES_4      ; CHECK ONEWIRE WAS CLEAR?
                DJNZ    ONEWIRE_CNT,DS1820_PRES_3  ; WAIT LOOP CHECK 1
                SETB   DS1820_ERROR              ; ERROR IF NO RESPONSE

DS1820_PRES_4:
                SETB   ONEWIRE                  ; SET ONEWIRE
                ACALL  ONEWIRE_DELAY              ; DELAY 75 US
                CLR    BUSY                      ; CLEAR BUSY FLAG
                RET                      ; RETURN

; *****
; DUMMY DELAY TIME ONEWIRE_DELAY, LCD_DELAY, 50U, 100U, 1M, 10M, 100M, 1S
; *****

ONEWIRE_DELAY:
                MOV    R6,#012H                  ; EACH LOOP = 75 US

ONEWIRE_DELAY_1:
                NOP
                NOP
                DJNZ   R6,ONEWIRE_DELAY_1
                RET

```

เอกสารนี้เป็นเอกสารที่สงวนไว้สำหรับการใช้งานเพื่อการศึกษาเท่านั้น ไม่อนุญาตให้นำไปใช้ประโยชน์ด้านการค้า
ไม่ว่ากรณีใดๆ ทั้งสิ้น อีกทั้งห้ามมิให้ตัดแปลงเนื้อหาและต้องอ้างอิงถึงเจ้าของเอกสารทุกครั้งที่มีการนำไปใช้

```

LCD_DELAY:  MOV  R7,#002                ; DO 2 TIMES
LCD_DELAY_1: MOV  R6,#0E6H              ; EACH LOOP = 1 MS
LCD_DELAY_2: NOP
              NOP
              DJNZ R6,LCD_DELAY_2
              DJNZ R7,LCD_DELAY_1
              RET

```

```

DELAY_50US:  MOV  R6,#00CH              ; EACH LOOP = 50 US

```

```

DELAY_50US_1:
              NOP
              NOP
              DJNZ R6,DELAY_50US_1
              RET

```

```

DELAY_100US:
              MOV  R6,#017H              ; EACH LOOP = 100 US

```

```

DELAY_100US_1:
              NOP
              NOP
              DJNZ R6,DELAY_100US_1
              RET

```

```

DELAY_1MS:   MOV  R6,#0E6H              ; EACH LOOP = 1 MS

```

```

DELAY_1MS_1: NOP
              NOP
              DJNZ R6,DELAY_1MS_1
              RET

```

```

DELAY_10MS:  MOV  R7,#010                ; DO 10 TIMES

```

```

DELAY_10MS_1:
              MOV  R6,#0E6H              ; EACH LOOP = 1 MS

```

```

DELAY_10MS_2:
              NOP
              NOP
              DJNZ R6,DELAY_10MS_2
              DJNZ R7,DELAY_10MS_1
              RET

```

เอกสารนี้เป็นเอกสารที่สงวนไว้สำหรับการใช้งานเพื่อการศึกษาเท่านั้น ไม่อนุญาตให้นำไปใช้ประโยชน์ด้านการค้า
ไม่ว่ากรณีใดๆ ทั้งสิ้น อีกทั้งห้ามมิให้ตัดแปลงเนื้อหาและต้องอ้างอิงถึงเจ้าของเอกสารทุกครั้งที่มีการนำไปใช้

```

DELAY_100MS:
    MOV    R7,#100                ; DO 100 TIMES

DELAY_100MS_1:
    MOV    R6,#0E6H                ; EACH LOOP = 1 MS

DELAY_100MS_2:
    NOP
    NOP
    DJNZ   R6,DELAY_100MS_2
    DJNZ   R7,DELAY_100MS_1
    RET

DELAY_1S:    MOV    R5,#100          ; DO 100 TIMES
DELAY_1S_1:  ACALL  DELAY_10MS
    DJNZ   R5,DELAY_1S_1
    RET

DELAY_750US: MOV    R6,#229          ; EACH LOOP = 750US
DELAY_750US_2:
    NOP
    DJNZ   R6,DELAY_750US_2
    RET
END
; RETURN

```

เอกสารนี้เป็นเอกสารที่สงวนไว้สำหรับการใช้งานเพื่อการศึกษาเท่านั้น ไม่อนุญาตให้นำไปใช้ประโยชน์ด้านการค้า
ไม่ว่ากรณีใดๆ ทั้งสิ้น อีกทั้งห้ามมิให้ตัดแปลงเนื้อหาและต้องอ้างอิงถึงเจ้าของเอกสารทุกครั้งที่มีการนำไปใช้